

VYSOKÁ ŠKOLA STROJNÍ A TEXTILNÍ V LIBERCI
FAKULTA STROJNÍ

Ing. Banh Tien LONG

OBECNÁ TEORIE VYTVÁŘENÍ POVrchových PLOCH
SOUČÁSTÍ OBRÁBĚNÍ S APLIKACÍ NA PROSTOROVÉ
OZUBENÍ POMOCÍ SAMOČINNÉHO POUŽÍTAČE

LIBERECKO 1977

Vysoká škola strojní a textilní v Liberci

Fakulta strojní

OBECNÁ TEORIE VYTVAŘENÍ POUVRCHOVÝCH PLOCH SOUČÁSTÍ OERÁBĚNÍ
S APLIKACÍ NA PROSTOROVÉ OZUBENÍ POMOCÍ SAMOČINNÉHO POČÍTAČE

Kandidátská disertační práce

Vypracoval : Ing. Bahn Tien Long

Školitel : Prof.Ing. Jaroslav Draský, CSc.

Liberec, březen 1977

1. Úvod

Zvyšování výkonného parametrů strojů a zařízení je požadavek vyšší spolehlivosti, kladou zvýšené nároky na kvalitu a přesnost funkčních ploch součástí, které jsou výsledkem práce řezných částí nástroje. Zároveň z hlediska kvality výrobků a ekonomiky výroby je velmi důležité a nezbytné studovat vlastnosti obroběných povrchů součásti vytvářených pohybem nástroje. Tím lze získat většinou technických informací pro racionalizaci konstrukce a technologie.

V předložené práci bych chtěl odvodit obecnou metodu vytváření ploch obrobku a studium jejich vlastností při vzájemném pohybu nástroje a součásti. Tato teorie by potom byla aplikována na kuželová kola se zekřivenými zuby Gleason a Oerlikon.

Povrch vytvářený na otáčejícím se obróbku pohybem nástroje, který rovněž rotuje kolem vlastní osy, má komplikovaný tvar a charakter. Zvláště jedná-li se o případ různoběžných nebo mimoběžných os. Při výrobě však obvykle nedostaneme celou regulární plochu, ale plochu obsahující i singulární body, což se projeví na skutečném ozubení například jako podřezání profilu zuba. Nebo může nastat případ, že vyroběná plocha nebude odpovídat teoretické podmínce záběru dvou kol. To nás nutí zabývat se výzkumem parametrů, ovlivňujících vznik těchto jevů a určením mezních hodnot těchto parametrů. Řešení těchto otázek se nelze vyhýbat. Proto je potřeba studovat vlastnosti plochy, jako je stanovení druhého základního tenzoru plochy, křivosti, indikatrix atd., které nám teprve umožní odvodit matematickou formulaci uvedených zkoumaných úloh (křivky na ploše zuba, podřezání atd.).

Jako matematického aparátu je zde použito vektorového a tenzorového počtu, jímž lze relativně jednoduše a přehledně zapsat složité vztahy, které zde platí a přechod k maticové symbolice umožňuje poměrně jednoduché numerické řešení při použití samočinného počítače.

Nakonec bych chtěl připomenout, že literatura uvedená v závěru práce mi pomohla orientovat se, které teoretické problémy jsou již v této oblasti prozkoumány, jakými metodami bylo dosaženo výsledků a umožnila mi najít novou metodu, kterou jsem použil k řešení problémů, jimiž se tato práce zabývá.

2. Základní vztahy a vlastnosti tenzoru otočení rotačních pohybů

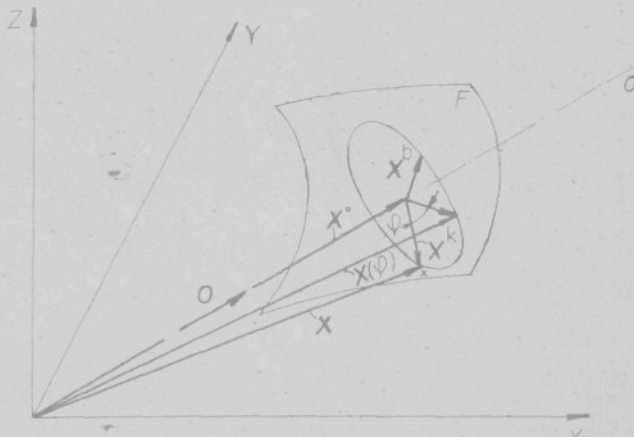
2.1 Charakteristika problému řešení

Při obrábění je někdy nezbytné znát tvar obroběného povrchu jako výsledek práce řezných částí nástroje. Většina pohybů při obrábění - zde jde o pohyb nástroje nebo součásti - jsou pohyby rotační a posuvné nebo jejich kombinace. Trajektorie těchto pohybů nám charakterizují obecné plochy nástroje nebo obrobku. Je-li předepsaný tvar profilu součásti a je známa závislost způsobu obrábění, pak lze najít profil nástroje jinž můžeme vyrobit požadovaný tvar obrobku. Nebo naopak.

Zde se naskytá otázka, jak nalézt co nejobecnější řešení výše uvedených problémů, aby výsledků bylo možno prakticky použít pro další inženýrské úlohy, řešené při výrobním procesu.

Základem obecného řešení bude odvození tenzoru otočení, který má univerzální použití i jiné přednosti při studiu vlastností ploch.

2.2 Tenzor otočení a jeho vlastnosti



obr.1

Mějme plochu (nástroj nebo součást, F (obr.1), na níž je libovolný bod X s radiusvektorem X , který se otáčí v soustavě souřadnic XYZ kolem osy O. Úhel pootočení vektoru v rovině kolmé na osu otáčení nechť je ψ , jednotkový vektor

ve směru osy otáčení nechť je O , pootočený vektor X označme $X(\theta)$. Vektor X lze rozložit do dvou složek: do osy O - složka X^O a do směru kolmého na osu O - složka X^K . Předpokládejme, že X^b leží v rovině, ve které leží při otáčení koncový bod radiusvektoru X a zároveň nechť je vektor X^b kolmý na X^k . Potom lze odvodit:

$$X = X^O + X^K \quad (2.1)$$

$$X^b = O \times X = O \times X^K \quad (2.2)$$

$$X = X(x_1, x_2, x_3)$$

$$O = O(o_1, o_2, o_3)$$

$$X^b = O \times X = \begin{pmatrix} i & j & k \\ o_1 & o_2 & o_3 \\ x_1 & x_2 & x_3 \end{pmatrix} = \begin{pmatrix} \theta & -o_3 & o_2 \\ o_3 & \theta & -o_1 \\ -o_2 & o_1 & \theta \end{pmatrix} \cdot \begin{pmatrix} x_1 \\ x_2 \\ x_3 \end{pmatrix} \quad (2.3)$$

$$X^b = R(O) \cdot X, \quad (2.4)$$

$R(O)$ je antisymetrický tenzor definovaný:

$$R(O) = \begin{pmatrix} \theta & -o_3 & o_2 \\ o_3 & \theta & -o_1 \\ -o_2 & o_1 & \theta \end{pmatrix} \quad (2.5)$$

$R(O)$ splňuje podmínky:

$$1/ \epsilon_{ij} = -\epsilon_{ji}$$

$$2/ \epsilon_{ii} = 0$$

Z obr.1 rovněž plyne:

$$X^O = O \otimes O \cdot X, \quad (2.6)$$

kde $O \otimes O$ je díadický součin vektoru O (tenzorové nasobení). Platí dále: $O \cdot O = O \cdot O^*$, kde O^* je transponovaný tenzor sloupcový.

Z (2.1) lze napsat:

$$X^k = X - X^O = X - O \otimes O \cdot X = (I - O \otimes O) \cdot X. \quad (2.7)$$

I je jednotkový tenzor (tenzor identity).

$$I_{ij} = \begin{cases} 1 & \text{je-li } i = j \\ 0 & \text{je-li } i \neq j \end{cases} \quad (2.8)$$

Pootočený vektor $X(\varphi)$ lze nyní psát:

$$X(\varphi) = X^k \cos \varphi + X^b \sin \varphi + X^o \quad (2.9)$$

Dosazením (2.7), (2.4), (2.6) do (2.9) a úpravou dostaneme:

$$X(\varphi) = [(I - O_o O) \cos \varphi + R(O) \sin \varphi] X + O_o O \cdot X =$$

$$[(I - O_o O) \cos \varphi + R(O) + O_o O] X = A_o^\varphi X. \quad (2.10)$$

A_o^φ je tenzor otočení, kterým se vektor X otočí o konstantní úhel φ , sníž se změní velikost vektoru. Celá vztažná soustava se otáčí ale nedeformuje:

$$A_o^\varphi = (I - O_o O) \cos \varphi + R(O) \sin \varphi + O_o O. \quad (2.11)$$

Nyní derivujeme (2.10) podle φ

$$\dot{X}(\varphi) = O \times A_o^\varphi X = R(O) A_o^\varphi X = R(O) X(\varphi). \quad (2.12)$$

Odtud řešení:

$$X(\varphi) = e^{R(O)\varphi} X \quad (2.13)$$

Srovnáním (2.10) a (2.13) plyně:

$$A_o^\varphi = e^{R(O)\varphi} \quad (2.14)$$

Zřejmě také platí, že tenzory reciproké a transponované jsou si rovny:

$$(A_o^\varphi)^{-1} = (A_o^\varphi)^* = A_o^{-\varphi}. \quad (2.15)$$

Z obr.1 vyplývá:

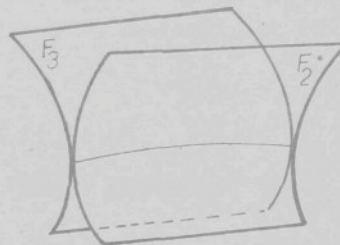
$$|A_o^\varphi X| = |A_o^\varphi X(\varphi)| = |X| = |X(\varphi)|. \quad (2.16)$$

Tím je zavedena teorie tenzoru otočení libovolného bodu obecné plochy F kolem osy O . Tento tenzor nám pak umožní řešení dalších úloh při obrábění.

3. Teorie vytvoření obalové plochy součásti (nástroje)

3.1 Obecná formulace

Nechť plocha F_3 na obr.2 je plochou nástroje a plocha F_2 nechť je plochou součásti. Za určitých předpokladů platí,



obr.2

že F_2 a F_3 jsou regulární plochy.

Nechť plocha nástroje (součásti) má rovnici:

$$X = X(u^1, u^2, u^3), \quad (3.1)$$

která má pro každé u^3 spojité parciální derivace podle parametru u^3 do druhého řádu. Potom množinu všech ploch určených rovnicí (3.1) nazýváme jednoparametrickou soustavou ploch.

Předpokládejme, že dvě soumezné plochy F_3 a F_2 z jednoparametrické soustavy se protínají v nějaké průsečnici. Libovolný bod na této průsečnici nechť má souřadnice $(u^1, u^2; u^3)$ na ploše nástroje F_3 a nechť je současně bodem plochy součásti F_2 . Potom tento bod má vzhledem k ploše součásti F_2 souřadnice $(u^1+du^1, u^2+du^2; u^3+du^3)$, kde F_2 je plocha určená rovnicí:

$$X = X(u^1, u^2, u^3 + du^3). \quad (3.2)$$

Podmínka, aby bod ležel současně v soumezných plochách nástroje F_3 a součásti F_2 :

$$X(u^1, u^2, u^3) = X(u^1 + du^1, u^2 + du^2, u^3 + du^3). \quad (3.3)$$

Neboli:

$$X_1 du^1 + X_2 du^2 + X_3 du^3 = 0. \quad (3.4)$$

(jde o Taylorův rozvoj v okolí bodu u^1 a zanedbají se vyšší mocniny než první).

Stručně lze psát:

$$X_i = \frac{\partial X}{\partial u^i} \quad (3.5)$$

Odtud vyplývá, že tři vektory X_1, X_2, X_3 , jsou komplánární a proto smíšený součin (determinant tří vektorů) bude roven nule.

$$X_1 \cdot (X_2 \times X_3) = \det[X_1, X_2, X_3] = 0 \quad (3.6)$$

(X_1, X_2 tvoří tečnou rovinu, ve které leží vektor rychlosti X_3).

Z rovnice (3.6) je:

$$u^3 = u^3(u^1, u^2). \quad (3.7)$$

Dosadíme (3.7) do (3.1) a dostaneme rovnici obalové plochy součásti F_2 ze známé plochy nástroje F_3 nebo naopak.

$$X = X(u^1, u^2; u^3(u^1, u^2)). \quad (3.8)$$

Rovnici (3.6) odvodíme jinou cestou, která je matematicky přesnější ale méně geometricky názorná.

Nechť plocha nástroje má rovnici

$$X = X(u^1, u^2, u^3), \quad (3.8.1)$$

kde u^1, u^2, u^3 jsou parametry a platí:

$$X_{u^1} \times X_{u^2} \neq 0 \quad (3.8.2)$$

(X_{u^1}, X_{u^2} jsou parciální derivace podle u^1 a u^2).
Prvni dva parametry u^1, u^2 určují bod na povrchu (křivočaré souřadnice na povrchu). Třetí parametr u^3 určuje soustavu ploch.
Nechť po určení obálky lze napsat:

$$u^3 = f(u^1, u^2). \quad (3.8.3)$$

Parciálně derivujeme (3.8.1) podle parametrů u^1, u^2 s použitím (3.8.3)

$$\frac{\partial X}{\partial u^1} = X_{u^1} \times X_{u^3} \frac{\partial u^3}{\partial u^1}, \quad (3.8.4)$$

$$\frac{\partial X}{\partial u^2} = X_{u^2} \times X_{u^3} \frac{\partial u^3}{\partial u^2}.$$

Vektory z rovnice (3.8.4) musí ležet v tečné rovině soustavy (3.8.1), která má normálu

$$N = X_{u^1} \times X_{u^2}.$$

Pro skalární součin vektoru N a vektoru tečny z rovnice (3.8.4) platí:

$$(X_{u^1} + X_{u^3} \frac{\partial u^3}{\partial u^1})(X_{u^1} \times X_{u^2}) = 0$$

$$(X_{u^2} + X_{u^3} \frac{\partial u^3}{\partial u^2})(X_{u^1} \times X_{u^2}) = 0$$

neboli smíšený součin

$$\det [X_{u^1} + X_{u^3} \frac{\partial u^3}{\partial u^1}, X_{u^1}, X_{u^2}] = \det [X_{u^1}, X_{u^2}, X_{u^3} \frac{\partial u^3}{\partial u^1}] = 0$$

$$\det [X_{u^2} + X_{u^3} \frac{\partial u^3}{\partial u^2}, X_{u^1}, X_{u^2}] = \det [X_{u^3}, X_{u^1}, X_{u^2} \frac{\partial u^1}{\partial u^2}] = 0.$$

Iředpokládejme, že $\det [X_{u^1}, X_{u^2}, X_{u^3}] \neq 0$. Potom $\frac{\partial u^3}{\partial u^1} = 0$, $\frac{\partial u^3}{\partial u^2} = 0$ nebo $u^3 = \text{konstanta}$. To nevynovuje rovnici soustavy ploch. Proto musí tedy platit:

$$\det [X_{u^3}, X_{u^1}, X_{u^2}] = 0 \quad , \quad (3.8.5)$$

což bylo odvozeno v rovnici (3.6).

3.2 Povrchy součásti (nástroje) vytvořené profilem nástroje (součástí) při rotačních pohybech

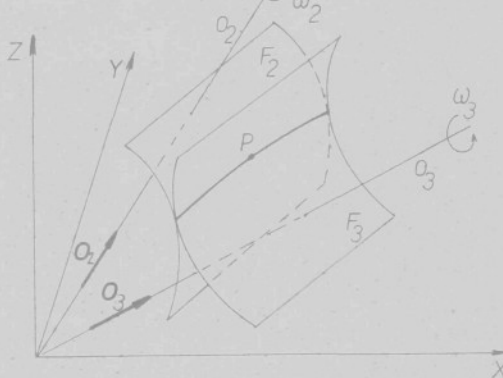
Tato formulace problému se vyskytuje hlavně při obrábění s dvěma závislými rotačními pohyby kolem dvou různoběžných nebo mimoběžných os rotace: při výrobě kuželových kol s přímými zuby (konvojdni) nebo se zakřivenými zuby (Gleason, Cérlikon), broušení atd.

Je-li vytvářena plocha třemi závislými pohyby (při výrobě kola Oerlikon, Krigelnberg...) v plynulém způsobu obrábění bude problém složitější. Veškeré tyto úkoly se však redukují na použití tenzoru otočení.

3.2.1 Obalové plochy vytvořené rotačními pohyby kolem dvou různoběžných os

Jestliže se nástroj (frézovací hlava) otáčí kolem své osy O_3 (obr.3) úhlovou rychlostí ω_3 , vytváří jeho ostří při pohybu plochu

$$F_3 = X(u^1, u^2). \quad (3.9)$$



obr.3

Součást se otáčí kolem osy O_2 , která je různoběžná s osu O_3 , úhlovou rychlostí ω_2 . Jaká bude obálka F_2 ?

Podmínka výlení:

$$p = \frac{\omega_3}{\omega_2}. \quad (3.10)$$

Zavedeme tento předpoklad: plochu F_2 zastavíme a vyšetříme pohyb plochy F_3 vzhledem k ploše F_2 .

Označíme:

O_3 ... jednotkový vektor osy O_3

O_2 ... jednotkový vektor osy O_2

φ ... úhel otočení plochy F_2 .

Pohyb plochy F_3 je pak složen ze dvou částí:

1-Rotační pohyb kolem vlastní osy O_3 o úhel $p\varphi$. Jeho tensor otočení je $A_{O_3}^{p\varphi}$

2-Rotační pohyb kolem osy O_2 při zastavené F_2 , pootočené o úhel φ ; tensor otočení je $A_{O_2}^\varphi$.

Plochu nástroje v obecné poloze lze popsat tékto:

$$K_n = A_{O_2}^\varphi A_{O_3}^{p\varphi} X(u^1, u^2). \quad (3.11)$$

V tomto případě φ zastupuje parametr u^3 z rovnice (3.1).

Podle (3.6) musí plnit:

$$[K_\varphi, K_{u^1}, K_{u^2}] = 0. \quad (3.12)$$

Řešením soustavy rovnic (3.11), (3.12) dostaneme rovnici obálky součásti.

Podle (3.12):

$$\begin{aligned} K_\varphi &= \frac{\partial K}{\partial \varphi} = O_2 \times A_{O_2}^\varphi A_{O_3}^{p\varphi} X(u^1, u^2) + A_{O_2}^\varphi p O_3 \times A_{O_3}^{p\varphi} X(u^1, u^2) = \\ &= R(O_2) A_{O_2}^\varphi A_{O_3}^{p\varphi} X(u^1, u^2) + p A_{O_2}^\varphi O_3 \times A_{O_3}^{p\varphi} X(u^1, u^2). \end{aligned} \quad (3.13)$$

vektorů

Poslední člen rovnice (3.13) popisuje otočení vektorového součinu kolem osy. Lze otáčet každý vektor zvlášť, tj.

$$\begin{aligned} A_{O_2}^\varphi p O_3 \times A_{O_3}^{p\varphi} X(u^1, u^2) &= p A_{O_2}^\varphi O_3 \times A_{O_2}^\varphi A_{O_3}^{p\varphi} X(u^1, u^2) = \\ &= R(p A_{O_2}^\varphi O_3) A_{O_2}^\varphi A_{O_3}^{p\varphi} X(u^1, u^2). \end{aligned} \quad (3.14)$$

Nakonec po úpravě:

$$K_\varphi = R(O_2 + p A_{O_2}^\varphi O_3) A_{O_2}^\varphi A_{O_3}^{p\varphi} X(u^1, u^2). \quad (3.15)$$

Neboli:

$$K_\varphi = T(\varphi) X(u^1, u^2); \quad (3.16)$$

kde:

$$T(\varphi) = R(O_2 + p A_{O_2}^\varphi O_3) A_{O_2}^\varphi A_{O_3}^{p\varphi}. \quad (3.17)$$

$$K_{ij} = A_{0_2}^\varphi A_{0_3}^{p\varphi} \frac{\partial X}{\partial u^j} \quad (3.18)$$

Z rovnic (3.12), (3.16), (3.18) dostaneme:

$$\det \left[A_{0_2}^\varphi A_{0_3}^{p\varphi} \frac{\partial X}{\partial u^1} \quad A_{0_2}^\varphi A_{0_3}^{p\varphi} \frac{\partial X}{\partial u^2} \quad T(\varphi)X(u^1, u^2) \right] = 0 \quad (3.19)$$

Z (3.19) vyjádříme $u^1 = u^1(u^2, \varphi)$ a dosadíme do rovnice (3.11) dostaneme rovnici obálky

$$K = A_{0_2}^\varphi A_{0_3}^{p\varphi} X(u^1(u^2, \varphi), u^2) \quad (3.20)$$

Vypíšeme (3.20) v euklidovském trojrozměrném prostoru:

$$A_{0_2}^\varphi = \begin{pmatrix} 0_{21} & 0_{21} & 0_{21} \\ 0_{22} & 0_{22} & 0_{22} \\ 0_{23} & 0_{23} & 0_{23} \end{pmatrix} + \begin{pmatrix} 0 & -0_3 & 0_2 \\ 0_3 & 0 & -0_1 \\ -0_2 & 0_1 & 0 \end{pmatrix} \sin \varphi$$

$$\begin{pmatrix} 1 & 0 & 0 \\ 0 & 1 & 0 \\ 0 & 0 & 1 \end{pmatrix} - \begin{pmatrix} 0_{21} & 0_{21} & 0_{21} \\ 0_{22} & 0_{22} & 0_{22} \\ 0_{23} & 0_{23} & 0_{23} \end{pmatrix} \cos \varphi .$$

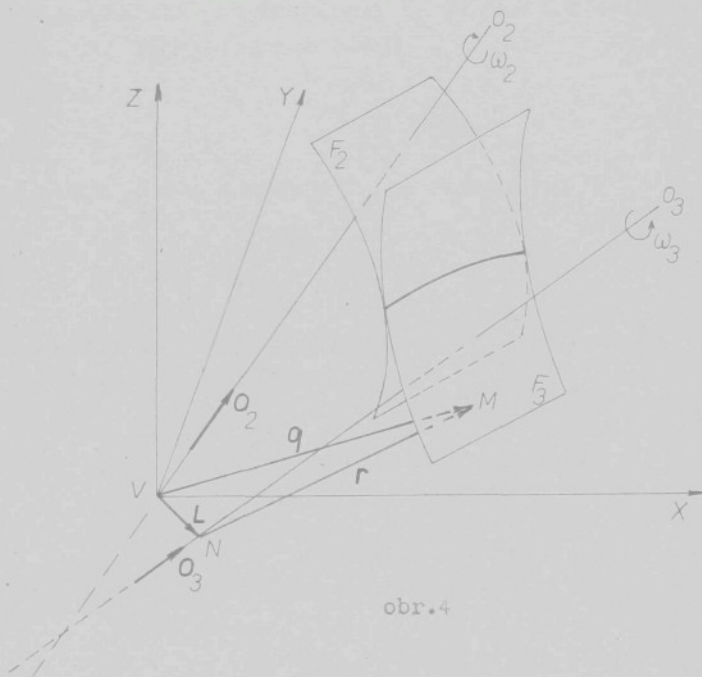
$$A_{0_3}^{p\varphi} = \begin{pmatrix} 1 & 0 & 0 \\ 0 & 1 & 0 \\ 0 & 0 & 1 \end{pmatrix} - \begin{pmatrix} 0_{31} & 0_{31} & 0_{31} \\ 0_{32} & 0_{32} & 0_{32} \\ 0_{33} & 0_{33} & 0_{33} \end{pmatrix} \cos p\varphi$$

$$\begin{pmatrix} 0 & -0_3 & 0_2 \\ 0_3 & 0 & -0_1 \\ -0_2 & 0_1 & 0 \end{pmatrix} \sin p\varphi + \begin{pmatrix} 0_{31} & 0_{31} & 0_{31} \\ 0_{32} & 0_{32} & 0_{32} \\ 0_{33} & 0_{33} & 0_{33} \end{pmatrix}$$

Zajímá-li nás určení plochy profilu nástroje ze známého profilu součásti, stačí chépat F_2 jako plochu nástroje a F_3

jako plochu součásti. Jinak se řešení úlohy nemění.

3.2.2 Obalové plochy vytvořené rotačními pohyby kolem dvou mimoběžných os



Plocha nástroje F_3 se otáčí kolem osy O_3 úhlovou rychlostí ω_3 . Plocha součásti F_2 rotuje kolem osy O_2 úhlovou rychlostí ω_2 .

Nechť O_2, O_3 jsou jednotkové vektory těchto os a V je libovolný bod na ose O_2 , se kterým ztotožníme počátek pravotočivé soustavy souřadnic XYZ.

Nechť N je libovolný bod na ose O_3 a M je libovolný bod plochy F_3 . Lze napsat (viz obr.4)

$$r = q \cdot L. \quad (3.21)$$

Trajektorie bodu M při pohybu kolem O_3

$$B_{O_3} = A_{O_3}^{pp} (q - L). \quad (3.22)$$

Trajektorie bodu M při pohybu kolem O_3 vzhledem k počátku

souřadnic:

$$B_V = L + A_{O_3}^{p\varphi} (q - L). \quad (3.23)$$

Při zastavení pohybu plochy F_2 je pak trajektorie pohybu bodu k plochy F_3 vzhledem k ose O_2 :

$$K_{F_3} = A_{O_2}^{\varphi} [L + A_{O_3}^{p\varphi} (q - L)], \quad (3.24)$$

a pohyb plochy nástroje F_3 má rovnici:

$$K_n = A_{O_2}^{\varphi} [L + A_{O_3}^{p\varphi} (X(u^1, u^2) - L)]. \quad (3.25)$$

Použitím vztahu (3.12) potom máme rovnici obálky při rotačních pohybech dvou mimoběžných os:

$$K = A_{O_2}^{\varphi} [L + A_{O_3}^{p\varphi} (X(u^1(u^2, \varphi), u^2) - L)]. \quad (3.26)$$

$$\frac{\partial K_n}{\partial \varphi} = O_2 \times A_{O_2}^{\varphi} [L + A_{O_3}^{p\varphi} (X - L)] +$$

$$A_{O_2}^{\varphi} p O_3 \times A_{O_3}^{p\varphi} (X - L) =$$

$$= O_2 \times A_{O_2}^{\varphi} L + O_2 \times A_{O_2}^{\varphi} A_{O_3}^{p\varphi} (X - L) + p A_{O_2}^{\varphi} O_3 \times A_{O_2}^{\varphi} A_{O_3}^{p\varphi} (X - L) =$$

$$= O_2 \times A_{O_2}^{\varphi} L + (O_2 + p A_{O_2}^{\varphi} O_3) \times A_{O_2}^{\varphi} A_{O_3}^{p\varphi} (X - L) =$$

$$= R(O_2) A_{O_2}^{\varphi} L + R(O_2 + p A_{O_2}^{\varphi} O_3) A_{O_2}^{\varphi} A_{O_3}^{p\varphi} (X - L) \quad (3.27)$$

$$\frac{\partial K_n}{\partial u^i} = A_{O_2}^{\varphi} [L + A_{O_3}^{p\varphi} (\frac{\partial X(u^i)}{\partial u^i} - L)]. \quad (3.28)$$

Z obr.4 je vidět, že při pohybu kolem různoběžných os je

nulový vektor a rovnice (3.26) se změní v rovnici (3.20).

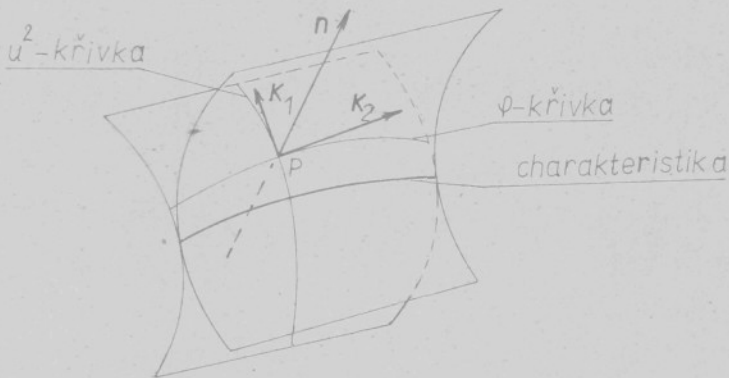
Předpokládali jsme, že plocha F_3 je regulérní a plocha obálky K rovněž regulérní. F_3 lze definovat různým způsobem: buď parametrickým, explicitním, implicitním vyjádřením nebo skalární funkcí vektorového argumentu. Pokud na ploše F_3 existuje nějaký singulární bod nebo množina singulárních bodů, potom jsou tyto body body vrata. Leží-li na ploše nástroje, pak profil nástroje F_3 vyčnívá do hotové vyrobené obálky. Tomuto jevu říkáme podřezání. Budeme je zkoumat podrobně v kapitole 6.

4. Vlastnosti obroběné plochy součásti (nástroje)

4.1 Charakteristiky a parametrické křivky

Charakteristikou nazýváme množinu bodů, ve kterých se dvě po sobě valící plochy F_2, F_3 dotýkají. Charakteristikou bude křivka na ploše F_3 a současně na ploše F_2 .

Z rovnice (3.11) resp. (3.25) lze při zvoleném pevném u^2 , φ najít parametr $u^1 = u^1(u^2, \varphi)$ podle (3.12) a po dosazení do (3.20) resp. (3.26) dostaneme charakteristiku na F_2 , která - po dosazení u^1, u^2 do (3.9) - leží rovněž na F_3 (obr.5).



obr.5

Při pevném parametru u^2 z rovnice (3.20) a φ proměnném vzniká tzv. parametrická u^2 -křivka. Podobně množinu bodů rovnice (3.26) při pevném φ a proměnném parametru u^2 nezýváme parametrickou φ -křivkou. Proto každým bodem regulérní plochy F_2 (resp. F_3) prochází právě jedna u^2 -křivka a jedna φ -křivka.

Označíme-li K_1, K_2 , tečné vektory ke křivce, platí:

Pro mimoběžné osy

$$K_1 = \frac{\partial K}{\partial u^2} = A_{O_2}^\varphi \left[L + A_{O_3}^{p\varphi} \left(\frac{X(u^1(u^2, \varphi), u^2)}{\partial u^2} - L \right) \right], \quad (4.1)$$

$$K_2 = \frac{\partial K}{\partial \varphi} = O_2 \times A_{O_2}^\varphi [L + A_{O_3}^{\varphi\varphi} (\frac{\partial X}{\partial \varphi} - L)] + A_{O_2}^\varphi O_p A_{O_3}^{\varphi\varphi} (X(u^2, \varphi) - L) + A_{O_2}^\varphi A_{O_3}^{\varphi\varphi} \frac{\partial X}{\partial \varphi} . \quad (4.2)$$

Pro různoběžné osy:

$$K_1 = A_{O_2}^\varphi A_{O_3}^{\varphi\varphi} \frac{\partial X}{\partial u^2} (u^1(u^2, \varphi), u^2), \quad (4.3)$$

$$K_\varphi = R(O_2 + p A_{O_2}^\varphi O_3) A_{O_2}^\varphi A_{O_3}^{\varphi\varphi} X(u^1(u^2, \varphi), u^2) +$$

$$A_{O_2}^\varphi A_{O_3}^{\varphi\varphi} \frac{\partial X}{\partial \varphi} (u^1(u^2, \varphi) u^2). \quad (4.4)$$

4.2 Normála obalové plochy

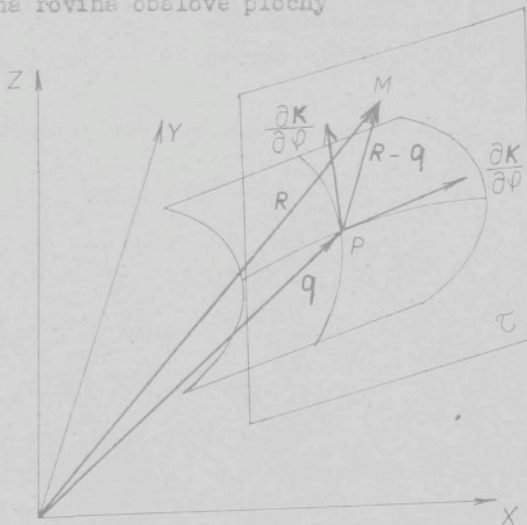
Rovnice (4.1), (4.2) nebo (4.3), (4.4) určují tečné vektory parametrické u -křivky a φ -křivky. V bodě P (obr.5), který leží na křivkách, se vektor normály plochy K_2 určí jako

$$n = \frac{\partial K}{\partial u^2} \times \frac{\partial K}{\partial \varphi} \quad (4.5)$$

Jednotkový vektor normály:

$$n^\circ = \frac{\frac{\partial K}{\partial u^2} \times \frac{\partial K}{\partial \varphi}}{\left| \frac{\partial K}{\partial u^2} \times \frac{\partial K}{\partial \varphi} \right|} \quad (4.6)$$

4.3 Tečná rovina obalové plochy



obr.6

V regulárním bodě P obalové plochy K (plochy součásti nebo nástroje) existuje právě jedna tečná rovina, ve které leží všechny tečné vektory. Má-li libovolný bod M v rovině T radiusvektor R , potom vektor $(R - q)$ musí být komplanární s vektory $\frac{\partial K}{\partial u^2}$, $\frac{\partial K}{\partial \varphi}$. Kovnice tečné roviny je:

$$(R - q) \left(\frac{\partial K}{\partial u^2} \times \frac{\partial K}{\partial \varphi} \right) = 0 \quad (4.7)$$

Opět důsledením rovnic (4.1), (4.2) resp. (4.3), (4.4) do rovnice (4.7), získáme rovnici tečné roviny k obalové ploše součásti resp. nástroje.

4.4 Odvození druhého základního tenzoru plochy

Druhý základní tenzor plochy hraje velmi důležitou roli při zkoumání vlastností plochy. To proto, že umožňuje určení křivosti plochy, optimálního bodového záběru, optimálního poloměru nástroje atd.

Někdy bývá v literatuře nevhodné druhý základní tenzor plochy nazýván tenzorem křivosti. Ale (Riemannův-Christoffelův) tenzor křivosti je tenzorem čtvrtého řádu, pomocí kterého se

určuje např. kriterium rozvinutelnosti plochy. Dále budeme používat pouze druhý základní tenzor plochy a proto jej budeme krátce nazývat tenzor plochy.

4.4.1 Tenzor plochy určené parametricky

Nějme plochu (3.26)

$$K = A_{\varphi}^{\varphi} A_{\vartheta_2}^{\vartheta_2} X(u^1(u^2, \varphi), u^2), \quad (4.8)$$

eventuálně plochu (3.26)

$$K = A_{\vartheta_2}^{\vartheta} [L + A_{\vartheta_3}^{\vartheta_3} (X(u^1(u^2, \varphi), u^2), L)]. \quad (4.9)$$

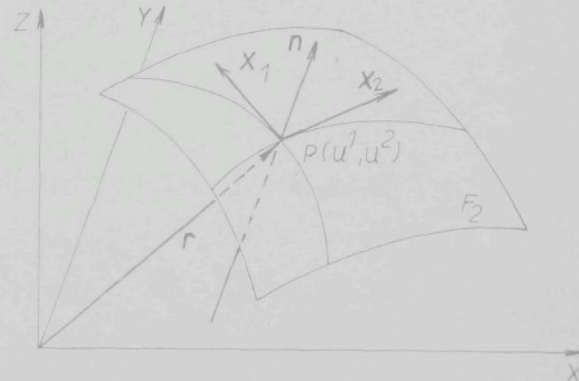
Nechť u^1 zastupuje u^2 a u^2 zastupuje φ . Potom obecně rovnice (4.8), (4.9) lze napsat:

$$X = X(u^1, u^2). \quad (4.10)$$

Nechť:

$$\begin{aligned} X_1 &= X_1(u^1, u^2), \\ X_2 &= X_2(u^1, u^2), \\ n &= n(u^1, u^2), \end{aligned} \quad (4.11)$$

určují v každém bodě F_2 dva souřadnicové vektory X_1, X_2 a jednotkový normální vektor n (obr.7)



obr.7

Zavedeme si pro ně označení:

$$\frac{\partial X}{\partial u^i \partial u^j} = \frac{\partial X_j}{\partial u^i} = X_{ij},$$

$$\frac{\partial n}{\partial u^i} = n_i.$$
(4.12)

V pevném bodě $P(u^1, u^2)$ plochy F_2 definujme rovnici:

$$h_{ij} = -n_i X_j$$
(4.13)

čtyři čísla h_{ij} , která se nazývají druhým základním tenzorem plochy. Tento tenzor je zřejmě symetrický. Platí:

$$h_{ij} = h_{ji} = (h_{ij})^*,$$
(4.14)

kde $(h_{ij})^*$ je transponovaný tenzor.

Dále platí:

$$h_{ij} = n X_{ij}$$
(4.15)

Podrobně je to rozvedeno v [L.2] a [L.3].

4.4.2 Tenzor plochy určený skalární funkcí vektorového argumentu

Rovnici (4.10) lze napsat.

$$F(r) = F_0$$
(4.16)

Normála této plochy je kolineární s $\text{grad}F_0$.

$$n = \frac{\text{grad}F}{|\text{grad}F|}$$
(4.17)

$$n \cdot t = 0$$
(4.18)

$$t = \frac{d\mathbf{r}}{ds}$$

kde

$$s = \int_0^\alpha |\dot{\mathbf{r}}| d\alpha, \quad (4.19)$$

α je reálná proměnná, s je délka oblouku křivky

$$\mathbf{n} = n(\mathbf{r}) \frac{d\mathbf{r}}{ds} \frac{1}{|\mathbf{r}|} \quad (4.20)$$

$$h_{ij} = - \frac{d\mathbf{n}(r)}{dr} \quad (4.21)$$

Z uvedených dvou způsobů má však největší praktický význam první metoda, kdy plocha nástroje, event. součásti je určena parametricky; proto budeme dále používat první metody.

Iruhý základní tenzor ploch, z rovnice (3.20):

$$X_{ij} = \frac{\partial K}{\partial u^i \partial u^j} = \frac{\partial (A_{o_2}^\varphi A_{o_3}^{p\varphi} X(u^1(u^2, \varphi), u^2))}{\partial u^i \partial u^j} \quad (4.22)$$

(Platí předpoklad uvedený pod rovnicí (4.5)).

$$X_{11} = \frac{\partial K}{\partial u^2 \partial u^2} = A_{o_2}^\varphi A_{o_3}^{p\varphi} X_{u^2, u^2} \quad (4.23)$$

$$X_{22} = \frac{\partial K}{\partial \varphi \partial \varphi} = \frac{\partial}{\partial \varphi} \left[R(O + p A_{o_2}^\varphi O) A_{o_2}^\varphi A_{o_3}^{p\varphi} X + A_{o_2}^\varphi A_{o_3}^{p\varphi} X_\varphi \right], \quad (4.24)$$

$$X_{12} = X_{21} = \frac{\partial K}{\partial u^2 \partial \varphi} = R(O + p A_{o_2}^\varphi O) A_{o_2}^\varphi A_{o_3}^{p\varphi} X_{u^2} + A_{o_2}^\varphi A_{o_3}^{p\varphi} X_{u_1 \varphi} \quad (4.25)$$

Dosedíme-li (4.3), (4.4), (4.22) do (4.15) bude tenzor:

$$h_{ij} = \frac{\frac{A_{02}^\varphi A_{03}^{p\varphi}}{2} X \times [R(O_2 + pA_{03}^\varphi O_2) A_{02}^\varphi A_{03}^{p\varphi} X + A_{02}^\varphi A_{03}^{p\varphi} X_\varphi]}{\left| A_{02}^\varphi A_{03}^{p\varphi} X \times [R(O_2 + pA_{03}^\varphi O_2) A_{02}^\varphi A_{03}^{p\varphi} X + A_{02}^\varphi A_{03}^{p\varphi} X_\varphi] \right|} \\ \frac{\partial (A_{02}^\varphi A_{03}^{p\varphi} X(u^1(u^2, \varphi), u^2))}{\partial u^i \partial \varphi^j} \quad (4.26)$$

Počebně lze najít tenzor plochy pro pohyb kolem mimoběžních os.

4.4.5 Stanovení křivosti plochy součásti (nástroje)

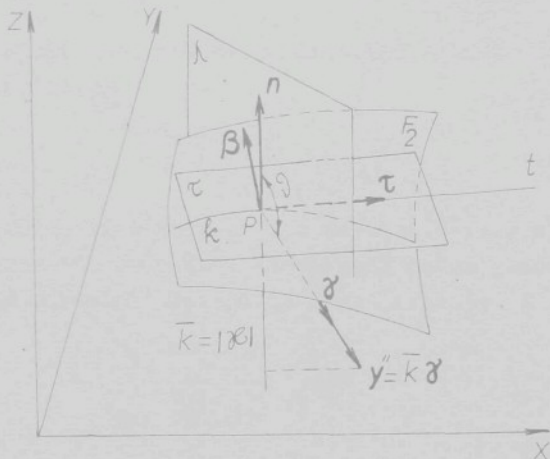
Obrátme se k rovnicím (3.20) a (3.26). Hovořili jsme o parametrických křivkách. Mějme parametrické rovnice:

$$\begin{aligned} u^2 &= u^2(t) \\ \varphi &= \varphi(t). \end{aligned} \quad (4.27)$$

Zřejmě lze určit délku oblouku s křivky na ploše, a zavést ji jako přirozený parametr pomocí substituce $t = t(s)$:

$$\begin{aligned} u^2 &= u^2(t(s)) = u^2(s) \\ \varphi &= \varphi(t(s)) = \varphi(s). \end{aligned} \quad (4.28)$$

Sestrojme v bodě P křivky k jednotkový tečný vektor τ , jednotkový vektor hlavní normály δ a jednotkový vektor binormály β (obr.8). Jednotkový normálny vektor plochy F_2 je n . Úhel mezi vektory n a δ je ϑ .



obr. 8

Křivka κ po zavedení přirozeného parametru do rovnice (4.10) nabude tvar:

$$X = X(u^1(s), u^2(s)). \quad (4.29)$$

Normální křivost κ plochy F_2 :

$$\kappa = y'' \cdot n \quad (4.30)$$

$$y'' = \bar{k} \gamma,$$

kde $|y''| = \bar{k} = \sqrt{y'' \cdot y''}$ je velikost vektoru první křivosti a $|n| = 1$.

$$\text{Potom } \kappa = \bar{k} \cos \vartheta, \quad (4.31)$$

což lze napsat v tensorové formuleci ([L.2], [L.4]):

$$\kappa = h_{ij}(u^i)''(u^j), \quad (4.32)$$

$$\kappa = t h_{ij} t. \quad (4.33)$$

Fro kterýkoliv jiný šikmý řez s hlavní normálou n platí

$$\mathcal{K}_s = \mathcal{K} \cos \vartheta. \quad (4.34)$$

Závislost mezi poloměrem křivosti šikmého řezu a hlavní křivostí:

$$r = r_{es} \cos \vartheta. \quad (4.35)$$

Nahradíme-li vektor (u^i) z rovnice (4.32) nenulovým kolineárním vektorem du^i , který není nutně jednotkovým vektorem, potom normální křivost je dána jako:

$$\mathcal{K} = \frac{h_{ij} \cdot du^i \cdot du^j}{g_{ij} \cdot du^i \cdot du^j} \quad (4.36)$$

$$e_{ij} = X_i \cdot X_j \quad (4.37)$$

Najdeme nyní hlavní normální křivosti, tj. křivosti v hlavních směrech.

Způsobem uケzány в [L.1] rozřešíme rovnici (4.36) a dostaneme hodnoty hlavních normálních křivostí $\mathcal{K}_1, \mathcal{K}_2$.

Zavedeme další označení:

$$H = \frac{\mathcal{K}_1 + \mathcal{K}_2}{2} \quad (4.38)$$

$$K = \mathcal{K}_1 \mathcal{K}_2 \quad (4.39)$$

H nazýváme střední křivostí plochy F_2

K je Gaussova křivost plochy F_2

$$H = \frac{\frac{1}{2} g_{11} h_{22} - 2g_{12} h_{21} + g_{22} h_{11}}{g_{11} g_{22} - (g_{12})^2} \quad (4.40)$$

$$K = \frac{h_{11} h_{22} - (h_{12})^2}{g_{11} g_{22} - (g_{12})^2} \quad (4.41)$$

Pomocí (4.40) a (4.41) lze vypočítat v daném bodě plochy hlavní normální křivosti $\mathcal{K}_1, \mathcal{K}_2$.

Iruhý základní tenzor plochy h_{ij} v tečné rovině soustavy charakteristických vektorů ve směru hlavních řezů se definiuje:

$$h_{ij} = \begin{vmatrix} \mathcal{K}_1 & \vartheta \\ \vartheta & \mathcal{K}_2 \end{vmatrix} \quad (4.42)$$

První skalární invariant je roven součtu obou hlavních křivostí, tj. dvojnásobné střední křivosti plochy F_2

$$S(h_{ij}) = \mathcal{K}_1 + \mathcal{K}_2 \quad (4.43)$$

Druhý skalární invariant je roven součinu hlavních křivostí, tj. Gaussova křivosti plochy F_2 .

Když jednotkový tečný vektor t svírá s hlavním vektorem t_1 úhel φ , je vektor t určen rovnicí:

$$t = t_1 \cos \varphi + t_2 \sin \varphi. \quad (4.44)$$

Potom je křivost normálného řezu o tečném vektoru t (dle rovnice (4.35)):

$$\begin{aligned} \mathcal{K}_t &= t h_{ij} t = \\ &= (t_1 \cos \varphi + t_2 \sin \varphi) \begin{vmatrix} \mathcal{K}_1 & \vartheta \\ \vartheta & \mathcal{K}_2 \end{vmatrix} (t_1 \cos \varphi + t_2 \sin \varphi) = \\ &= (t_1 \mathcal{K}_1 \cos^2 \varphi + t_2 \mathcal{K}_2 \sin^2 \varphi) (t_1 \cos \varphi + t_2 \sin \varphi) = \\ &= t_1 t_1 \mathcal{K}_1 \cos^2 \varphi + t_2 t_2 \mathcal{K}_2 \sin^2 \varphi \end{aligned}$$

$$\mathcal{K}_t = \mathcal{K}_1 \cos^2 \varphi + \mathcal{K}_2 \sin^2 \varphi. \quad (4.45)$$

Uvedeme bez důkazu klassifikaci bodů ležících na ploše:

1 - Eliptické body, když Gaussova křivost je kladná; to vyhovuje rovnici:

$$h_{11}h_{22} - (h_{12})^2 > 0. \quad (4.46)$$

2 - Parabolické body, když Gaussova křivost je nulové, ale existuje aspoň jedno číslo h_{ij} různé od nuly, tj.

$$h_{11}h_{22} - (h_{12})^2 = 0 \quad (4.47)$$

a aspoň jedno číslo $h_{ij} \neq 0$.

3 - Bod plochy je hyperbolickým bodem, když Gaussova křivost je záporná, tj.

$$h_{11}h_{22} - (h_{12})^2 < 0. \quad (4.48)$$

4 - Bod plochy je planárním bodem, když Gaussova křivost je nulová, a všechna čísla $h_{ij} = 0$.

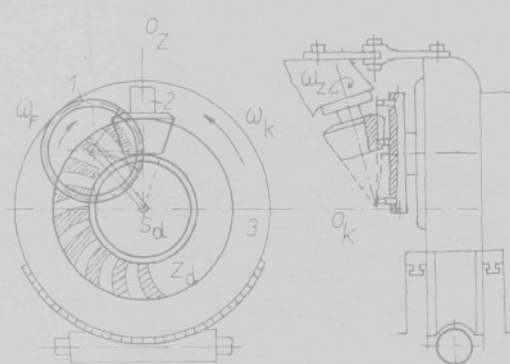
V předcházejících kapitolách byly odvozeny možnosti vytvoření obrobených ploch (resp. ploch nástroje). Na základě toho byly vyvozeny nekteré důležité vlastnosti ploch, které jsou nezbytné pro inženýrské úlohy při řešení optimalizace nástroje, zvětšení přesnosti součásti, využití vlastností ploch pro výzkum možnosti podřezání u kuželových kol atd. Je potřeba dodat, že pokud chceme získat ještě dělší informace o ploše jako např. významné směry na ploše, sférické zobrazení plochy, křivky na ploše, rozvinutelnost plochy atd., doporučujeme [L.2] s použitím výsledků, které byly odvozeny v předcházejících odstavcích této práce.

Nyní můžeme splikovet tuto teorii na výrobu kuželových kol, kde se vyskytuje složité pohyby s kinematickými vazbami

5. Vytvoření povrchu boku zubů kuželových kol

5.1 Kuželová kola s kruhově zakřivenými zuby Gleason

5.1.1 Princip práce a kinematická výzba součásti - kolébky - nástroje



obr.9

Princip práce při výrobě kuželových kol s kruhově zakřivenými zuby vyplývá z dvoubokého záběru (odvalu) výrobního kola s obrábeným ozubeným kolem 2 (Z_1, Z_2) (obr.9). Výrobní kolo Z_d (náhradní kolo) je představováno kolébkou 3 s upnutou frézovací hlavou (1). Nože hlavy mají lichoběžníkový tvar a jsou uspořádány obvykle za sebou s vnějším a vnitřním břitem. Frézovací hlava 1 se otáčí řeznou rychlosťí v (n_F) nebo ω_F , která není vázaná na ostatní precovní pohyby. Aby se dosáhlo správného odvalení, je nutno, aby vrchol roztečného kužele frézovaného kola 2 byl tetožný se středem výrobního kola S_d , tj. osa součásti O_Z musí protinat osu kolébky O_K - aby rovinu vrcholů ostří nožů tvořila tečnou rovinu patního kužele součásti. Úhel odvalovacího pohybu musí být tak velký, aby se obrabila celá zubní mezera. Frézovací hlava je pevně spojena se středem kolébky 3, která

se otáčí úhlovou rychlosí ω_k kolem osy O_k . Součást má osu rotace O_z s úhlovou rychlosí ω_z . Tedy převodový poměr záberu výrobního kola (počet zubů Z_d) a obráběného ozubeného kola je daný:

$$\frac{\omega_k}{\omega_z} = \frac{Z_d}{Z_k} = p = \sin \delta_k \quad (= 0.96) \quad (5.1)$$

kde δ_k je úhel rozteč. kužele obrobku.

Jestliže se obrobek do konečné polohy dostane z původní polohy otočením o úhel φ , potom při předpokladu, že pohyb je rovnoměrně rotační, kolébka se otočí o úhel:

$$\psi = p \cdot \varphi. \quad (5.2)$$

$$\omega_k = p \cdot \omega_z$$

Z toho principu práce vidíme, že úlohu můžeme řešit na základě kap. 3.2.1, kde osy součásti a nástroje jsou různoběžné.

Na obr. 10 je nakreslena poloha obráběného kola, kolébky a frézovací hlavy podle skutečných údajů při výrobě jednoho druhu kola v n.p. Hrádek nad Nisou. Nyní můžeme přikročit k řešení konkrétní situace.

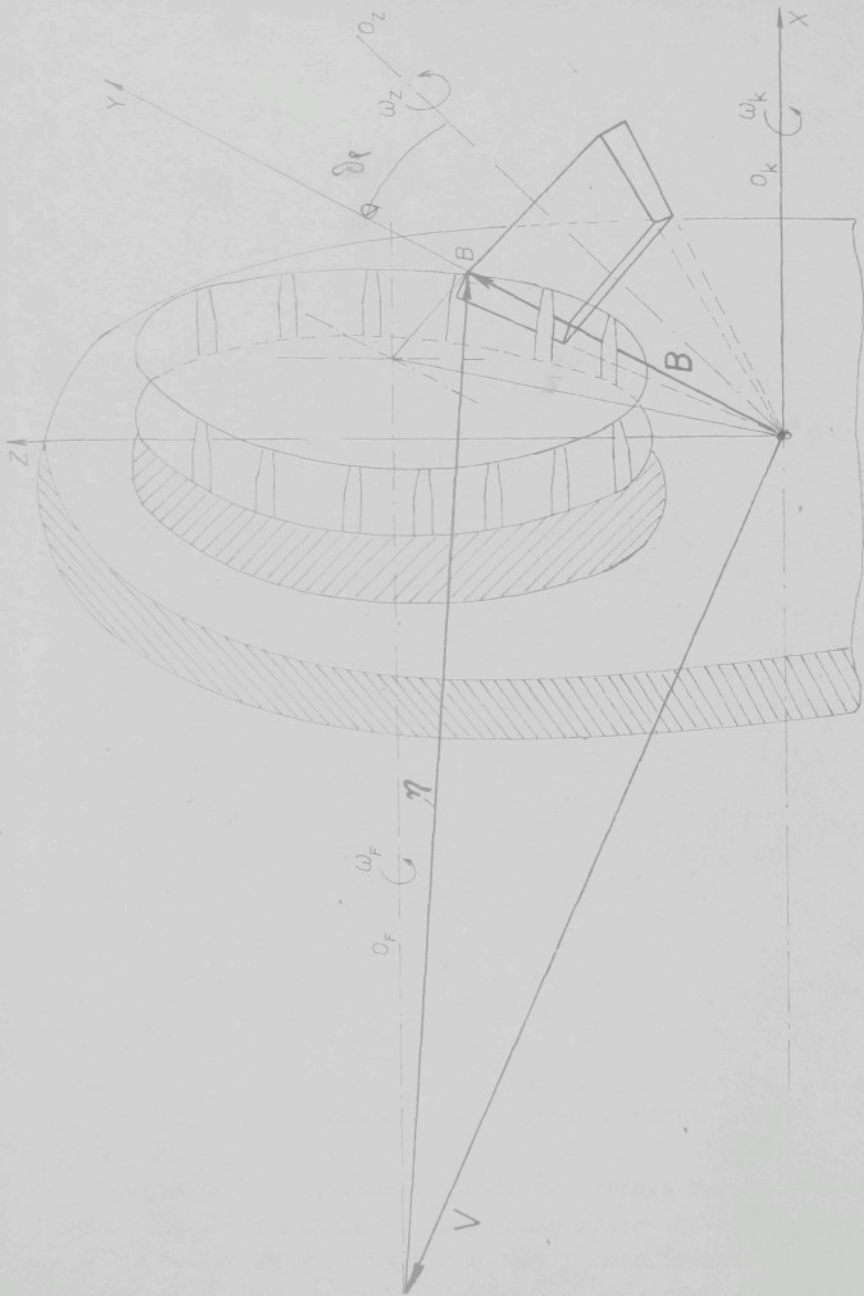
5.1.2 Rozbor profilu nástroje s plochou boku zuba

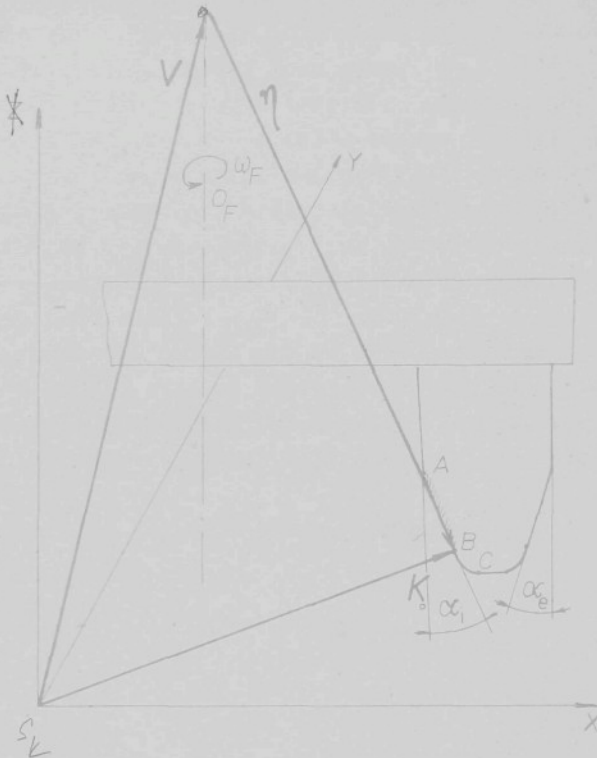
Ve frézovací hlavě jsou upevněny nože, které mají lichoběžníkový tvar (obr.11). Každé ostří nože je tvořeno ze dvou částí. Část přímková AB a část oblouková BC.

A - Přímková část

Při výrobě kola Gleason má kužel ostří osu tetožnou s osou frézovací hlavy. Proto prodloužené ostří AB protíná osu O_F v bodě A. Jestliže parametr u^1 leží na AB, potom plocha kužele nástroje vytvořené ostrím má rovnici:

$$K_{O_F} = u^1 A_{O_F}^2 \eta \quad (5.3)$$





obr. 11

Plocha kuželes ostří má v systému souřadnic rovnici

$$K_0 = u^2 A_{\theta_F} \eta + V, \quad (5.4)$$

kde u^2 je úhel počáteční rotace kuželes nástroje z počáteční polohy na začátku výroby zuba do polohy při dokončení jednoho boku zuba,

V je vektor od počátku souřadnic k vrcholu kuželes vytvořeného rotací prodlouženého ostří měří frézovací hlevy,

η je vektor od vrcholu kuželes ostří nože frézovací hlevy k zvolenému bodu na ostří.

α_l a α_e jsou úhly nože po úpravě břitu nože.
(Bude uvedena metoda korekce pro vstupní hodnoty).

Nyní podle obr.9 resp. obr.10 a podle kapitoly 3.2.1 snadno vyšetříme obslové plochy boku zuba.

Zastavíme-li pohyb součásti (obr.10), potom kolébka φ má tenzor otočení $A_{O_K}^{\varphi \varphi}$ kolem své osy a tenzor otočení $A_{O_Z}^{\varphi}$ kolem osy obrobku. (Zde je nutno zdůraznit, že podle směru otáčení os kolébky, obrobku a frézy, je možno rozlišit vnitřní nebo vnější valení a podle toho je potřeba zvolit orientaci jednotlivých os i směr úhlových rychlostí pro vstupní hodnoty počítače!).

Bod B je počáteční poloha dotyku nože s obrobkem. S je střed frézovací hlavy. (V n.p. hrádek nad Nisou se nastaví osy O_F , O_K kolmo na patu zuba. Potom určení jednotkových vektorů os je jednoduché; světla os mohou mít libovolnou polohu).

Podle rovnice (3.11) máme plochu nástroje:

$$K = A_{O_Z}^{\varphi} A_{O_K}^{p\varphi} (V + u^1 A_{O_F}^{u^2} \eta) = A_{O_Z}^{\varphi} A_{O_K}^{p\varphi} K_0, \quad (5.5)$$

kde

$$K_0 = V + u^1 A_{O_F}^{u^2} \eta.$$

u^1 je parametr podél řezné hrany AB a splňuje podmíinku:

$$0 \leq u^1 \leq 1 \quad , \quad (5.6)$$

Pokud $u^1 > 1$, potom obrábění se koná špičkou nože při $u^1 = 1$.

O_Z je jednotkový vektor osy součásti

O_K je jednotkový vektor osy kolébky

O_F je jednotkový vektor osy frézy

Podmínka valení:

$$[K_{u^1}, K_{u^2}, K_\varphi] = 0 \quad (5.7)$$

$$K_{u^1} = \frac{\partial K}{\partial u^1} = A_{O_Z}^{\varphi} A_{O_K}^{p\varphi} A_{O_F}^{u^2} \eta \quad (5.8)$$

$$K_u^2 = \frac{\partial K}{\partial u^2} = u^1 A_{o_Z}^\varphi A_{o_K}^{p\varphi} R(O_F) A_{o_F}^{u^2} \eta \quad (5.9)$$

$$K_\varphi = \frac{\partial K}{\partial \varphi} = O_z \times A_{o_Z}^\varphi A_{o_K}^{p\varphi} K_o + p A_{o_Z}^\varphi (O_k \times A_{o_K}^{p\varphi}) K_o = \\ O_z \times A_{o_Z}^\varphi A_{o_K}^{p\varphi} K_o + p A_{o_Z}^\varphi O_k \times A_{o_Z}^\varphi A_{o_K}^{p\varphi} K_o$$

$$K_p = (O_z + p A_{o_Z}^\varphi O_k) \times A_{o_Z}^\varphi A_{o_K}^{p\varphi} K_o =$$

$$(O_z + p A_{o_Z}^\varphi O_k) \times K =$$

$$= R(O_z + p A_{o_Z}^\varphi O_k) A_{o_Z}^\varphi A_{o_K}^{p\varphi} (V + u^1 A_{o_F}^{u^2} \eta). \quad (5.10)$$

Dosadíme rovnice (5.8), (5.9), (5.10) do rovnice (5.7)
a dostaneme:

$$(A_{o_Z}^\varphi A_{o_K}^{p\varphi} A_{o_F}^{u^2} \eta \times u^1 A_{o_Z}^\varphi A_{o_K}^{p\varphi} R(O_F) A_{o_F}^{u^2} \eta).$$

$$R(O_z + p A_{o_Z}^\varphi O_k) A_{o_Z}^\varphi A_{o_K}^{p\varphi} (V + u^1 A_{o_F}^{u^2} \eta) = 0 \quad (5.11)$$

$$(A_{OZ}^{\varphi} A_{OK}^{p\varphi} A_O^{u^2} \eta \times u^1 A_{OZ}^{\varphi} A_{OK}^{p\varphi} R(O_F) A_{OF}^{u^2} \eta) .$$

$$. R(O_z + p A_{OZ}^{\varphi} O_K) A_{OZ}^{\varphi} A_{OK}^{p\varphi} V +$$

$$(A_{OZ}^{\varphi} A_{OK}^{p\varphi} A_O^{u^2} \eta \times u^1 A_{OZ}^{\varphi} A_{OK}^{p\varphi} R(O_F) A_{OF}^{u^2} \eta) .$$

$$. R(O_z + p A_{OZ}^{\varphi} O_K) A_{OZ}^{\varphi} A_{OK}^{p\varphi} u^1 A_{OF}^{u^2} \eta = 0.$$

... (5.12)

Po vyloučení u^1 :

$$u^1 = - \frac{(A_{OZ}^{\varphi} A_{OK}^{p\varphi} A_O^{u^2} \eta \times A_{OZ}^{\varphi} A_{OK}^{p\varphi} R(O_F) A_{OF}^{u^2} \eta) . R(O_z + p A_{OZ}^{\varphi} O_K) A_{OZ}^{\varphi} A_{OK}^{p\varphi} V}{(A_{OZ}^{\varphi} A_{OK}^{p\varphi} A_O^{u^2} \eta \times A_{OZ}^{\varphi} A_{OK}^{p\varphi} R(O_F) A_{OF}^{u^2} \eta) . R(O_z + p A_{OZ}^{\varphi} O_K) A_{OZ}^{\varphi} A_{OK}^{p\varphi} A_O^{u^2} \eta}$$

... (5.13)

$$\Theta = \frac{! \det \left[A_{OZ}^{\varphi} A_{OK}^{p\varphi} A_O^{u^2} \eta; A_{OZ}^{\varphi} A_{OK}^{p\varphi} R(O_F) A_{OF}^{u^2} \eta; R(O_z + p A_{OZ}^{\varphi} O_K) A_{OZ}^{\varphi} A_{OK}^{p\varphi} V \right]}{\det \left[A_{OZ}^{\varphi} A_{OK}^{p\varphi} A_O^{u^2} \eta; A_{OZ}^{\varphi} A_{OK}^{p\varphi} R(O_F) A_{OF}^{u^2} \eta; R(O_z + p A_{OZ}^{\varphi} O_K) A_{OZ}^{\varphi} A_{OK}^{p\varphi} A_O^{u^2} \eta \right]}$$

... (5.14)

Zde je vidět, že pro případ přímkové části ostří je parametr u^1 explicitně vyjádřeny rovnici (5.14). Avšak pravé strana rovnice (5.13) resp. (5.14) je velmi složitá. Její

výpočet se usnědní řešením na samočinném počítači. Parametr u^1 splňuje rovnici (5.6) a umožnuje nám poznat, jaká je poloha ostří nebo jaká je vzdálenost bodu ostří od špičky nože; příslušná danému úhlu otočení součásti s frézovací hlevy při výrobě boku zubu. Rovnicí (5.14) lze stručně psát:

$$u^1 = u^1(\varphi, u^2). \quad (5.15)$$

Dosazením (5.14) resp. (5.15) do (5.5), najdeme:

$$K = A_{O_z}^{\varphi} A_{O_K}^{p\varphi} V + \frac{-\det \begin{bmatrix} \varphi & p\varphi u^2 & \varphi & p\varphi & u^2 \\ A_{O_z}^{\varphi} A_{O_K}^{p\varphi} A_{O_F}^{\eta}, & A_{O_z}^{\varphi} A_{O_K}^{p\varphi} R(O) A_{O_F}^{\eta}, & R(O_z + pA_{O_z}^{\varphi} A_{O_K}^{p\varphi}) A_{O_z}^{\varphi} A_{O_K}^{p\varphi} V \end{bmatrix}}{\det \begin{bmatrix} \varphi & p\varphi u^2 & \varphi & p\varphi & u^2 \\ A_{O_z}^{\varphi} A_{O_K}^{p\varphi} A_{O_F}^{\eta}, & A_{O_z}^{\varphi} A_{O_K}^{p\varphi} R(O) A_{O_F}^{\eta}, & R(O_z + pA_{O_z}^{\varphi} A_{O_K}^{p\varphi}) A_{O_z}^{\varphi} A_{O_K}^{p\varphi} A_{O_F}^{\eta} \end{bmatrix}}$$

$$\left. A_{O_F}^{u^2} \eta \right\} \quad (5.16)$$

resp.

$$K = A_{O_z}^{\varphi} A_{O_K}^{p\varphi} (V + u^1(u^2, \varphi)) A_{O_F}^{u^2} \eta. \quad (5.17)$$

Fro ilustraci uvedu tenzor otočení $A_{O_z}^{\varphi}$ kolem osy O_z , které leží v rovině XY (obr.10) a sytá s osou Y úhel pětinního kužele δ_p .

Jednotkový vektor osy součásti:

$$O_z = O_z (\sin \delta_p, \cos \delta_p, 0). \quad (5.18)$$

$$O_Z \cdot O_Z = \begin{pmatrix} \sin^2 \delta_p & \sin \delta_p \cos \delta_p & 0 \\ \cos \delta_p \sin \delta_p & \cos^2 \delta_p & 0 \\ 0 & 0 & 0 \end{pmatrix} \quad (5.19)$$

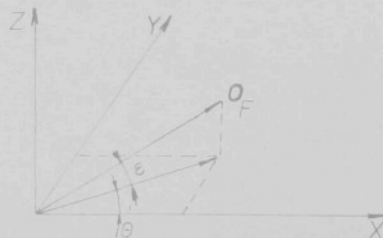
$$R(O_Z) = \begin{pmatrix} 0 & 0 & \cos \delta_p \\ 0 & 0 & -\sin \delta_p \\ -\cos \delta_p & \sin \delta_p & 0 \end{pmatrix} \quad (5.20)$$

Po dosazení rovnic (5.19), (5.20) do (2.11) dostaneme:

$$A_{O_Z}^\varphi = \begin{pmatrix} \cos^2 \delta_p \cos \varphi + \sin^2 \delta_p & -\sin \delta_p \cos \delta_p \cos \varphi + \sin \delta_p \cos \delta_p & 0 \\ -\cos \delta_p \sin \delta_p \cos \varphi + \cos \delta_p \sin \delta_p & \sin^2 \delta_p \cos \varphi + \cos^2 \delta_p & 0 \\ -\cos \delta_p \sin \varphi & \sin \delta_p \sin \varphi & 0 \\ \cos \delta_p \sin \varphi & -\sin \delta_p \sin \varphi & \cos \varphi \end{pmatrix} \quad (5.21)$$

Určení tenzoru otocení při obecné poloze osy frézy O_F , která je daná jednotkovým vektorem (obr.12):

$$O_F = O_F (\cos \varepsilon \cos \theta, \cos \varepsilon \sin \theta, \sin \varepsilon) \quad (5.22)$$



obr.12

$$O_F O_F = \begin{pmatrix} \cos^2 \varepsilon \cos^2 \theta ; \cos^2 \varepsilon \cos \theta \sin \theta ; \cos \varepsilon \cos \theta \sin \theta \\ \cos^2 \varepsilon \cos \theta \sin \theta ; \cos^2 \varepsilon \sin^2 \theta ; \cos \varepsilon \sin^2 \theta \\ \cos \varepsilon \cos \theta \sin \theta ; \cos \varepsilon \sin^2 \theta ; \sin^2 \theta \end{pmatrix} \quad (5.23)$$

$$R(O_F) = \begin{pmatrix} 0 ; -\sin \theta ; \cos \varepsilon \sin \theta \\ \sin \theta ; 0 ; -\cos \varepsilon \cos \theta \\ -\cos \varepsilon \sin \theta ; \cos \varepsilon \cos \theta ; 0 \end{pmatrix} \quad (5.24)$$

Po dosazení (5.23) a (5.24) do (2.11) a po úpravě:

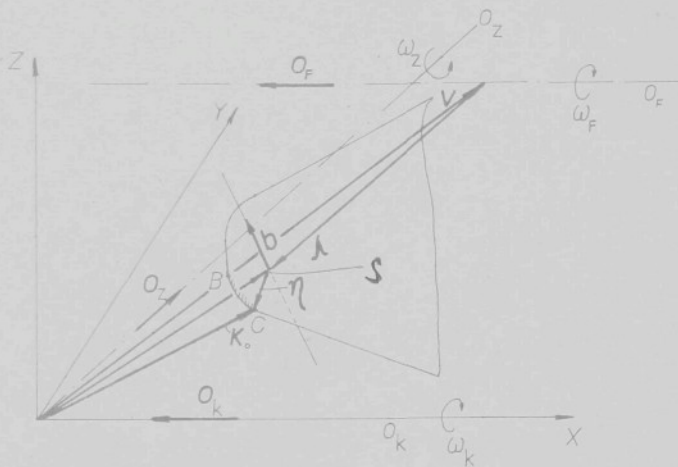
$$A_{O_F}^{u^2} = \begin{pmatrix} \cos u^2 + 2\cos^2 \varepsilon \cos^2 \theta \sin^2 \frac{u^2}{2} ; 2\cos^2 \varepsilon \cos \theta \sin \theta \sin^2 \frac{u^2}{2} \\ \sin \theta \sin u^2 + 2\cos^2 \varepsilon \cos \theta \sin \theta \sin^2 \frac{u^2}{2} ; \cos u^2 + \\ 2\cos \varepsilon \cos \theta \sin \theta \sin^2 \frac{u^2}{2} - \cos \varepsilon \sin \theta \sin u^2 ; 2\cos \varepsilon \sin^2 \theta \sin^2 u^2 \\ \sin \theta \sin u^2 ; 2\cos \varepsilon \cos \theta \sin^2 \frac{u^2}{2} + \cos \varepsilon \sin \theta \sin u^2 \\ 2\cos^2 \varepsilon \sin^2 \theta \sin^2 \frac{u^2}{2} ; 2\cos \varepsilon \sin^2 \theta \sin^2 \frac{u^2}{2} - \cos \varepsilon \cos \theta \sin^2 u^2 \\ + \cos \varepsilon \cos \theta \sin u^2 ; \cos^2 \theta \cos u^2 + \sin^2 \theta \end{pmatrix} \quad \dots (5.25)$$

Když je osa frézy rovnoběžná s osou λ , tj. vektor O_F má souřadnice $(1, 0, 0)$ neboli úhly $\theta = 0$, ε jsou rovny nule, potom z rovnice (5.25) dostaneme jednoduchý vztah :

$$A_{O_F}^{u^2} = \begin{pmatrix} 1 ; 0 ; 0 \\ 0 ; \cos u^2 ; -\sin u^2 \\ 0 ; \sin u^2 ; \cos u^2 \end{pmatrix} \quad (5.26)$$

Což je případ otáčení v rovině.

B - Oblouková část



obr.13

Co se týká řešení souřadnic boku zuba pro obloukovou část nože, je situace složitější tím, že parametr u^1 už není explicitně vyjádřitelný. Oblouk BC (obr.13) má střed S, který má jednotkovou binormálu b a zároveň osu části kružnice BC. Tensor otočení kolem osy b je A_b^t .

t je parametr otočení bodu na kružnici kolem středu S

η je vektor k bodu kružnice ze středu S

v je vektor z počátku souřadnic k bodu ležícímu na ose O_F

K_0 je vektor od počátku souřadnic k bodu ostrí na obloukové části nože; λ je vektor od bodu ležícího na ose O_F ke středu S. Plocha nastroje vytvořená pohybem ostrí (obdobně jako přímkové ostrí AB) je vyjádřena :

$$K = A_{O_Z}^\varphi A_{O_K}^{p\varphi} (V + A_{O_F}^{u^2} [A_b^t \eta + \lambda]). \quad (5.27)$$

Plati:

$$[K_t, K_u^2, K_\varphi] = 0 \quad (5.28)$$

$$K_t = \frac{\partial K}{\partial t} = A_{OZ}^\varphi A_{OK}^{p\varphi} A_{OF}^{u^2} (b \times A_b^t) \eta \quad (5.29)$$

$$K_t = A_{OZ}^\varphi A_{OK}^{p\varphi} A_{OF}^{u^2} R(b) A_b^t \eta \quad (5.30)$$

$$K_u^2 = \frac{\partial K}{\partial u^2} = A_{OZ}^\varphi A_{OK}^{p\varphi} R(O_F) A_{OF}^{u^2} (A_b^t \eta + \lambda) \quad (5.31)$$

$$K_\varphi = \frac{\partial K}{\partial \varphi} = O_z \times A_{OZ}^\varphi A_{OK}^{p\varphi} (V + A_{OF}^{u^2} [A_b^t \eta + \lambda]) +$$

$$p A_{OZ}^\varphi O_k \times A_{OZ}^\varphi A_{OK}^{p\varphi} (V + A_{OF}^{u^2} [A_b^t \eta + \lambda])$$

$$K_\varphi = R(O_z + p A_{OZ}^\varphi O_k) A_{OZ}^\varphi A_{OK}^{p\varphi} (V + A_{OF}^{u^2} [A_b^t \eta + \lambda]). \quad (5.32)$$

Dosadíme (5.30), (5.31) a (5.32) do (5.28). Parametr t nelze však nyní výjádřit jako u^1 z rovnice (5.14) explicitně. Jeho hodnotu je možno najít pouze pomocí samočinného počítače za použití následujících úprav.

V rovnicích (5.30), (5.31) a (5.32) považujeme za pevné a známé hodnoty φ a u^c . Potom jediným neznámým parametrem je t .

$$K_t = B A_b^t \eta, \quad (5.33)$$

$$\text{kde } B = A_{OZ}^\varphi A_{OK}^{p\varphi} A_{OF}^{u^2} R(b). \quad (5.34)$$

$$K_u^2 = D(A_b^t \eta + \lambda) \quad (5.35)$$

$$D = A_{O_Z}^\varphi A_{O_K}^{p\varphi} R(O) A_{O_F}^u \quad (5.36)$$

$$K_\varphi = F + L(A_B^t \eta + \lambda) \quad (5.37)$$

$$F = R(O_Z + p A_{O_Z}^\varphi O_K) A_{O_Z}^\varphi A_{O_K}^{p\varphi} V \quad (5.38)$$

$$L = R(O_Z + p A_{O_Z}^\varphi O_K) A_{O_Z}^\varphi A_{O_K}^{p\varphi} A_{O_F}^u \quad (5.39)$$

Z rovníc (5.33), (5.35), (5.37) lze získat:

$$K_t = B [(I - b \cdot b) \cos t + R(b) \sin t + b \cdot b] \eta \quad (5.40)$$

$$K_t = M \cos t + N \sin t + O, \quad (5.41)$$

$$\text{kde } M = B [(I - b \cdot b)] \eta \quad (5.42)$$

$$N = BR(b) \eta \quad (5.43)$$

$$O = B b \cdot b \eta. \quad (5.44)$$

$$K_u^2 = D [(I - b \cdot b) \cos t + R(b) \sin t + b \cdot b] (\eta + \lambda) \quad (5.45)$$

$$K_u^2 = P \cos t + Q \sin t + R, \quad (5.46)$$

$$\text{kde } P = D(I - b \cdot b)(\eta + \lambda) \quad (5.47)$$

$$Q = DR(b)(\eta + \lambda) \quad (5.48)$$

$$R = D b \cdot b (\eta + \lambda). \quad (5.49)$$

$$K_\varphi = F + L [(I - b \cdot b) \cos t + R(b) \sin t + b \cdot b] (\eta + \lambda)$$

$$K_\varphi = S \cos t + U \sin t + V \quad (5.50)$$

$$S = L(1 - b_0 b)(\eta + \lambda) \quad (5.51)$$

$$U = LR(b)(\eta + \lambda) \quad (5.52)$$

$$V = F + L b_0 b(\eta + \lambda) \quad (5.53)$$

Za požití rovnic (5.41), (5.46), (5.50) určíme determinant:

$$\det [M \cos t + N \sin t + O; P \cos t + Q \sin t + R; \\ S \cos t + U \sin t + V] = 0 \quad (5.54)$$

$$\begin{aligned} & \cos^3 t [M, P, S] + \cos t \sin^2 t [M, Q, U] + \cos t [M, R, -P] + \\ & \cos^2 t \sin t [N, P, S] + \sin t [N, R, V] + \cos^2 t [O, P, S] + \\ & \sin^2 t [O, Q, U] + [O, R, V] + \cos t \sin^2 t [N, P, U] + \\ & \cos t [O, P, V] + \cos^2 t \sin t [M, Q, S] + \sin^3 t [N, Q, U] + \\ & \sin t [O, Q, V] + \cos^2 t [M, R, S] + \sin^2 t [N, R, U] + \\ & \cos t \sin^2 t [N, Q, S] + \cos t [O, R, S] + \cos^2 t \sin t [M, P, U] + \\ & \sin t [N, O, U] + \cos^2 t [M, P, V] + \sin^2 t [N, Q, V] + \\ & \cos t \sin t [M, Q, V] + \cos t \sin t [M, R, U] + \cos t \sin t [N, P, V] \\ & + \cos t \sin t [O, Q, S] + \cos t \sin t [N, R, S] + \\ & \cos t \sin t [O, P, U] = 0. \end{aligned} \quad (5.55)$$

Po úpravě:

$$\begin{aligned} & \cos^3 t [M, P, S] + \sin^3 t [N, Q, U] + \cos^2 t \sin t ([N, P, S] + \\ & [M, O, S] + [M, P, U]) + \sin^2 t \cos t ([M, Q, U] + \\ & [N, P, U] + [N, Q, S]) + \cos^2 t ([O, P, S] + [M, R, S] \\ & + [M, P, V]) + \sin^2 t ([O, Q, U] + [N, R, U] + \\ & [N, Q, V]) + \cos t ([M, R, V] + [O, P, V] + [O, R, S]) + \end{aligned}$$

$$\begin{aligned} \sin t & ([N, R, V] + [O, Q, V] + [O, R, U]) + \\ \sin t \cos t & ([M, Q, V] + [M, R, U] + [N, P, V] + \\ & [O, P, U] + [O, Q, S] + [N, R, S] + [O, R, V]) = 0 \end{aligned}$$

Neboli:

$$f(t) = a \cos^3 t + b \sin^3 t + d \cos^2 t \sin t + e \sin^2 t \cos t + f \cos^2 t + g \sin^2 t + k \cos t + l \sin t + m \cos t \sin t + h, \quad (5.56)$$

$$\text{kde } a = [M, P, S]$$

$$b = [N, O, U]$$

$$d = [N, P, S] + [M, Q, S] + [M, P, U]$$

$$e = [M, Q, U] + [N, P, U] + [N, Q, S]$$

$$f = [O, P, S] + [M, R, S] + [M, P, V]$$

$$g = [O, Q, U] + [N, R, U] + [N, Q, V]$$

$$k = [M, R, V] + [O, P, V] + [O, R, S]$$

$$l = [N, R, V] + [O, Q, V] + [O, R, U]$$

$$h = [O, R, V]$$

$$m = [M, O, V] \cdot [M, R, U] \cdot [N, P, V] \cdot [O, P, U] \cdot [O, Q, S] \cdot [N, R, S]$$

Rovnice (5.56) je transcendentní vzhledem k neznámé $t!$

Koeficienty $a, b, d, e, f, g, k, l, m$ jsou konstantní.

Parametr t lze určit např. pomocí metody půlení intervalu nebo metody sečen (regula falsi) a nebo Newtonovou metodou s počátečním odhadem kořenu.

$$t_{i+1} = t_i - \frac{f(t_i)}{f'(t_i)} \quad (5.57)$$

t_{i+1} je nové přesnější řešení (nová sproximace)

t_i je staré řešení (stará sproximace).

Pokud není známa počáteční hodnota řešení (první sproximace), lze použít metody Bing-Vieta, Bernoulliho nebo Lobačevského...

Poslední vypočítanou hodnotu nové sproximace považujeme za přesnou hodnotu t , tedy:

$$t = t(u^2, \varphi). \quad (5.58)$$

Po dosazení t z rovnice (5.56) do (5.27), dostaneme rovnici boku zuba vytvořeného obloukovou částí ostří nože:

$$K = A_{O_Z}^\varphi A_{O_K}^{p\varphi} (V + A_{O_F}^u [A_{O_b}^{p\varphi} t(\varphi, u^2) \eta + \lambda]). \quad (5.59)$$

Z výše uvedených vztahů je vidět, jak složité matematické vztahy vznikají při řešení těchto problémů. Ještě složitější případ nastane když osy kolébky a součásti jsou mimoběžné. Formální postup při řešení je tentýž jako při různoběžných osách a plocha nástroje je psán dáná rovnicí (3.25). Lze však očekávat větší komplikace při numerickém řešení, náročnější program pro počítač s obtížnější stanovení vstupních hodnot, odpovídajících výrobě.

Lyní můžeme podle předcházejících kapitol najít tenzor plochy, její křivosti, tečny, normály. Fodrobě to už zde nebudeme provádět. Tenzor plochy má obecnější použití a proto uvedeme aspoň stručný výsledek.

Podle (4.15) a (5.16) resp. (5.17), (5.59) má tenzor plochy boku zuba tvar:

$$h_{ij} = n K_{ij} \quad (5.60)$$

$$n = \frac{\frac{\partial K}{\partial \varphi} \times \frac{\partial K}{\partial u^2}}{\frac{\partial K}{\partial \varphi} \times \frac{\partial K}{\partial u^2}} \quad (5.61)$$

$$K = \frac{\partial K}{\partial u^i \partial u^j} \quad (5.62)$$

Pro plochu vytvořenou přímkovou částí ostří platí:

$$K_{11} = \frac{\partial K}{\partial \varphi \partial \varphi} = \frac{\partial}{\partial \varphi} (R(O_Z + p A_{O_Z}^\varphi O_K) A_{O_Z}^\varphi A_{O_K}^{p\varphi} (V + u^1(u^2, \varphi)) A_{O_F}^{u^2} \eta) +$$

$$+ A_{OZ}^\varphi A_{OK}^{\frac{p\varphi}{2} \partial u^1(u^2, \varphi)} A_{OF}^{u^2} \eta) \quad (5.63)$$

$$K_{22} = \frac{\partial K}{\partial u^2 \partial u^2} = \frac{\partial}{\partial u^2} \left(A_{OZ}^\varphi A_{OK}^{\frac{p\varphi}{2} \partial u^1(u^2, \varphi)} A_{OF}^{u^2} \eta + A_{OZ}^\varphi A_{OK}^{\frac{p\varphi}{2} u^1(u^2, \varphi)} R(O_F) \cdot A_{OF}^{u^2} \eta \right) \quad (5.64)$$

$$K_{12} = K_{21} = \frac{\partial}{\partial u^1} \left(R(O_Z + p A_{OZ}^\varphi O_K) A_{OZ}^\varphi A_{OK}^{\frac{p\varphi}{2}} (V + u^1(u^2, \varphi)) A_{OF}^{u^2} \eta + A_{OZ}^\varphi A_{OK}^{\frac{p\varphi}{2} \partial u^1(u^2, \varphi)} A_{OF}^{u^2} \eta \right) \quad (5.65)$$

$$\begin{aligned} \frac{\partial K}{\partial \varphi} \times \frac{\partial K}{\varphi} &= \left(R(O_Z + p A_{OZ}^\varphi O_K) A_{OZ}^\varphi A_{OK}^{\frac{p\varphi}{2}} (V + u^1(u^2, \varphi)) A_{OF}^{u^2} \eta + \right. \\ &\quad \left. + A_{OZ}^\varphi A_{OK}^{\frac{p\varphi}{2} \partial u^1(u^2, \varphi)} A_{OF}^{u^2} \eta \right) \times \\ &\quad \times \left(A_{OZ}^\varphi A_{OK}^{\frac{p\varphi}{2} \partial u^1(u^2, \varphi)} A_{OF}^{u^2} \eta + A_{OZ}^\varphi A_{OK}^{\frac{p\varphi}{2} u^1(u^2, \varphi)} R(O_F) A_{OF}^{u^2} \eta \right), \quad (5.66) \end{aligned}$$

kde $u^1(u^2, \varphi)$ je dán vztahem (5.14).

Rovnice (5.63), (5.64), (5.65), (5.66) není možno získat jednoduchou algebraickou derivecí. Proto derivujeme metodou přirůstku elementu argumentu, které je použitelná pro počítač.

$$\frac{\partial K}{\partial \varphi} = \lim_{\Delta \varphi \rightarrow 0} \frac{K(\varphi + \Delta \varphi) - K(\varphi)}{\Delta \varphi} \quad (5.67)$$

$$\frac{\partial K}{\partial u^2} = \lim_{\Delta u \rightarrow 0} \frac{K(u^2 + \Delta u^2) - K(u^2)}{\Delta u^2} . \quad (5.68)$$

Potom rovnici (5.63) lze přepsat na tvar:

$$K_{11} = \left[\begin{array}{l} R(O_Z + p A_{O_Z}^\varphi O_K) A_{O_Z}^{\varphi + \Delta \varphi} A_{O_K}^{p(\varphi + \Delta \varphi)} (V + u^1(u^2, \varphi + \Delta \varphi)) A_{O_F}^{u^2} \eta + \\ + A_{O_Z}^{\varphi + \Delta \varphi} A_{O_K}^{p(\varphi + \Delta \varphi)} u^1(u^2, \varphi + \Delta \varphi) A_{O_F}^{u^2} \eta \end{array} \right] - \\ - \left[\begin{array}{l} R(O_Z + p A_{O_Z}^\varphi O_K) A_{O_Z}^\varphi A_{O_K}^{p\varphi} (V + u^1(u^2, \varphi)) A_{O_F}^{u^2} \eta + \\ + A_{O_Z}^\varphi A_{O_K}^{p\varphi} u^1(u^2, \varphi) A_{O_F}^{u^2} \eta \end{array} \right] \frac{1}{\Delta \varphi} . \quad (5.69)$$

Podobně se to provede pro ostatní derivace. Tento způsob derivace platný všeobecně pro řešení podřezání zuba, sledování přesnosti převodu u ozubení Oerlikon, Klingelnberg.... V omezeném rozsahu práce není možno rozřešit všechny úlohy do detailu.

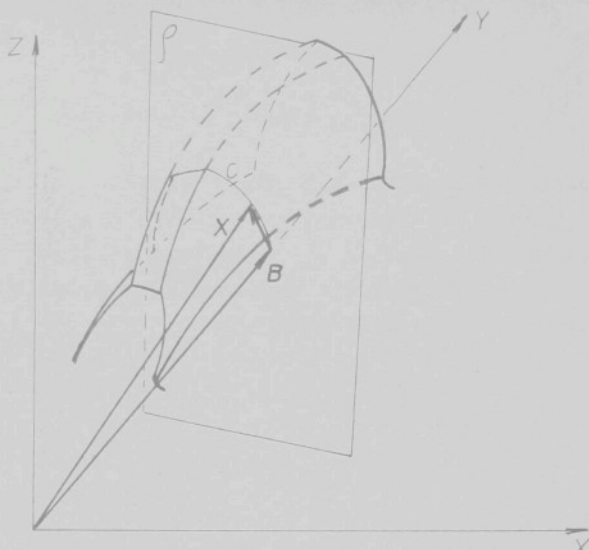
5.1.3 Křivky boku zuba příčného řezu kolem Gleason

Pro různé účely bývá někdy vhodné stanovit řezy bokem zuba. Jednoduchý případ je obr. 14, kdy rovina ρ je kolmá na vektor B v jeho koncovém bodě. Rovnice roviny ρ má tvar:

$$(X - B) \cdot B = 0 . \quad (5.70)$$

Vektor X má koncový bod na křivce c , která je průsečnicí roviny ρ a obálky boku zuba. Proto obálkovou plochu dosadíme za vektor X . Rovnice (5.70) má nyní tvar

$$\left[A_{O_Z}^\varphi A_{O_K}^{p\varphi} (V + u^1(u^2, \varphi)) A_{O_F}^{u^2} \eta - B \right] \cdot B = 0 . \quad (5.71)$$



obr.14

Neboli:

$$A_{OZ}^{\varphi} A_{OK}^{p\varphi} V.B + A_{OZ}^{\varphi} A_{OK}^{p\varphi} u^1(u^2, \varphi) A_{OF}^{u^2} \eta B - B.B = 0$$

$$A_{OZ}^{\varphi} A_{OK}^{p\varphi} V.B + A_{OZ}^{\varphi} A_{OK}^{p\varphi} A_{OF}^{u^2} \eta B u^1(u^2, \varphi) - B.B = 0.$$

... (5.72)

Rovnice (5.72) je skalérní funkcí dvou skalárních proměnných φ a u^2 . Parametr φ lze považovat za pevný; potom rovnice (5.72) má tvar:

$$h(u^2, \varphi) = a(\varphi) + b(u^2, \varphi) u^1(u^2, \varphi) - c = 0, \quad (5.73)$$

kde $a(\varphi) = A_{OZ}^{\varphi} A_{OK}^{p\varphi} V.B$
 $b(u^2, \varphi) = A_{OZ}^{\varphi} A_{OK}^{p\varphi} A_{OF}^{u^2} \eta B$

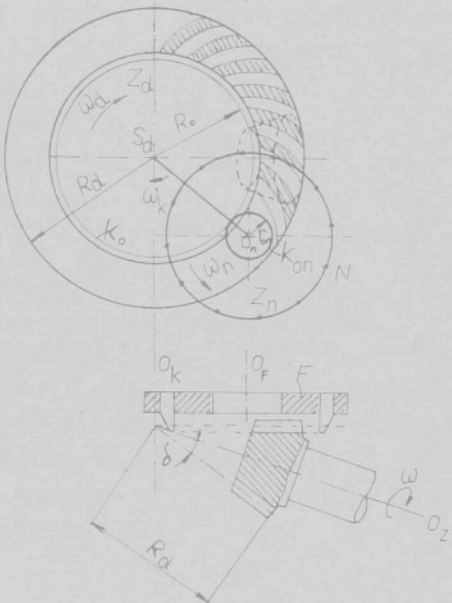
$$c = B.B$$

$u^1(u^2, \varphi)$ je dáno rovnicí (5.14).

Řešením rovnice (5.73) určíme u^2 opět pomocí Newtonovy metody při pevně zvoleném φ . Z (5.14) je možno určit u^1 a body křivky c příčného řezu. Způsob řešení je platný pro jakýkoliv druh kola, ať je válcové nebo kuželové s šikmými či se zařívenými zuby, ať jde o jednoduchý nebo složitý způsob výroby.

5.2 Kuželová kola se zakřivenými zuby Oerlikon

5.2.1 Princip práce a kinematické závislosti při výrobě



obr.15

Nástrojem pro výrobu kol je nožová hleva F s noži s přímkovými profily, uloženými na obvodě hlevy (obr.15). Zuby na kolech se však neobrábějí dělicím způsobem jako u kol Gleason, nýbrž spojitym způsobem po celém obvodě frézovaného kola Z s postupným zavalovéním do stále větší hloubky. Stroj koná stále plynulé otáčivé pohyb, až do zhotovení jednoho obráběného kola. Ploché kolo (Z_d) (mýšlené výrobní kolo) je fixováno na kolébce a je v záběru s obráběným kolem. Frézovací hleva F má různé nožové skupiny s vnitřním nebo

vnějším ostřím (viz. [L.6] , [L.27]). Epicykloida vznikne odvalením myšlené kružnice K_{on} , která má poloměr $r_{on} = m_n Z_n / 2$ (m_n je modul kola v normálném řezu, Z_n je počet nožů frézovací hlavy) po kružnici K_o o poloměru $R_o = Z_d \cdot m_n / 2$ (kde Z_d je počet zubů plochého kola). Skutečná výroba kuželových kol Cericlikon je založena na těchto kinematických vztazích :

1 - Předpokládejme, že osa O_n je pevná, a že frézovací hleva F se otáčí kolem středu O_n a unáší kružnici K_o , rotující kolem středu S_d . Pak relativní pohyb frézovací hlevy- plochého kola je stejný jako když se kružnice K_{on} valí po K_o . Musí platit vztah:

$$\frac{\omega_d}{\omega_n} = \frac{Z_n}{Z_d} = \frac{r_{on}}{R_o} \quad (5.74)$$

ω_d je úhlová rychlosť plochého kola

ω_n je úhlová rychlosť frézovací hlevy

Z_n je počet skupin nožů.

K rotujícímu plochému kolu a nástroji přiložíme roztečný kužel frézovaného obrobku. Jeho úhlová rychlosť ω plyne z podmínky valení na plochém kole (ω_d) nebo ze zákona záběru zubů obráběného kola Z s plochým kolem Z_d - též s počtem nožových skupin Z_n . Tedy:

$$\frac{\omega}{\omega_d} = \frac{Z_d}{Z} \quad (5.75)$$

$$\frac{\omega}{\omega_n} = \frac{Z_n}{Z} \quad (5.76)$$

V současném záběru jsou tři tělesa - frézovací hleva, ploché kolo a frézované kolo - pro něž platí:

$$\omega : \omega_n : \omega_d = \frac{1}{Z} : \frac{1}{Z_n} : \frac{1}{Z_d} \quad i \quad (5.77)$$

Rovnice (5.77) popisuje případ, kdy osa frézy je nehybná, tj. unášec $S_d O_n$ je v klidu. Potom se na kole neodvalují zuby

základního kola v té formě, v jaké je na něm vytvářejí nože frézy při představě, že ostrý frézy (řezná část) by zanechala stopu. Zuby na základním kole jsou ve skutečnosti vytvářeny přetržitým způsobem tisk, jak ostrý za sebou přichází do záběru! Tuto nepříjemnost lze odstranit tím, že ūnašecí, tj. kolébce v níž je fréza, přidělíme přídavnou úhlovou rychlosť ω_k (kolébka). Se zretelem na přídavný pohyb kolébky (při zachování úhlové rychlosti frézy ω_n) bude úhlová rychlosť plochého kola dána součtem $\omega_d + \omega_k$. Úhlovou rychlosť součásti při stojící kolébce lze vyjádřit:

$$\frac{\omega}{\omega_d} = \frac{Z_d}{Z} = \frac{R}{R_d} = \frac{R_d}{R_d \sin \delta} = \frac{1}{\sin \delta}$$

$$\omega = \frac{\omega_d}{\sin \delta}$$

(5.78)

δ je úhel roztečného kuželet.

Úhlová rychlosť součásti při otácející se kolébce má rovnici:

$$\omega = \frac{\omega_d + \omega_k}{\sin \delta}. \quad (5.79)$$

$$\omega_d = \frac{\omega Z}{Z_d} = \frac{\omega_n Z_n}{Z_d}, \quad (5.80)$$

$$\text{ale } Z_d = \frac{Z}{\sin \delta}. \quad (5.81)$$

Losazením rovnic (5.81) a (5.80) do (5.79) máme:

$$\omega = \frac{\frac{\omega_n Z_n}{Z_d} + \omega_k}{\sin \delta} = \frac{\frac{\omega_n Z_n}{\frac{Z}{\sin \delta}} + \omega_k}{\sin \delta} = \frac{\frac{\omega_n Z_n}{Z} + \omega_k}{\sin \delta}.$$

$$\omega = \frac{\omega_n Z_n}{Z} + \frac{\omega_k}{\sin \delta} \quad (5.82)$$

Tím je vytvořena kinemtická vazba mezi otáčkami frézovací hlavy, kolébky a obráběného kola. Pracovní odvalovací pohyb se tedy skládá ze tří nepřetržitých pohybů:

1 - Řezný pohyb frézovací hlavy ω_n , Z_n .

2 - Dělicí pohyb obráběného kola ω , Z .

3 - Otáčivý pohyb pláchého kola, který zpětně působí přes diferenciální převod na otáčivý pohyb kolébky (ω_k).

Úhlová rychlosť kolébky ω_k je malá při obrábění a určuje rychlosť posuvu do záběru, kdežto pohyb frézovací hlavy vytváří řeznou rychlosť. Úhlové rychlosti ω_n , ω jsou dosti velké, kdežto ω_k je velmi malé. Při této rychlosti opíše kolébka během výroby celého kola úhel $20 \pm 30^\circ$.

Tento zde podaný princip práce a kinemtická vazba nám vytvořily základ pro teoretické vytváření boku zuba kuželových kol Cerlikon.

5.2.2 Obalové plochy boku zuba při odvalu s profilem nástroje

Zavedeme toto označení:

O_z je jednotkový vektor osy současti O_z

O_k je jednotkový vektor osy kolébky O_k

O_F je jednotkový vektor osy frézovací hlavy O_F

Definujme další tyto rovnice:

$$\tilde{p} = \frac{Z}{Z_n} \quad (5.83)$$

$$p = \frac{\omega_n}{\omega} \quad (5.84)$$

$$q = \frac{\omega_k}{\omega} \quad (5.85)$$

Z : počet zubů obráběného kola

Z_n : počet zubů frézy (počet nožových skupin)

ω_n : úhlová rychlosť frézovací hlavy

ω : úhlová rychlosť součásti (obrábeného kola)

Z rovnice (5.82) máme:

$$\omega Z \sin \delta = \omega_n Z_n \sin \delta + \omega_k Z$$

neboli:

$$\frac{\omega Z \sin \delta}{\omega_n Z_n} = \frac{\omega_n Z_n}{\omega_n Z_n} \sin \delta + \frac{\omega_k Z}{\omega_n Z_n} \quad (5.86)$$

Poře (5.83), (5.84), (5.85) a (5.86) lze napsat:

$$\tilde{p} \cdot \sin \delta = p \cdot \sin \delta + q \cdot \tilde{p}$$

Odtud:

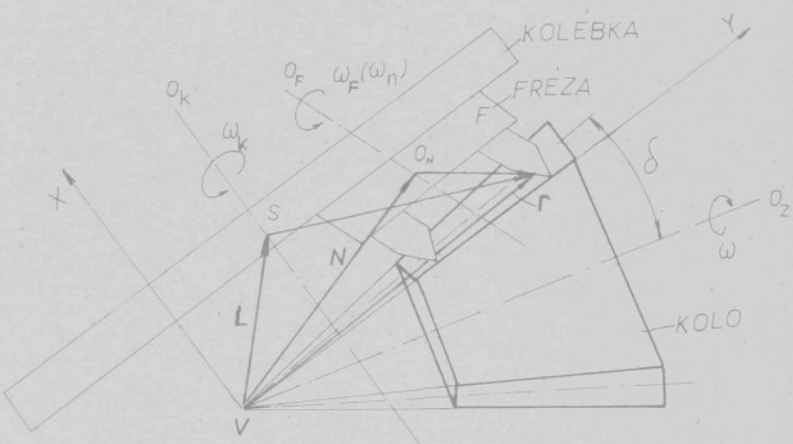
$$p = \tilde{p} \cdot (\sin \delta - q) \frac{1}{\sin \delta}$$

neboli:

$$p = \tilde{p} \cdot \left(1 - \frac{q}{\sin \delta} \right) \quad (5.87)$$

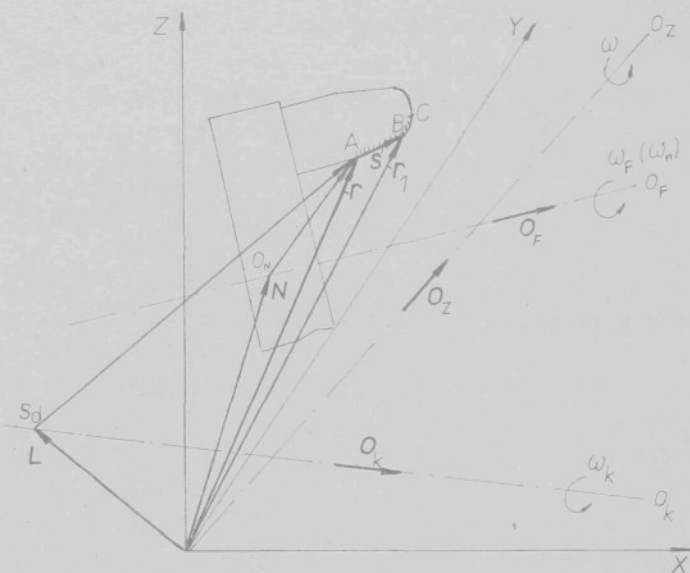
Snažíme se, aby (počet nožových skupin) počet zubů nástroje Z_n byl nesoudělný s počtem zubů obráběného kola. To proto, aby nůž po otočení frézovací hlavy o jednu otáčku nezapadal do stejné mezery. Bok zuba lze vysetřit pomocí každého nože, patřícího do jedné skupiny vnějšího nebo vnitřního ostří (konkávní nebo konvexní bok zuba). Vnitřní a vnější nože jsou rovnomerne uloženy na obvodě frézovací hlavy. Pro normální

způsob výroby kuželového kola Cerlikon je osa frézy O_F rovnoběžná s osou kolébky O_K a osa obráběného kola protíná osu kolébky O_K . Pro výrobu hypoidního kola s modifikací pak osy současti, kolébky s frézovací hlavou jsou mimooběžné. To si vyžaduje obecný přístup k řešení. Na obrázku 16 je nakreslena poloha obráběného kola, kolébky a frézy. Osa frézy



obr.16

O_F se také otáčí kolem osy O_K unášečem S o úhlovou rychlosť ω_k . Na obr.17 je znázornen tvar nože, ktery se skládá ze dvou částí: přímkové ostří AB a obloukové ostří BC. (Podrobne to už bylo vysvetleno v kapitole 5.12.) Řezna hrana AB hraje hlavní roli při obrábění. Přestože část BC de facto nemá velký vliv na povrch zuba, budeme se i dale se zabývat.



obr.17

jeho vlivem (i když to bude složité), neboť jeho význam se výrazně projeví při studiu takových otázek, jako je např. podřezávání ap.

Oblouk EC nám vytváří přechodovou křivku a představuje přirozenou protuberanci, která vyvolává větší podřezání u kuželových kol než normální nůž bez protuberance. Určení tvaru boku zuba vytvořeného obloukovým ostřím (jak se později ukáže) je mnohem komplikovanější než určení souřadnice boku zuba vytvořeného přímkovým ostřím. Proto není divu, že je v literatuře o tomto problému velmi málo zmínek.

Zvolíme pravotočivý systém XYZ s počátkem souřadnic ve vrcholu kužele současti, kde osu X ztotožníme s osou součásti Z, osa Z nechť leží v rovině kolébky a je kolmá

na osu X; osa Y sč. je kolmá na rovinu XZ (obr.16). Postupně provedeme řešení částí AB a BC.

A - Bok zásuu obráběný přímkovým ostřím nože

Vektorová rovnice řezné části AB v základní poloze je (obr.16, 17):

$$\mathbf{r}_1 = \mathbf{r} + \mathbf{s}t \quad (5.88)$$

t je parametr na ostří,

R je vektor libovolného bodu A ostří AB vzhledem k počátku souřadnic V

S je směrový vektor řezné části AB.

Fakti:

$$\mathbf{s} = \mathbf{B} - \mathbf{A}$$

$$\mathbf{r} = \mathbf{A} - \mathbf{V}.$$

Aby bylo reálné obrábění, musí parametr t splnit podmínu:

$$0 \leq t \leq 1. \quad (5.89)$$

Předpokládejme, že úhel otvoření současti od základní polohy je φ . Potom bod B vektoru $O_N B$ vykoná trajektorii:

$$T_F = A_{O_F}^{p(2k\pi+\varphi)} (r + st) N. \quad (5.90)$$

N je vektor od počátku souřadnic k bodu O_N , který leží na ose frézy O_F . kola
Počet otáček obráběného označíme k.

Zde je nutno upozornit na to, že ostří AB při prodloužení neprotíná osu frézovací hlavy O_F jak to bylo u případu kola Gleason (kapitola 5.1). Kdyby tomu tak bylo, pak rovnici (5.90) lze napsat:

$$T_F = A_{O_F}^{p(2k\pi + \varphi)} st_1, \quad (5.91)$$

kde t_1 je parametr na řezné hraně.

Řešení však provedeme obecně podle rovnice (5.90).

Aby tentýž nůž zapadl do téže mezery, kterou vytvořil v první fázi obrábění, musí se předcházející trajektorie bodu ostří nože na frézovací hlavě zpětně otáčet s tenzorem otočení:

$$T_{FZ} = A_{O_F}^{-\tilde{p}2k\pi} \quad (5.92a)$$

Plocha nástroje vztažená nyní k souřadnicím XYZ je vyjádřena:

$$T_{NF} = N + A_{O_F}^{p(2k\pi + \varphi)} A_{O_F}^{-\tilde{p}2k\pi} (r + st - N). \quad (5.92b)$$

Tatáž trajektorie svázená nyní s pohybem kolébky kolem osy O_K úhlovou rychlostí ω_k má rovnici:

$$T_k = L + A_{O_K}^{q(2k\pi + \varphi)} [N + A_{O_F}^{p(2k\pi + \varphi)} A_{O_F}^{-\tilde{p}2k\pi} (r + st - N) - L], \quad (5.93)$$

kde L je vektor od počátku souřadnic k bodu K, který leží na ose kolébky O_K ,

$A_{O_K}^{q(2k\pi + \varphi)}$ je tenzor otočení kolem osy O_K

Rovnice plochy nástroje, která se velí kolem obráběné součásti s tenzorem otočení $A_{O_Z}^{\varphi}$, má tvar:

$$K = A_{O_Z}^{\varphi} \left\{ L + A_{O_K}^{q(2k\pi + \varphi)} [N + A_{O_F}^{p(2k\pi + \varphi)} A_{O_F}^{-\tilde{p}2k\pi} (r + st - N) - L] \right\}. \quad (5.94)$$

Podmínka pro určení obalové plochy (plochy zuba) zní:

$$[K_t, K_\varphi, K_{k+1} - K_k] = 0. \quad (5.95)$$

Z této rovnice určíme:

$$t = t(k, \varphi) \quad (5.96)$$

a po dosazení (5.96) do (5.94) dostaneme souřadnice boku zuba kola Oerlikon.

Upravíme vztah:

$$p(2k\pi + \varphi) - \tilde{p} \cdot 2k\pi = 2k\pi(p - \tilde{p}) + p\varphi =$$

$$p\varphi + 2k\pi(\tilde{p} - \frac{\tilde{p} \cdot q}{\sin \delta} - \tilde{p}) =$$

$$p\varphi - \frac{\tilde{p} \cdot q}{\sin \delta} \cdot 2k\pi =$$

$$p\varphi - m \cdot 2k\pi, \quad (5.97)$$

$$\text{kde } m = \frac{q \cdot \tilde{p}}{\sin \delta}.$$

Rovnici (5.94) lze napsat:

$$K = A_{O_Z}^\varphi \left\{ L + A_{O_K}^{q(2k\pi+\varphi)} [N + A_{O_F}^{p\varphi-m2k\pi} (r+st-N) - L] \right\}. \quad (5.98)$$

Potom:

$$K_t = \frac{\partial K}{\partial t} = A_{O_Z}^\varphi A_{O_K}^{q(2k\pi+\varphi)} A_{O_F}^{p\varphi-m2k\pi} s = P \quad (5.99)$$

$$K_\varphi = \frac{\partial K}{\partial \varphi} = (A_{O_Z}^\varphi)' \left[L + A_{O_K}^{q(2k\pi+\varphi)} [N + A_{O_F}^{p\varphi-m2k\pi} (r+st-N) - L] \right] + \\ + A_{O_Z}^\varphi \left\{ L + (A_{O_K}^{q(2k\pi+\varphi)})' [N + A_{O_F}^{p\varphi-2km\pi} (r+st-N) - L] \right\} + \\ + A_{O_Z}^\varphi \left\{ L + A_{O_K}^{q(2k\pi+\varphi)} [N + (A_{O_F}^{p\varphi-2km\pi})' (r+st-N) - L] \right\},$$

kde:

$$\left(A_{O_Z}^\varphi \right)' = \left((I - O_Z \cdot O_Z) \cos \varphi + R(O_Z) \sin \varphi + O_Z \cdot O_Z \right)'_\varphi = \\ = - (I - O_Z \cdot O_Z) \sin \varphi + R(O_Z) \cos \varphi, \quad (5.99a)$$

$$\left(A_{O_K}^{q(2k\pi+\varphi)} \right)'_\varphi = \left(A_{O_K}^{2k\pi q} \quad A_{O_K}^{q\varphi} \right)'_\varphi = \\ = q A_{O_Z}^{2k\pi q} \cdot \left[-(I - O_Z \cdot O_Z) \sin q\varphi + R(O_Z) \cos q\varphi \right], \quad (5.99b)$$

$$\left(A_{O_F}^{p\varphi-2km\pi} \right)'_\varphi = \left(A_{O_F}^{p\varphi} \quad A_{O_F}^{-2km\pi} \right)'_\varphi = \\ = p A_{O_F}^{-2km\pi} \left[(O_Z \cdot O_Z - I) \sin p\varphi + R(O_F) \cos p\varphi \right]. \quad (5.99c)$$

Máme po úpravě:

$$\begin{aligned}
 K_\varphi = & \left[\left(A_{O_Z}^{\varphi} \right)' A_{O_K}^{q(\varphi+2k\pi)} A_{O_F}^{p\varphi-2km\pi} s + A_{O_Z}^{\varphi} \left(A_{O_K}^{q(\varphi+2k\pi)} \right)' \right] \cdot \\
 & \cdot A_{O_F}^{p\varphi-2km\pi} s + A_{O_Z}^{\varphi} A_{O_K}^{q(\varphi+2k\pi)} \left(A_{O_F}^{p\varphi-2km\pi} \right)' s t + \\
 & + \left(A_{O_Z}^{\varphi} \right)' \left[L + A_{O_K}^{q(\varphi+2k\pi)} [N + A_{O_F}^{p\varphi-2km\pi} (r - N) - L] \right] + \\
 & + A_{O_Z}^{\varphi} \left\{ L + \left(A_{O_K}^{q(\varphi+2k\pi)} \right)' [N + A_{O_F}^{p\varphi-2km\pi} (r - N) - L] \right\} + \\
 & + A_{O_Z}^{\varphi} \left\{ L + A_{O_K}^{q(\varphi+2k\pi)} [N + \left(A_{O_F}^{p\varphi-2km\pi} \right)' (r - N) - L] \right\}.
 \end{aligned}$$

Neboli při pevných parametrech φ a k lze vyjádřit funkci K_φ v závislosti na parametru t :

$$K_\varphi = Bt + C, \quad (5.100)$$

kde

$$\begin{aligned}
 B = & \left(A_{O_Z}^{\varphi} \right)' A_{O_K}^{q(\varphi+2k\pi)} A_{O_F}^{p\varphi-2km\pi} s + A_{O_Z}^{\varphi} \left(A_{O_K}^{q(\varphi+2k\pi)} \right)' A_{O_F}^{p\varphi-2km\pi} s + \\
 & + A_{O_Z}^{\varphi} A_{O_K}^{q(\varphi+2k\pi)} \left(A_{O_F}^{p\varphi-2km\pi} \right)' s
 \end{aligned} \quad (5.101)$$

$$C = \left(A_{O_Z}^{\varphi} \right)' \left\{ L + A_{O_K}^{q(\varphi+2k\pi)} [N + A_{O_F}^{p\varphi-2km\pi} (r-N) - L] \right\} +$$

$$+ A_{O_Z}^{\varphi} \left\{ L + \left(A_{O_K}^{q(\varphi+2k\pi)} \right)' [N + A_{O_F}^{p\varphi-2km\pi} (r-N) - L] \right\} +$$

$$+ A_{O_Z}^{\varphi} \left\{ L + A_{O_K}^{q(\varphi+2k\pi)} N + \left(A_{O_F}^{p\varphi-2km\pi} \right)' (r-N) - L \right\}. \quad (5.102)$$

Charakteristika na obrubené ozubené ploše mezi k+l-tou a k-tou otáčkou:

$$K_{k+1} - K_k = A_{O_Z}^{\varphi} \left\{ L + A_{O_K}^{q(\varphi+2(k+1)\pi)} [N + A_{O_F}^{p\varphi-2(k+1)m\pi} (r+st-N) - L] \right\} -$$

$$A_{O_Z}^{\varphi} \left\{ L + A_{O_K}^{q(\varphi+2k\pi)} [N + A_{O_F}^{p\varphi-2km\pi} (r+st-N) - L] \right\} =$$

$$= \left(A_{O_Z}^{\varphi} A_{O_K}^{q(\varphi+2(k+1)\pi)} A_{O_F}^{p\varphi-2(k+1)m\pi} \right) \varphi + \left(A_{O_Z}^{\varphi} A_{O_K}^{q(\varphi+2k\pi)} A_{O_F}^{p\varphi-2km\pi} \right) st +$$

$$+ A_{O_Z}^{\varphi} A_{O_K}^{q(\varphi+2(k+1)\pi)} [N + A_{O_F}^{p\varphi-m(k+1)2\pi} (r-N) - L] -$$

$$- A_{O_Z}^{\varphi} A_{O_K}^{q(\varphi+2k\pi)} [N + A_{O_F}^{p\varphi-2km\pi} (r-N) - L]$$

Při pevných parametrech φ , k lze vyjádřit funkci $k_{k+1} - k_k$:

$$K_{k+1} - K_k = Dt + E, \quad (5.103)$$

$$D = \begin{pmatrix} \varphi & q(\varphi + 2(k+1)\pi) & p\varphi - 2m(k+1)\pi & \varphi & q(\varphi + 2k\pi) & p\varphi - 2km\pi \\ A_{o_Z} & A_{o_K} & A_{o_F} & -A_{o_Z} & A_{o_K} & A_{o_F} \\ \dots & \dots & \dots & \dots & \dots & \dots \end{pmatrix} s \quad (5.104)$$

$$E = A_{o_Z} A_{o_K} [N + A_{o_F} (r - N) - L] \quad (5.105)$$

$$-A_{o_Z} A_{o_K} [N + A_{o_F} (r - N) - L] \quad (5.105)$$

Dosadíme-li rovnice (5.99), (5.100), ((5.103) do rovnice (5.95) dostaneme determinant:

$$[P, B.t + C, D.t + E] = 0. \quad (5.106)$$

Rozepišme rovnici (5.106):

$$t^2 [P, B, D] + t [P, B, E] + t [P, C, D] +$$

$$[P, C, E] = 0$$

$$t^2 [P, B, D] + t \left\{ [P, B, E] + [P, C, D] \right\} +$$

$$[P, C, E] = 0.$$

Neboli:

$$at^2 + bt + c = 0, \quad (5.107)$$

kde a , b , c jsou konstantní koeficienty definované determinanty a mající hodnoty:

$$a = \det [P, B, D] \quad (5.108)$$

$$b = \det [P, B, E] + \det [P, C, D] \quad (5.109)$$

$$c = \det [P, C, E]. \quad (5.110)$$

Parametr t má hodnoty:

$$t_{12} = \frac{-b \pm \sqrt{b^2 - 4ac}}{2a} \quad (5.111)$$

Jsou zde dva kořeny. Reálné obrábění charakterizuje však pouze hodnota $t \in <0, 1>$. Leží-li t mimo tento interval je jím popsáno obrábění bodem nástroje, ležícím mimo řeznou hranu AB, což nedává skutečnou obálku, ale fiktivní plochu. Pokud $t_1 < 0$ a $t_2 > 1$, pak $t = t_2$, tj. obrábí se špičkou nože. Jestli $t_1 > 1$ a $t_2 > 1$ potom platnou hodnotu parametru t považujeme z t_1, t_2 , která je bližší k špičce nože. Jedná se rovněž o práci vykonanou špičkou ostří.

Případy, kdy $t \notin <0, 1>$ jsou jedinom výjimečné a objevují se pouze při krajních hodnotách úhlu φ a otáček k.

Po zpětném dosazení rovnice (5.111) do (5.94) udává tato rovnice souřadnice boku zuba Gerlikon:

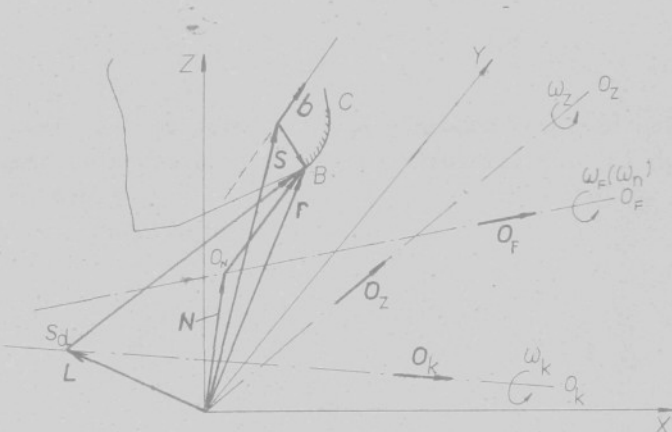
$$K = A_{O_Z}^\varphi \left\{ L + A_{O_K}^{q(\varphi+2k\pi)} \left[N + A_{O_F}^{p\varphi-2km\pi} \left(r + \frac{-b \pm \sqrt{b^2 - 4ac}}{2a} \cdot s - N \right) - L \right] \right\} \quad ... (5.112)$$

$$K = A_{O_Z}^\varphi \left\{ L + A_{O_K}^{q(\varphi+2k\pi)} \left[N + A_{O_F}^{p\varphi+2km\pi} \left(r + t(\varphi, k)s - N \right) - L \right] \right\} \quad ... (5.113)$$

Při známých hodnotách φ a k (jsou to nezávisle proměnné) lze určit všechny předcházející vektory P , B , C , D , E z rovnic (5.99), (5.101), (5.102), (5.104) a (5.105). Z těchto nyní známých vektorů lze stanovit koeficienty a , b , c podle rovnic (5.108), (5.109), (5.110), které jsou potřebné pro explicitní vyjádření parametru t z rovnice (5.111). Tím je skončeno řešení části A.

B - Bok zuba kola Cerlikon vytvářený obloukovým ostřím

Předpokládejme, že ostří nože s obloukovou částí BC (obr.18)



obr.18

má střed S určený vektorem s od počátku souřadnic (počátek je ve vrcholu obráběného kužele). Bod B má rádiusvektor r ; binormála kružnice je b s jednotkovým vektorem b . Je-li t parametr na části kružnice BC , potom tenzor otočení kolem osy b je A_b^t a rovnice kružnice vztažená k soustavě XZY má tvar:

$$u = s + A_b^t (r - s) . \quad (5.114)$$

Úplně analogickou analýzou jako v části A pouze s tou změnou, že rovnici přímkového ostří (5.118) nahradíme rovnici obloukové části ostří (5.114), dostaneme rovnici nástroje, po kterém se valí součást:

$$K = A_{O_Z}^{\varphi} \left\{ L + A_{O_K}^{q(\varphi+2k\pi)} [N + A_{O_F}^{p\varphi-2km\pi} (s + A_b^t(r-s) - N) - L] \right\}, \quad \dots (5.115)$$

Požadávána obálka bude:

$$[K_t, K_\varphi, K_{k+1} - K_k] = 0. \quad (5.116)$$

je řešení zde - jak se později ukáže - mnohem komplikovanější, ale přesto se nakonec podaří upravit rovnici (5.116) na řešitelný tvar.

Postupně derivujme:

$$K_t = \frac{\partial K}{\partial t} = A_{O_Z}^{\varphi} A_{O_K}^{q(\varphi+2k\pi)} A_{O_F}^{p\varphi-2km\pi} \left(\begin{matrix} t \\ b \end{matrix} \right)' (r-s), \quad (5.117)$$

kde

$$\left(\begin{matrix} t \\ b \end{matrix} \right)' = - (I - b \cdot b) \sin t + R(b) \cos t.$$

Potom lze napsat:

$$K_t = A_{O_Z}^{\varphi} A_{O_K}^{q(\varphi+2k\pi)} A_{O_F}^{p\varphi-2km\pi} [(bb-I) \sin t + R(b) \cos t] (r-s).$$

Při pevném φ a k potom vyjádříme K_t jako funkci parametru t:

$$K_t = D \sin t + E \cos t, \quad (5.118)$$

kde

$$D = A_{O_Z}^{\varphi} A_{O_K}^{q(\varphi+2k\pi)} A_{O_F}^{p\varphi-2km\pi} (b_b b - I)(r - s) \quad (5.119)$$

$$E = A_{O_Z}^{\varphi} A_{O_K}^{q(\varphi+2k\pi)} A_{O_F}^{p\varphi-2km\pi} R(b)(r - s). \quad (5.120)$$

Parciální derivace podle parametru φ :

$$K_{\varphi} = \left(A_{O_Z}^{\varphi} \right)' \left(L + A_{O_K}^{q(\varphi+2k\pi)} [N + A_{O_F}^{p\varphi-2km\pi} (s + A_b^t(r-s) - N) - L] \right) +$$

$$+ A_{O_Z}^{\varphi} \left\{ L + \left(A_{O_K}^{q(\varphi+2k\pi)} \right)' [N + A_{O_F}^{p\varphi-2km\pi} (s + A_b^t(r-s) - N) - L] \right\} +$$

$$+ A_{O_Z}^{\varphi} \left\{ L + A_{O_K}^{q(\varphi+2k\pi)} \left[N + \left(A_{O_F}^{p\varphi-2km\pi} \right)' (s + A_b^t(r-s) - N) - L \right] \right\}.$$

Derivace $\left(A_{O_Z}^{\varphi} \right)', \left(A_{O_K}^{q(\varphi+2k\pi)} \right)', \left(A_{O_F}^{p\varphi-2km\pi} \right)'$ byly provedeny na základě rovnice (5.99a), (5.99b) a (5.99c).

Upravíme:

$$K_{\varphi} = \left[\left(A_{O_Z}^{\varphi} \right)' A_{O_K}^{q(\varphi+2k\pi)} A_{O_F}^{p\varphi-2km\pi} + A_{O_Z}^{\varphi} \left(A_{O_K}^{q(\varphi+2k\pi)} \right)' A_{O_F}^{p\varphi-2km\pi} \right. +$$

$$+ A_{O_Z}^{\varphi} A_{O_K}^{q(\varphi+2k\pi)} \left(A_{O_F}^{p\varphi-2km\pi} \right)' A_b^t (r - s) +$$

$$+ \left(A_{O_Z}^{\varphi} \right)' \left\{ L + A_{O_K}^{q(\varphi+2k\pi)} [N + A_{O_F}^{p\varphi-2km\pi} (s - N) - L] \right\} +$$

$$\begin{aligned}
 & + A_{OZ}^{\varphi} \left\{ L + \left(A_{O_K}^{q(\varphi+2k\pi)} \right) \left[N + A_{O_F}^{p\varphi-2km\pi} (s-N) - L \right] \right\} + \\
 & + A_{OZ}^{\varphi} \left\{ L + A_{O_K}^{q(\varphi+2k\pi)} \left[N + \left(A_{O_F}^{p\varphi-2km\pi} \right) (s-N) - L \right] \right\} = \\
 & = \left[\left(A_{O_Z}^{\varphi} \right) A_{O_K}^{q(\varphi+2k\pi)} A_{O_F}^{p\varphi-2km\pi} + A_{OZ}^{\varphi} \left(A_{O_K}^{q(\varphi+2k\pi)} \right) A_{O_F}^{p\varphi-2km\pi} \right. \\
 & \left. + A_{OZ}^{\varphi} A_{O_K}^{q(\varphi+2k\pi)} \left(A_{O_F}^{p\varphi-2km\pi} \right) \right] [I \cdot b_b \cos t + R(b) \sin t + b_e b] (r-s) + C,
 \end{aligned}$$

kde

$$\begin{aligned}
 C &= \left(A_{O_Z}^{\varphi} \right) \left\{ L + A_{O_K}^{q(\varphi+2k\pi)} \left[N + A_{O_F}^{p\varphi-2km\pi} (s-N) - L \right] \right\} + \\
 & + A_{OZ}^{\varphi} \left\{ L + \left(A_{O_K}^{q(\varphi+2k\pi)} \right) \left[N + A_{O_F}^{p\varphi-2km\pi} (s-N) - L \right] \right\} + \\
 & + A_{OZ}^{\varphi} \left\{ L + A_{O_K}^{q(\varphi+2k\pi)} \left[N + \left(A_{O_F}^{p\varphi-2km\pi} \right) (s-N) - L \right] \right\}. \quad (5.121)
 \end{aligned}$$

Označíme-li dále vektory (při určitých pevných φ a k):

$$\begin{aligned}
 B &= \left(A_{O_Z}^{\varphi} \right) A_{O_K}^{q(\varphi+2k\pi)} A_{O_F}^{p\varphi-2km\pi} + A_{OZ}^{\varphi} \left(A_{O_K}^{q(\varphi+2k\pi)} \right) A_{O_F}^{p\varphi-2km\pi} \\
 & + A_{OZ}^{\varphi} A_{O_K}^{q(\varphi+2k\pi)} \left(A_{O_F}^{p\varphi-2km\pi} \right) \quad (5.122)
 \end{aligned}$$

$$F = B (I - b \cdot b) (r - s) \quad (5.123)$$

$$M = BR(b)(r - s) \quad (5.124)$$

$$H = B b \cdot b (r - s), \quad (5.125)$$

potom rovnici pro K_φ lze napsat:

$$K_\varphi = F \cos t + M \sin t + H \quad . \quad (5.126)$$

Výpočet derivací podle k :

$$K_{k+1} - K_k = A_{O_Z}^\varphi \left\{ L + A_{O_K}^{q(\varphi+2(k+1)\pi)} [N - A_{O_F}^{p\varphi-2m(k+1)\pi}] \right. \\ \left. + A_b^t (-) - N \right\} - A_{O_Z}^\varphi \left\{ L + A_{O_K}^{q(\varphi+2k\pi)} [N - A_{O_F}^{p\varphi-2km\pi}] \right. \\ \left. + A_b^t (r-s) - N - L \right\} =$$

$$= A_{O_Z}^\varphi A_{O_K}^{q(\varphi+2(k+1)\pi)} A_{O_F}^{p\varphi-2m(k+1)\pi} \varphi - A_{O_Z}^\varphi A_{O_K}^{q(\varphi+2k\pi)} A_{O_F}^{p\varphi-2km\pi} t \\ + A_b^t (r-s) +$$

$$+ A_{O_Z}^\varphi \left\{ L + A_{O_K}^{q(\varphi+2(k+1)\pi)} [N - A_{O_F}^{p\varphi-2m(k+1)\pi}] \right. \\ \left. - (s - N) - L \right\},$$

$$- A_{O_Z}^\varphi \left\{ L + A_{O_K}^{q(\varphi+2k\pi)} [N - A_{O_F}^{p\varphi-2km\pi}] \right. \\ \left. - (s - N) - L \right\}. \quad (5.127)$$

Označíme-li vektory (při pevných φ a k):

$$P = A_{O_Z}^{\varphi} \begin{pmatrix} q(\varphi+2(k+1)\pi) \\ p\varphi-2m(k+1)\pi \end{pmatrix}, \quad A_{O_F}^{\varphi} \begin{pmatrix} q(\varphi+2k\pi) \\ p\varphi-2km\pi \end{pmatrix} \quad (5.128)$$

$$Q = A_{O_Z}^{\varphi} \left\{ L + A_{O_K}^{q(\varphi+2(k+1)\pi)} [N + A_{O_F}^{p\varphi-2m(k+1)\pi} (s-N) - L] \right\}$$

$$A_{O_Z}^{\varphi} \left\{ L + A_{O_K}^{q(\varphi+2k\pi)} [N + A_{O_F}^{p\varphi-2km\pi} (s-N) - L] \right\}, \quad (5.129)$$

potom se rovnice (5.127) redukuje na tvar:

$$K_{k+1} - K_k = P[(I - b_s b) \cos t + R(b) \sin t + b_s b] \cdot (r - s) + Q.$$

Po úpravě na jednodušší tvar:

$$K_{k+1} - K_k = R \cos t + W \sin t + V, \quad (5.130)$$

kde vektory R , W , V jsou definovány rovnicemi:

$$R = P(I - b_s b)(r - s) \quad (5.131)$$

$$W = PR(b)(r - s) \quad (5.132)$$

$$V = Pb_s b(r - s) + Q. \quad (5.133)$$

Po dosazení rovnic (5.118), (5.126), (5.130) do rovnice (5.116) dostaneme :

$$\det [D \sin t + E \cos t; \quad F \cos t + M \sin t + H; \quad R \cos t + W \sin t + V] = 0.$$

Dále rozepíšme:

$$\begin{aligned}
 & \sin^3 t [D, M, V] + \sin t \cos^2 t [D, F, R] + \sin t [D, H, V] \\
 & + \cos^3 t [E, F, R] + \cos t \sin^2 t [E, M, V] + \cos t [E, H, V] \\
 & + \sin^2 t \cos t [D, M, R] + \sin t \cos^2 t [E, M, R] + \\
 & \sin t \cos t [D, H, R] + \cos^2 t [E, H, R] + \sin^2 t \cos t [D, F, W] \\
 & + \sin^2 t [D, H, W] + \cos^2 t [E, F, V] + \cos t \sin t [E, M, V] \\
 & + \cos^2 t \sin t [E, F, W] + \sin^2 t [D, M, V] + \\
 & \cos t \sin t [E, H, W] + \sin t \cos t [D, F, V] = 0.
 \end{aligned}$$

Po úpravě:

$$\begin{aligned}
 & \cos^3 t [E, F, R] + \sin^3 t [D, M, W] + \\
 & \cos^2 t \sin t \left\{ [D, F, R] + [E, F, W] + [E, M, R] \right\} + \\
 & \sin^2 t \cos t \left\{ [D, F, W] + [D, M, R] + [E, M, W] \right\} + \\
 & \cos^2 t \left\{ [E, F, W] + [E, H, R] \right\} + \\
 & \sin^2 t \left\{ [D, H, W] + [D, M, V] \right\} + \\
 & \sin t \cos t \left\{ [D, F, W] + [E, M, V] + [E, H, W] + \right. \\
 & \quad \left. [D, H, R] \right\} + \\
 & \sin t [D, H, V] + \cos t [E, H, W] = 0. \quad (5.134)
 \end{aligned}$$

Místo determinantů zavedeme tyto konstantní koeficienty:

$$a = [E, F, R] \quad (5.135)$$

$$b = [D, M, W] \quad (5.136)$$

$$c = [D, F, R] + [E, F, W] + [E, M, R] \quad (5.137)$$

$$d = [D, F, W] + [D, M, R] + [E, M, N] \quad (5.138)$$

$$e = [E, F, W] + [E, H, R] \quad (5.139)$$

$$f = [D, H, W] + [D, M, V] \quad (5.140)$$

$$g = [D, F, W] + [E, M, V] + [E, H, W] + \\ + [D, H, R] \quad (5.141)$$

$$h = [D, H, V] \quad (5.142)$$

$$j = [E, H, W] . \quad (5.143)$$

Vztah (5.134) je nyní transcendentní rovnici vzhledem k jedno-parametrické proměnné t :

$$y(t) \equiv a\cos^3 t + b\sin^3 t + c\sin t \cos^2 t + d\cos t \sin^2 t + e\cos^2 t + \\ i\sin^2 t + g\sin t \cos t + h\sin t + j\cos t = 0 . \quad (5.143)$$

Čili:

$$t = t(\varphi, k) . \quad (5.144)$$

Po dosazení tohoto t do rovnice (5.115) získáme souřadnice boku vyrobeného zuba kola Oerlikon. Všechny konstanty a, b, c, e, f, g, h, j jsou určeny rovnicemi (5.135) až (5.142) a vektory $D, E, C, B, F, M, H, P, Q, R, W, V$ jsou definovány rovnicemi (5.119) až (5.133). (tedy jsou to konstanty a vektory z výpočtu determinantům souboru tří známých vektorů po redukcji různých vektorových a tenzorových operatorů). Tato úloha je řešitelná prakticky pouze za použití

samočinného počítače. Vhodným sestavením programu lze získat i delší praktické výsledky a informace potřebné pro různé technické výzkumy.

Co se týká ostatních charakteristik a vlastností povrchů jako jsou třeba druhý základní tenzor plochy, normály, křivosti atd., lze je získat analogicky jako při řešení kola Gleason, neboť byly obecně uvedeny v předcházejících kapitolách. Jedná se pouze o konkretizování obecných matematických formulí a proto je zde nebudeme rozvádět. To platí jak pro část A, tak pro část B.

Tím byly dokončeny nejpodstatnější kapitoly o vytváření povrchů boku žiblu prostorového ozubení při obrábění odvalovacím způsobem.

6. Teorie podřezání při výrobě prostorových kuželových kol

Bylo provedeno studium boku zuba kuželových kol se zakřivenými zuby typu Gleason a Gerlikon. Omezili jsme na případ, kdy hmotný profil přímkového ostří vytvoří regulérní plochu boku zuba, tj. Ψ -křivka ani u^2 -křivka nemá žádny bod vrata; z toho plyne, že neexistuje hrana vrata (geometrické místo bodu vrata). Pokud hmotný profil nástroje vytvoří při práci dvě plochy, které mají tzv. společnou hraničnu vrata, potom plocha nástroje protíná hotovou obalovou plochu poblíž její hrany vrata. Tento jev v teorii i praxi ozubených kol je běžně nazýván podřezání (podfrézování).

Podřezání má nevýhodu v tom, že zmenší trvání záběru a sníží ohybnou pevnost zeslabením v patě zuba. Má však i své výhody a to u broušených a částečně i u ševingovaných ozubení. Brousící a ševingovací nástroje mají totiž možnost výběhu a to umožňuje odstranění příčiny vzniku vrubu, který může vzniknout vytěsnutím nástroje při broušení nepodřezaného zuba. Přirozené podřezání vzniká u kol s malým počtem zubů a malými korekcemi. Abychom dosáhli výběhu pro obrábění (broušení) u kol s větším počtem zubů a kladně korigovaných, provádí se umělé podřezání pomocí tzv. protuberance na nástroji, která vytvoří místo pro výběh bez škodlivého podříznutí.

Pro rovinné ozubení už existuje řada prací, které se zabývají výzkumem kriterií a parametrů podřezání ([L.12], [L.47], [L.18]). O prostorovém ozubení jsou víceméně pouze zmínky v některé literatuře. To je pravděpodobně z důvodu, že po výrobě kuželových kol nejsou známé plochy boku zuba, a že je obtížné a náročné najít kriterium podmínky existence podřezání apod.

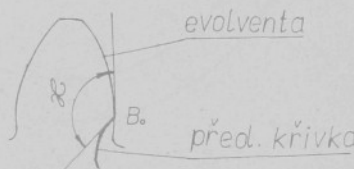
Samozřejmě lze namítat, že v matematické literatuře ([L.2], [L.19], [L.46]) zabývající se diferenciální geometrií křivek a ploch je teorie používaná v této práci již k dispozici, že ji stačí pouze aplikovat. To je však pravděpodobně kámen úrazu, neboť, jak se ukazuje, plocha boku zuba (obalová plocha) je tak složitá, že vztahy, které matematická teorie odvodila, nejsou explicitně vyjádřitelné a do konce není možno je použít.

Pro obtíže spojené s řešením těchto problémů se řada autorů těmto otázkám vyhnula, neboť studium podřezání prostorového ozubení vyžaduje zvláštní metodu.

Pro plynulost výkladu uvedeme zde stručně přehled problémů při zkoumání podřezání rovinného ozubení.

6.1 Podřezání rovinného ozubení

S pevním přechodem souvisí i podřezání zubů, které je charakterizováno tím, že rozhraní mezi evolventou a přechodovou křivkou nemá společnou tečnu (tečnou rovinu) (obr.19) a tečny



obr. 19

k oběma křivkám svírají tupý úhel λ .

Na obr.20 lze sledovat, jiským způsobem vzniká podříznutí. Označme důležité body související s dalším výkladem:

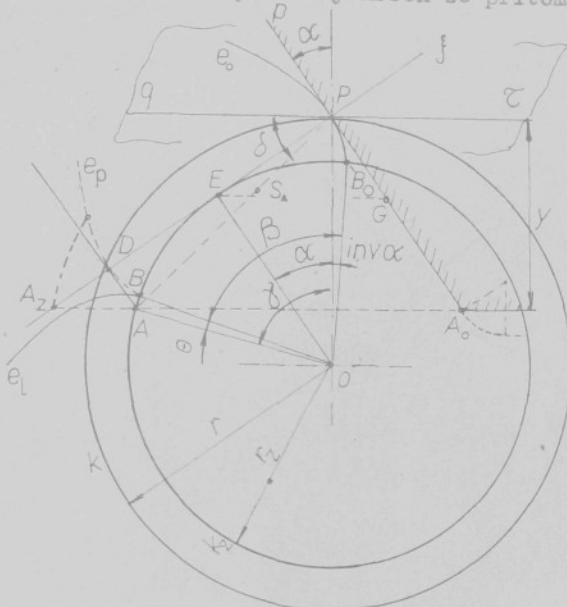
E je bod vrata evolventy.

B_o je rozhraní mezi evolventou a přechodovou křivkou.

A_o je rozhraní mezi přímkovou částí nástroje a zeoblením jeho hlavy.

C je rozhraní mezi přechodovou křivkou a pevní kružnicí.

V nakreslené poloze se přímkový bok hřebenového nástroje dotýká evolventního profilu na roztečném válcí r ve výrobním



obr.20

čáře. Čili podřezání postupuje zeshora dolů od bodu E k bodu A_z . Současně se však tvoří od zdola přechodová křivka jako obálka zaoblení hlevy hřebene, která seřízne ještě část profilu zuba (obr.21), tj křivka K_F .



obr.21

K_A je trajektorie krajního bodu A_o pro nezaoblený hřeben.

K_F je skutečná přechodová křivka pro zaoblený hřeben.

E_A , E_F jsou průsečíky K_A , K_F s evolventou e_1 . Jejich vzdálenost je nepatrná, v bežných případech lze očekávat diferenci řádu stotisíciny milimetru, a proto můžeme hledaný zlom E_F řešit jako průsečík evolventy e s trochoidou bodu E_A místo s křivkou K_F .

Z těchto úvah lze odvodit kriterium podřezání a stanovit matematické vztahy a závislosti. Tato úloha je již v literatuře vyřešena. V práci [18] byly do detaílu rozebrány, např. vztahy (11), (12), udávající parametry, které ovlivňují podřezání. Při nezměněných rozměrech frézy lze změnit počet zubů, úhel záběru a polomer petní kružnice. Při změně rozměrů kola s frézy lze změnit: počet zubů, úhel záběru, polomer petní kružnice, normální modul, nor-

mární úhel záběru, poloměr zaoblení frézy, poloměr valivé kružnice. Tyto parametry jsou totiž hlavní proměnné ve vzorcích (11), (12) a pomocí nich lze vypočítat parametry v libovolném bodě frézy. Na jejich základě lze určit upravený profil frézy.

Zde je třeba vyzdvihnout faktory, rozhodující o vzniku podřezání, kterých pak využijeme i při řešení podřezání prostorového ozubení :

Leží-li bod A_z nad bodem E (obr.20), tj. ve směru k valivému bodu, podřezání nevznikne; leží-li bod A_z pod bodem E, nestává podřezání. Výsledkem je profilem nástroje proťtá hotová plocha zuba, neboli úhel mezi přechodovou křivkou a bokem zuba je tupý, čili řečeno jinak: křivky mají průsečík, ve kterém neexistuje společná tečna. Použijeme-li terminologii obvyklé v matematice, řekneme, že na křivce boku zuba leží dvojnásobný bod; nebo jinak: není to Jordanova křivka.

Podíváme-li se zpětně na obr.20, vídíme, že přímka p je realizována ostřím nástroje s hmotou po jedné straně. Nastávají zde tyto pomery:

1 - Nesahá-li ostří k bodu G, neodvalí se evolventa e_o až k bodu vrstu B_o .

2 - Končí-li ostří právě v bodě G, vyrobíme neporušenou evolventu právě až k bodu vrstu.

3 - Přesahuje-li ostří za bod G (končí-li např. v bodě A) vyrobíme evolventu nejprve až k bodu vrstu, ale v dalších fázích odvalování nechtěně odřízneme část hotové evolventy nad bodem vrstu B trochoidou K_A bodu A_o .

6.2 Podřezání u prostorového ozubení

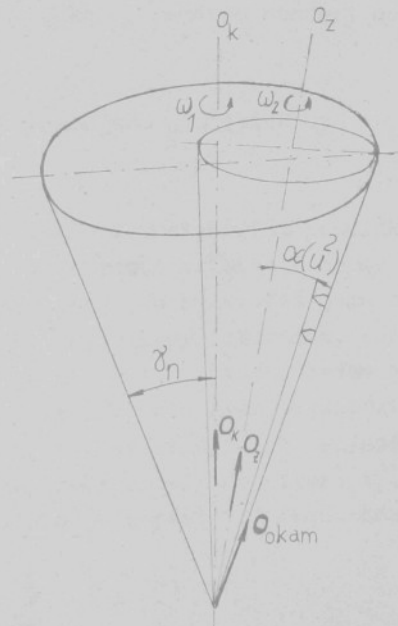
6.2.1 Nutná podmínka podřezání

Hovořili jsme o jevu „proťaté hotové obálky“ u podřezání roviných ozubení. I zde při stanovení podmínky podříznutí kola Gleason resp. Oerlikon musíme tento jev brát v úvahu.

Nechť teoretický kužel součásti (kola) má jednotkový vektor osy O_z a nechť teoretický kužel nástroje (kolébky) má jednotkový vektor osy O_k .

Nechť jednotková osa okamžitého otáčení kuželet součásti a nástroje je O_{okam} . Jev „proťaté hotové obálky“ zde nastane tehdy, když profil nože proniká do teoretického profilu kuželet součásti (obr.22), tj. platí nerovnost:

$$\alpha(u^2) \leq \delta_n, \quad (6.1)$$



obr.22

kde $\alpha(u^2)$ je úhel mezi osou kolébky a rovinou špiček nože,

u^2 je úhel pootočení nože,

ϑ_n je úhel mezi osou kolébky a okamžitou osou otáčení, a kde dále platí:

$$\cos \vartheta_n = O_k \cdot O_{\text{okam}} \quad (6.2)$$

$$O_{\text{okam}} = O_z \omega_2 \pm O_k \omega_1 \quad .$$

Znaménko plus platí pro vnější valení, tj. úhlové rychlosti ω_1, ω_2 jsou protisměrné. Znaménko minus platí pro vnitřní valení (úhlové rychlosti kolébky a součásti jsou ve stejném směru). Je třeba upozornit na to, že u normálního způsobu výroby kole Gleason je úhel $\alpha = 90^\circ$, protože rovina špiček nože vždy prochází vrcholem obráběného kola a je kolmá na osu kolébky. U ostatních všeobecných případů je úhel α funkcí parametru otočení nože u^2 .

6.2.2 Postačující podmínka podřezání

Záležitost vyšetření postačující podmínky podřezání je ekvivalentní s vyšetřením existence hrany vratu (resp. bodu vratu) plochy boku zuba kola. Již jsme se zmínili o bodech vratu u kol s rovinovým ozubením. Zde se pokusím ukázat možnosti vzniku vratu u prostorového ozubení a najít optimální metodu, jak lze tuto hraničnu vyšetřit a najít mezní hodnoty parametrů ovlivňujících podřezání zuba.

Jsou-li plochy zuba určeny rovnicemi (5.17), (5.59), (5.113), (5.115), lze je napsat v jednoduchém tvaru:

$$K = K(\varphi, u^2), \quad (6.4)$$

platí pro Gleason

$$K = K(\varphi, k), \quad (6.5)$$

platí pro Oerlikon.

Parametry φ , u^2 , k nyní mohou být funkcií další proměnné t ; lze je tedy napsat $\varphi(t)$, $u^2(t)$, $k(t)$ a rovnice (6.4), (6.5) přejdou do tvaru:

$$K = K(\varphi(t), u^2(t)) = K(t) \quad (6.6)$$

resp.

$$K = K(\varphi(t), k(t)) = K(t). \quad (6.7)$$

Křivky $K(t)$ vyhovují singulárním bodům tehdy, když při $t = t_0$ platí:

$$\dot{K}(t_0) = 0 \quad (6.8)$$

$$\dot{K}(t_0) = \frac{dK}{dt} \quad (6.9)$$

Za předpokladu, že $\ddot{K} = \frac{d^2K}{dt^2} \neq 0$, potom podle Taylorovy formule lze napsat:

$$\lim_{t \rightarrow 0} \frac{K(t_0 + \Delta t) - K(t_0)}{\frac{1}{2} (\Delta t)^2} = \lim_{t \rightarrow 0} \Phi_2(t_0, \Delta t) = K(t_0), \quad (6.10)$$

neboli nějaký vektor $\overline{K_o K}$ dvou bodů K_o a K křivky $K(t_0)$ pomocí Taylorovy formule je dán rovnicí:

$$\overline{K_o K} = K(t_0 + \Delta t) - K(t_0) = \frac{(\Delta t)^2}{2} \ddot{K}(t_0) + \frac{(\Delta t)^3}{6} \Phi_3(t_0, \Delta t).$$

Ukazuje se, že u prvního člena na pravé straně této rovnice, se při malém přírůstku Δt (který určuje průměr do tečny vektoru $\overline{K_o K}$ posunutého na tečnu $\dot{K}(t_0)$ nezmění znaménko při změně znaménka přírůstku Δt . Křivka se stále

pohybuje po jedné straně plochy až se v bodě $t = t_0$ pohyb zastaví (má nulovou rychlosť) a začína přecházet na druhou stranu plochy. Bod, ktorý má túto vlastnosť sa nazýva bodom vretu. Takový bod nazývame charakteristickým bodom druhého rádu. Tedy hrana vretu je křivka opisana charakteristickým bodom druhého rádu. V bodu vretu (charakteristický bod druhého rádu; dvojnásobný bod křivky) sa nejen zmene smysl pohybu, ale také zde má křivka nulovou křivost.

Nyní lze stanovit parametry φ_0 , u^2_0 bodu vretu křivky. Podle rovnice (6.8) musí platit podmínka:

$$\frac{\partial K_x(u^1(u^2, \varphi), u^2, \varphi, K_y, K_z)}{\partial \varphi} = 0 \quad (6.11)$$

$$\frac{\partial K_x(u^1(u^2, \varphi), u^2, \varphi, K_y, K_z)}{\partial u^2} = 0 \quad (6.12)$$

Rovnice (6.11) a (6.12) musí platit současne pro takové hodnoty φ_0 a u^2_0 , ktere vyhovují 6 složkovým rovnicím:

$$\frac{\partial K_x(u^2, \varphi)}{\partial \varphi} = 0 \quad (6.13a)$$

$$\frac{\partial K_y(u^2, \varphi)}{\partial \varphi} = 0 \quad (6.13b)$$

$$\frac{\partial K_z(u^2, \varphi)}{\partial \varphi} = 0 \quad (6.13c)$$

$$\frac{\partial K_x(u^2, \varphi)}{\partial u^2} = 0 \quad (6.13d)$$

$$\frac{\partial K_y(u^2, \varphi)}{\partial u^2} = 0 \quad (6.13e)$$

$$\frac{\partial K_z(\varphi, u^2)}{\partial u^2} = 0. \quad (6.13f)$$

Lze provést další alternativu řešení hraný vratu:

Podle [2], [19], [46] však vektorovou rovnici (5.5) lze napsat stručně ve tvaru:

$$K_x = K_x(u^1, u^2, \varphi)$$

$$K_y = K_y(u^1, u^2, \varphi)$$

$$K_z = K_z(u^1, u^2, \varphi).$$

Je-li možno explicitně vyjádřit parametry u^1, u^2 jako funkce souřadnic K_x, K_y, K_z , potom rovnici (5.5) lze napsat:

$$f = f(K_x, K_y, K_z, \varphi) = 0.$$

Tři soumezné plochy φ se protínají v charakteristickém bodě, jehož souřadnice vychovují těmto rovnicím:

$$f(K_x, K_y, K_z, \varphi) = 0 \quad (6.13g)$$

$$f_\varphi(K_x, K_y, K_z, \varphi) = 0 \quad (6.13h)$$

$$f_{\varphi\varphi}(K_x, K_y, K_z, \varphi) = 0. \quad (6.13i)$$

Splní-li parametr φ současně podmínky (6.13g), (6.13h), (6.13i) pak je to charakteristický bod druhého řádu, jehož geometrickým místem je hrena vratu. Tato alternativa naleze své uplatnění prakticky pouze u rovinného ozubení. Teorie podřezání rovinného ozubení je v naší obecné teorii impliktně obsažena.

Řešení rovnic (6.13a) až (6.13f) až (6.13g) až (6.13i) je velmi obtížné. Vyžaduje to velmi náročnou logickou analýzu při sestavení programu pro počítač a lze očekávat,

že výsledky někdy nebudou příjemelně konvergentní (při řešení). To vyplývá z toho, že všechny naše rovnice nejsou ani explicitní ani implicitní, a že nelze derivovat normálním algebraickým způsobem. Proto zavedu další dve metody, které považuji za nejvhodnější pro aplikaci v technické praxi.

1 - Metoda: zkoumení křivky řezu v určité vzdálenosti od osy součásti

Tato metoda se mi zdá nejlépe srozumitelná a nejpraktičtější. Výsledky se za použití výpočtu pomocí číslicového počítacího dosáhnou rychleji a jednodušším způsobem než kteroukoliv jinou metodou, uvedenou v této práci.

Na obr.23 je rovina \mathcal{T} ve vzdálenosti ρ od vrcholu kuželev součásti a kolmá na osu O_z , mající jednotkový vektor O_z .

Rovnici (5.17) nyní napišme v jednoduchém tvaru.

$$K = K(\varphi, u^2). \quad (6.14)$$

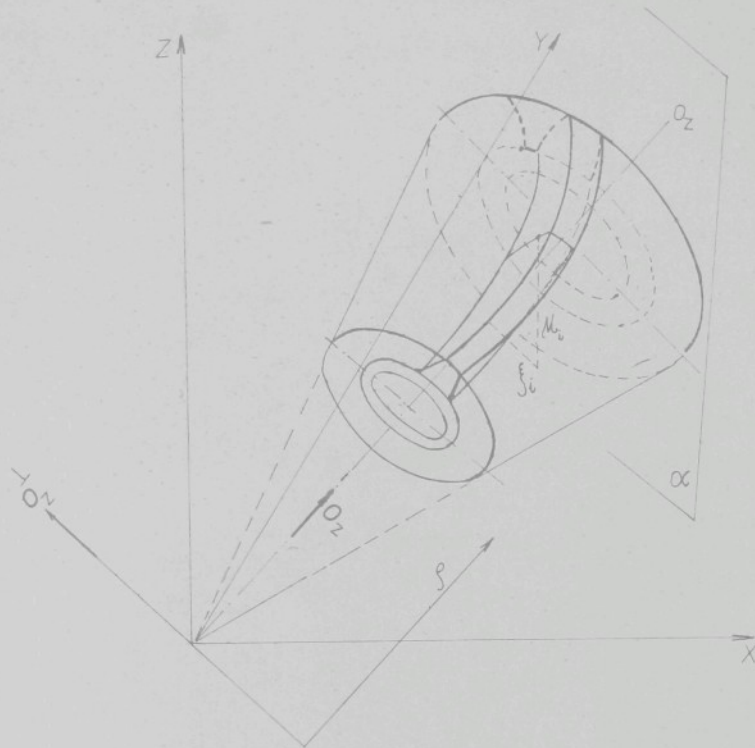
Křivky boku zuba v rovině řezu ve vzdálenosti ρ musí splnit podmínu:

$$K(\varphi, u^2) O_z - \rho = 0 \quad (6.15)$$

neboli:

$$\left[A_{O_Z}^\varphi A_{O_K}^{\rho\varphi} (V + u^1(u^2, \varphi) A_{O_F}^{u^2} \eta) \right] O_z = 0. \quad (6.16)$$

Abychom dostali křivku řezu, musíme řešit rovnici



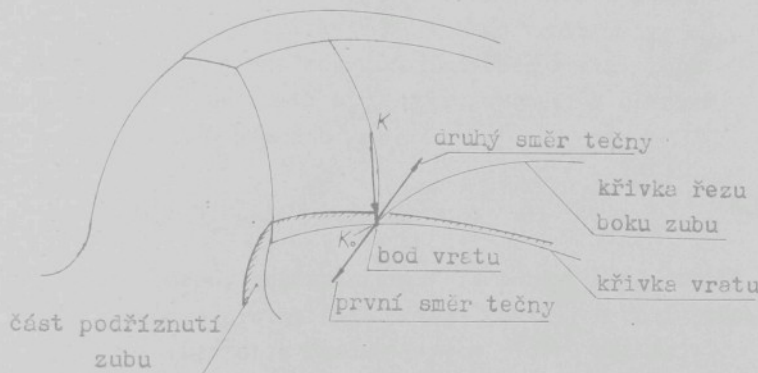
obr.23

(6.16) pro neznámý parametr u^2 při pevném parametru φ . Neznámý parametr u^2 je obsažen v tensoru otočení $A_{O_F}^{u^2}$ a ve vztahu pro určení parametru u^1 z rovnice (5.14). Z rovnice (6.16) je také vidět, že kořen u^2 lze dostat pomocí numerické metody [35], kterou jsem uvedl v kapitole (5.1.2) pro rovnici (5.57). Ukázalo se, že u^2 velmi rychle a bez obtíží konverguje. Souřadnice křivky řezu označíme ξ_i, M_i a jejich rovnice jsou:

$$\xi_i = - K(u^2, \varphi) \cdot O_z^1 \quad (6.17)$$

$$M_i = K_z(u^2, \varphi) \quad (6.18)$$

neboli: $f_i = f_i(\xi_i, \mu_i)$. (6.19)



obr.24

Na základě křivky f_i se souřadnicemi ξ_i a μ_i lze teď nalézt bod vrata velmi snadno. V každém bodě na křivce řezu (obr.24) je možno sestrojit tečny ($\Delta\varphi = \varphi_{i+1} - \varphi_i$):

$$t_{i-1} = \frac{\partial f}{\partial \varphi} = \lim_{\Delta\varphi \rightarrow 0} \frac{f_i(u_i^1(u_i^2, \varphi_i), u_i^2, \varphi_i) - f_{i-1}(u_{i-1}^1(u_{i-1}^2, \varphi_{i-1}), u_{i-1}^2, \varphi_{i-1})}{\varphi_i - \varphi_{i-1}} \quad \dots (6.20)$$

$$t_{i-2} = \frac{\partial f}{\partial \varphi} = \lim_{\Delta\varphi \rightarrow 0} \frac{f_{i-1}(u_{i-1}^1(u_{i-1}^2, \varphi_{i-1}), u_{i-1}^2, \varphi_{i-1}) - f_{i-2}(u_{i-2}^1(u_{i-2}^2, \varphi_{i-2}), u_{i-2}^2, \varphi_{i-2})}{\varphi_{i-1} - \varphi_{i-2}} \quad \dots (6.21)$$

V bodě vratu se změní směr pohybu, proto se u tečny t_{i-1} a t_{i-2} změní směrový vektor. Znamená to, že složky vektoru tečny z rovnic (6.20), (6.21) mají opačná znaménka při přechodu přes bod vratu. Neboli hodnoty složek f_i a

\mathcal{M}_i funkce f_i se blíží k nule při pohybu k bodu vratu a vzdalují se od nuly při pohybu od bodu vrstu. Označme nyní hodnoty parametrů křivky f_i v bodě vrstu $\varphi_{vr}, u_{vr}^2, u_{vr}^1$. Ostří nože má polohu odpovídající bodu vrstu. Tuto polohu udává právě parametr u_{vr}^1 , který vychází z rovnice (5.14) a ve stručném přepisu je:

$$u_{vr}^1 = u_{vr}^1(\varphi_{vr}, u_{vr}^2). \quad (6.22)$$

Jak bylo řečeno, podřezání nastane tehdy, když profil nože v jisté poloze protne část hotové obálky, neboli jedna z hotových charakteristik obálky protne plochu nástroje. Ovšem pokud úhel φ a u^2 přesahuje φ_{vr}, u_{vr}^2 , pak nechť neodřízneme hotovou část vyrobeného zuba. Rozeberme si vliv parametru u^1 .

Maximální regulérní interval řezného ostří je při parametru $u^1 = 1$; ($0 \leq u^1 \leq 1$).

a - Leží-li u_{vr}^1 v intervalu $<0,1>$, potom profil nože protíná hotový zub a k podřezání dojde. Aby se zabránilo podřezání při výrobě ozubení, musí být hodnoty $\varphi_{max} = \varphi_{vr}$ a $u_{max}^2 = u_{vr}^2$. Vzniku podřezání lze zabránit také tím, že vyrobíme ostří nože tak, aby špička nože skončila práci v bodě vrstu u_{vr}^1 , nebo změnou úhlové rychlosti součásti a kolébky podle kriteria nutné podmínky podřezávání.

b - Leží-li u_{vr}^1 mimo interval $<0,1>$, pak k podřezání dojít nemůže a ani hotový zub není vyroben až ke křivce vrstu.

c - Je-li parametr $u_{vr}^1 = 1$, potom obrobený zub je ukončený na hranici vrstu a začne podřezávání, pokračuje-li výroba dále.

Při určení t_i může nastat takový případ, že jedna složka toho vektoru nezmění znaménko; potom směr tečny v bodě vrata je rovnoběžný s jednou ze dvou os souřadnic křivky řezu, tj. jedna ze dvou složek tečny nemá opačná znaménka při přechodu přes bod vrata. To však nemá žádny vliv na existenci bodu vrata, poněvadž složky tečny se musí vždy blížit k nule při pohybu k bodu vrata a pak se vzdalují od nuly při pohybu od bodu vrata. Tento jev vzniká současně pro složky tečen z rovnic (6.20) a (6.21).

Pro nás je důležitější hranice podřezání, kterou najdeme pomocí průsečíku trajektorie špičky nože s křivkou řezu příslušného úhlu φ a u^2 . Špička nože má parametr na ostří $u^1 = 1$.

Řešíme rovnici:

$$A_{O_Z}^{\varphi} A_{O_k}^{p\varphi} (V + A_{O_F}^{u^2} \eta) \cdot O_Z = 0 \quad (6.23)$$

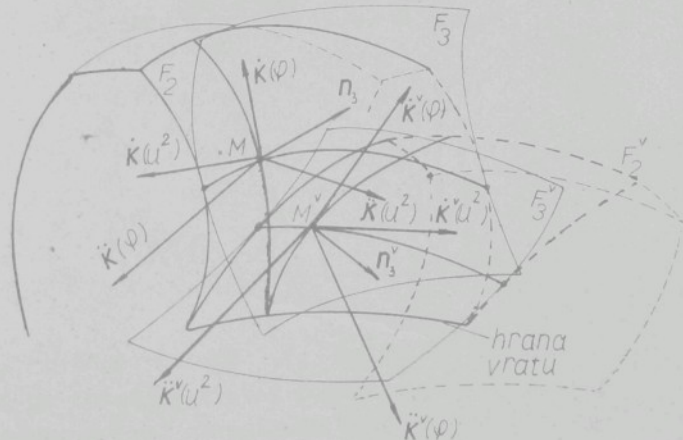
pro každé pevné φ najdeme úhel u^2 tak, aby byla splněna rovnice (6.23) (metoda řešení parametru u^2 je jako dříve). Souřadnice trajektorie nože označíme f_i^n , \dot{f}_i^n , M_i^n . Z rovnic (6.17), (6.18) a (6.19) je potom možno kreslit křivku dráhy špičky nože. Průsečík dvou křivek f_i^n a \dot{f}_i^n určuje souřadnice boku počátku podřezání.

Pokud nůž má obloukovou část ostří nebo protuberanci, potom podřezání se zvětší o hodnotu, která je řešením rovnice (5.59). Tato rovnice dává souřadnice obálky křivky řezu, která protíná křivku obálky vytvořenou přímkovou částí ostří. Leží-li parametr u^1 mimo interval $(0,1)$, potom musíme zkoumat, při jakých parametrech u^2, φ , t na obloukovém ostří vznikne hrana vrata resp. podřezání. Toho dosáhneme, když znova vyšetříme rovnice tečen (6.20), (6.21) - s tou změnou, že parametrem $t(\varphi, u^2)$ nahradíme parametr $u^1(u^2, \varphi)$ - za podmínky, kterou jsem uvedl na stranach 82 a 83. Hranice podřezání je opět průsečík křivky obálky obloukové části ostří od okamžiku vzniku parametrů bodu vrata a křivky obálky řezu vytvořené přímkovým a obloukovým ostřím před okamžikem vzniku parametrů bodu vrata.

Výsledky nám dávají hloubku a začátek podříznutí, parametry bodu vrstu, parametry stroje, nástroje a součásti např. u^1 , u^2 , φ , kde podřezavání začíná i jiné informace pro praktické použití. Očekává se, že číslicový počítač má i kreslicí zařízení, které nám zobrazuje po výpočtu přímo křivky a řešené body. Příkady a výsledky uvedeme později. Nyní přejdeme k jiné metodě, která je matematicky přesnější ale méně názorná.

2 - Metoda zkoumání pomocí Dupinovy indikatrix (Gaussovy křivosti)

Podstata této metody spočívá v tom, že body na charakteristice změní vlastnosti při přechodu přes hranu vrstu. Indikatrix nepodříznutého zuba charakterizuje eliptický nebo hyperbolický bod. Při pohybu po ploše zuba se charakter plochy nezmění. Jde-li o zub s podříznutím, změní se charakter plochy zuba při přechodu přes hranu vrstu např. z eliptického na hyperbolický a nebo opačně. Znovu zde používáme vztahů (4.46), (4.48) a (4.15).



obr.25

Obr.25 ukazuje polohy ploch F_2 , F_3 a polohy ploch po přechodu přes hranu vrata F_2^V a F_3^V (součást a nástroj).

$\dot{K}(u^2)$ je druhá derivace rovnice plochy obálky podle parametru u^2

$\dot{K}(\varphi)$ je druhá derivace rovnice plochy obálky podle parametru φ

$\dot{K}(\varphi), \dot{K}(u^2)$ jsou první derivace rovnice plochy obálky podle parametrů φ a u^2 .

Podobný význam mají i vektory $K^V(\varphi)$, $K^V(u^2)$, $K^V(\varphi)$, $K^V(u^2)$.

n_3 a n_3^V jsou normální vektory plochy F_3 a F_3^V v bodě na charakteristice.

Podle rovnice (4.15) určíme jednotkové vektory a vektory

X_{ij} .

$$n_3^o = \frac{K_u^1 \times K_u^2}{|K_u^1 \times K_u^2|} \quad (6.24)$$

$$n_3^{ov} = \frac{K_u^V_1 \times K_u^V_2}{|K_u^V_1 \times K_u^V_2|} \quad (6.25)$$

Vektory K_u^1 , K_u^2 jsou z rovnic (5.8) a (5.9):

$$K_u^1 = A_{OZ}^\varphi A_{OK}^{p\varphi} A_{OF}^{u^2} \eta$$

$$K_u^2 = u^1 A_{OZ}^\varphi A_{OK}^{p\varphi} R(O_F) A_{OF}^{u^2} \eta$$

Co se týká určení vektorů X_{ij} nelze zde derivovat analiticky ale je nutno derivovat pomocí numerické metody (to bylo provedeno dříve) na základě toho, že jsou už vypočteny souřadnice boku zuba příslušejícího každému pevnému

úhlu φ a u^2 . Označíme-li souřadnice bodů na ploše zuba jako $K_{r,k}$; kde r je ekvivalent okamžité velikosti úhlu φ a k je ekvivalent okamžité velikosti úhlu u^2 . Lze napsat:

$$\ddot{K}(\varphi) = \frac{K_{r+2,k+1} - 2K_{r+1,k+1} + K_{r,k+1}}{\varphi_{r+2,k+1} - 2\varphi_{r+1,k+1} + \varphi_{r,k+1}} \quad (6.26)$$

$$\ddot{K}(u^2) = \frac{K_{r+1,k} - 2K_{r+1,k+1} + K_{r+1,k}}{u_{r+1,k+2} - 2u_{r+1,k+1} + u_{r+1,k}} \quad (6.27)$$

$$\ddot{K}(u^2, \varphi) = \frac{K_{r+2,k+2} + K_{r+1,k+1} - K_{r+1,k+2} - K_{r+1,k+2}}{\varphi_{r+2,k+2} - \varphi_{r+2,k+1} + u_{r+1,k+1}^2 - u_{r+1,k+2}^2} \quad (6.28)$$

Souřadnice tenzoru plochy:

$$h_{11} = (K_{u1} \times K_{u2}) \ddot{K}(\varphi) = \det [K_{u1}, K_{u2}, \ddot{K}(\varphi)] \quad (6.29)$$

$$h_{12} = (K_{u1} \times K_{u2}) \ddot{K}(\varphi, u^2) = \det [K_{u1}, K_{u2}, \ddot{K}(\varphi, u^2)] \quad (6.30)$$

$$h_{22} = (K_{u1} \times K_{u2}) \ddot{K}(u^2) = \det [K_{u1}, K_{u2}, \ddot{K}(u^2)] \quad (6.31)$$

Vyšetříme vztah:

$$S^i = h_{11} \cdot h_{22} - h_{12}^2 \quad (6.32)$$

Existují-li dvě čísla S^i a S^{i+1} taková, že splní podmínuku z rovnic (4.46) a (4.48), potom mezi S^i a S^{i+1} existuje

tekové číslo S , které odpovídá parametrym φ a u^2 bodu vretu. Číslo S volíme jako střední hodnotu čísel S^i a S^{i+1} . Čím je pole souřadnic (sít křivek na ploše) hustší, tím přesněji lze bod vretu určit. Pro nás je důležitější, že počáteční hranici podřezání lze určit analyticky. Ostatní úvahy jsou stejné jako u první metody.

6.2.2 Analytické určení počáteční hranice podřezání

Hranice podřezání je tam, kde trajektorie špičky nástroje protíná plochu boku zuba. Takovou průsečnici lze formulovat takto:

$$K_n(1, \hat{u}^2, \hat{\rho}) = K_{ob}(\varphi, u^2) \quad (6.33)$$

platí pro kolo Gleason.

Nebo:

$$K_n(1, \hat{k}, \hat{\rho}) = K_{ob}(k, \varphi) \quad (6.34)$$

platí pro kolo Oerlikon.

Kde:

K_n je plocha nástroje vytvořená pobývem špičky nože,

K_{ob} je plocha obálky obrobku,

$\hat{u}^1 = 1$; $\hat{t} = 1$ určuje špičku ostří nože,

$\hat{\rho}$, u^2 parametry odpovídající nástroji,

φ , u^2 parametry odpovídající součásti (vyráběnému kolu).

Úlohu budeme řešit konkrétně pro kolo Gleason. Pro kolo Oerlikon je analogický postup, jenom místo parametrů u^1 ,

φ , u^2 budou t , φ , k a funkce K_n , K_{ob} mají jiné

vyjádření, které bylo uvedeno v předečnějších kapitolách.

Plocha nástroje opsaná hrotem ostří $u^1 = 1$ je

$$K_n(1, \hat{u}^2, \hat{\rho}) = A_{O_Z}^{\hat{\rho}} A_{O_K}^{p\hat{\rho}} (V + A_{O_F}^{\hat{u}^2} \eta) \quad (6.35)$$

Plocha obálky (plocha boku zuba) má tvar

$$K_{ob}(u^2, \varphi) = A_{o_Z}^{\hat{\varphi}} A_{o_K}^{p\varphi} (V + u^1(u^2, \varphi) A_{o_F}^{u^2} \eta). \quad (6.36)$$

Podle rovnice (6.33) lze napsat:

$$\Phi = A_{o_Z}^{\hat{\varphi}} A_{o_K}^{p\hat{\varphi}} (V + A_{o_F}^{u^2} \eta) - A_{o_Z}^{\varphi} A_{o_K}^{p\varphi} (V + u^1(u^2, \varphi) A_{o_F}^{u^2} \eta) = 0. \quad (6.37)$$

Vektorová rovnice (6.37) dává soustavu tří složkových transcendentních rovnic o čtyřech neznámých. Zvolíme pevný parametr \hat{u}^2 ; potom pro tři neznámé $\hat{\varphi}$, φ , u^2 lze stručně rovnici (6.37) napsat.

$$\Phi = \Phi (\hat{\varphi}, \varphi, u^2, V_1(\hat{\varphi}, \varphi, u^2), V_2(\hat{\varphi}, \varphi, u^2), V_3(\hat{\varphi}, \varphi, u^2)) = 0. \quad (6.38)$$

Řešení soustavy (6.38) provedeme pomocí modifikované Newtonovy metody (s ohledem počáteční polohy kořenů), jejíž stručný princip je tento:

Mějme obecnou soustavu nelineárních rovnic:

$$\begin{aligned} V_1(x_1, x_2, \dots, x_n) &= 0 \\ V_2(x_1, x_2, \dots, x_n) &= 0 \\ \vdots &\vdots \\ V_n(x_1, x_2, \dots, x_n) &= 0, \end{aligned} \quad (6.39)$$

kterou lze psát ve vektorovém tvaru:

$$\Phi(X) = 0. \quad (6.40)$$

Předpokládejme dále, že známe p-tou sproximaci řešení soustavy (6.39):

$$X^{(p)} = x_1^{(p)}, x_2^{(p)}, \dots, x_n^{(p)}, \quad (6.41)$$

která se od přesného řešení liší o chybu $\varepsilon^{(p)}$

$$X = X^{(p)} + \varepsilon^{(p)}. \quad (6.42)$$

Po dosazení (6.42) do rovnice (6.40) lze psát:

$$\phi(X^{(p)} + \varepsilon^{(p)}) = \phi(X^{(p)}) + \phi'(X^{(p)})\varepsilon^{(p)} = 0, \quad (6.43)$$

kde

$$\phi'(X^{(p)}) = W(X^{(p)}) \frac{\partial \phi}{\partial X}. \quad (6.44)$$

S použitím (6.44) lze napsat rovnici (6.43) jako:

$$\phi(X^{(p)}) + W(X^{(p)})\varepsilon^{(p)} = 0.$$

Chyba p-té sproximace pak:

$$\varepsilon^{(p)} = -W^{-1}(X^{(p)})\phi(X^{(p)}),$$

kde W^{-1} je inverzní matice k matici W , potom můžeme (p+1) sproximaci vyjádřit v tomto tvaru:

$$X^{(p+1)} = X^{(p)} - W^{-1}(X^{(p)})\phi(X^{(p)}) \quad (6.45)$$

pro p = 0, 1, 2, ...

Zaode (6.43) mame řešení rovnice (6.36):

$$V_n = V_{n-1} - \bar{W}(V_o) \Phi(V_{n-1}), \quad (6.46)$$

kde

$$V_n = V_n \begin{pmatrix} \hat{\varphi} \\ \varphi \\ u^2 \end{pmatrix}$$

jsou kořeny v n-tém kroku,

$$V_{n-1} = V_{n-1} \begin{pmatrix} \hat{\varphi} \\ \varphi \\ u^2 \end{pmatrix}$$

jsou kořeny v (n-1)-tém kroku,

$\bar{W}(V_o)$ je inverzní matice v bode počátečního odhadu

$$\bar{W}(V_o) = \begin{pmatrix} \frac{\partial V_1}{\partial \hat{\varphi}} & \frac{\partial V_1}{\partial \varphi} & \frac{\partial V_1}{\partial u^2} \\ \frac{\partial V_2}{\partial \hat{\varphi}} & \frac{\partial V_2}{\partial \varphi} & \frac{\partial V_2}{\partial u^2} \\ \frac{\partial V_3}{\partial \hat{\varphi}} & \frac{\partial V_3}{\partial \varphi} & \frac{\partial V_3}{\partial u^2} \end{pmatrix}^{-1} = \begin{pmatrix} \frac{\partial \Phi}{\partial \hat{\varphi}} & \frac{\partial \Phi}{\partial \varphi} & \frac{\partial \Phi}{\partial u^2} \end{pmatrix}_{\hat{\varphi}_o, \varphi_o, u_o^2}. \quad (6.47)$$

$$\frac{\partial \Phi}{\partial \hat{\varphi}} = R(O_z + PA_{OZ}^{\hat{\varphi}} O_k) A_{OZ}^{\hat{\varphi}} A_{O_k}^{p\hat{\varphi}} (V + A_{OF}^{u^2} \eta) \quad (6.48)$$

$$\frac{\partial \Phi}{\partial \varphi} = \frac{\Phi(\varphi - \Delta \varphi) - \Phi(\varphi)}{\Delta \varphi} =$$

$$= \frac{A_{OZ}^{\varphi + \Delta \varphi} A_{O_k}^{p(\varphi + \Delta \varphi)} (V + u^1(\varphi, \Delta \varphi, u^2) A_{OF}^{u^2} \eta) - A_{OZ}^{\varphi} A_{O_k}^{p\varphi} (V + u^1(\varphi, \varphi) A_{OF}^{u^2} \eta)}{\Delta \varphi} \quad (6.49)$$

$$\frac{\partial \Phi}{\partial u^2} = \frac{\Phi(u^2 + \Delta u^2, \varphi) - \Phi(u^2)}{\Delta u^2} = \\ = A_{0_Z}^\varphi A_{0_K}^{p\varphi} (V + u^1 (\varphi, u^2 + \Delta u^2) A_{0_F}^{u^2 + \Delta u^2} \eta) - A_{0_Z}^\varphi A_{0_K}^{p\varphi} (V + u^1 (u^2, \varphi) A_{0_F}^{u^2} \eta) \quad (6.50)$$

$$\begin{pmatrix} \hat{\varphi}_n \\ \varphi_n \\ u_n \end{pmatrix} = \begin{pmatrix} \hat{\varphi}_{n-1} \\ \varphi_{n-1} \\ u_{n-1} \end{pmatrix} - W^{-1} \begin{pmatrix} \hat{\varphi}_o \\ \varphi_o \\ u_o \end{pmatrix} \cdot \Phi \begin{pmatrix} \hat{\varphi}_{n-1} \\ \varphi_{n-1} \\ u_{n-1} \end{pmatrix} \quad (6.51)$$

Platí-li

$$\| V_n - V_{n-1} \| < \varepsilon, \quad (6.52)$$

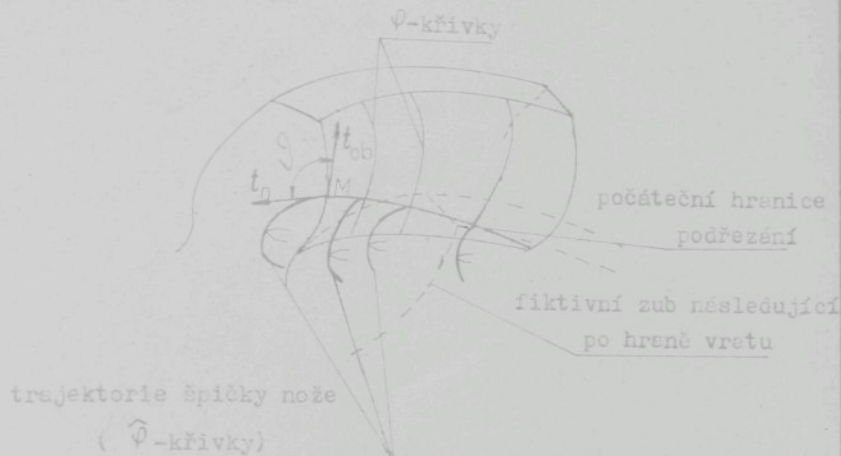
potom $V_n = V_n \begin{pmatrix} \hat{\varphi}_n \\ \varphi_{n_2} \\ u_n \end{pmatrix}$ je řešením (6.57).

Soustavu (6.37) lze řešit jinými metodami jako např.: Cremenovou, Gaussovou, Jakobiho, Gauss-Seidelovou a pod. [L.35].

6.2.4 Stanovení úhlu mezi φ -parametrickou křivkou plochy zuba a trajektorií nože

Obrázek 26 ukazuje tvar plochy zuba, fiktivní zub za hranou vretu, křivky trajektorie špičky nože ($\hat{\varphi}$ -křivky) a φ -parametrické křivky na ploše zuba. V bodě M na hranici podřezání stanovíme úhel ϑ mezi φ -křivkou a $\hat{\varphi}$ -křivkou. Lze napsat:

$$\cos \vartheta = \frac{\mathbf{t}_n \cdot \mathbf{t}_{ob}}{|\mathbf{t}_n| \cdot |\mathbf{t}_{ob}|}, \quad (6.53)$$



obr. 26

neboli:

$$\cos \theta = \frac{\epsilon_{ij} \cdot du^i dv^j}{\epsilon_{lk} \cdot du^k du^l \quad \epsilon_{mn} \cdot dv^m dv^n}, \quad (6.54)$$

kde du^i , dv^j jsou tečné vektory sestrojené k oběma křivkám v jejich společném bodě M, ϵ_{ij} , ϵ_{kl} , ϵ_{mn} jsou parametrické φ a $\hat{\varphi}$ -křivky,

$$\epsilon_{ij} = \phi_i \cdot \phi_j$$

$$\phi_i = \frac{\partial \phi}{\partial u_i} \quad (6.55)$$

$$\phi_j = \frac{\partial \phi}{\partial v_j} \quad (6.56)$$

Předpokládejme, že křivky φ a $\hat{\varphi}$ jsou parametrickými křivkami následující plochy (při pevném u^2 , \hat{u}^2):

$$\phi = A_{O_Z}^{\hat{\varphi}} A_{O_K}^{p\hat{\varphi}} (V + A_{O_F}^{u^2} \eta) - A_{O_Z}^{\varphi} A_{O_K}^{p\varphi} (V + u(u^2, \varphi) A_{O_F}^{u^2} \eta). \quad (6.57)$$

Potom lze napsat:

$$(du^1, du^2) = (1, 0),$$

$$(dv^1, dv^2) = (0, 1).$$

Úhel ϑ je dán vzorcem:

$$\cos \vartheta = \frac{\varepsilon_{12}}{\varepsilon_{11} \cdot \varepsilon_{22}} \quad (6.58)$$

$$\varepsilon_{12} = \Phi_1 \cdot \Phi_2 \quad (6.59)$$

$$\varepsilon_{11} = \Phi_1 \cdot \Phi_1 \quad (6.60)$$

$$\varepsilon_{22} = \Phi_2 \cdot \Phi_2 \quad (6.61)$$

Podle (6.57) máme:

$$\begin{aligned} \Phi_1 &= \frac{\partial}{\partial \hat{\varphi}} \left(A_{O_Z}^{\hat{\varphi}} A_{O_K}^{p\hat{\varphi}} (V + A_{O_F}^{u^2} \eta) \right) = \\ &= R(O_Z + p A_{O_Z}^{\hat{\varphi}} O_K) A_{O_Z}^{\hat{\varphi}} A_{O_K}^{p\hat{\varphi}} (V + A_{O_F}^{u^2} \eta) \end{aligned} \quad (6.62)$$

$$\Phi_2 = \frac{\partial}{\partial \varphi} \left(A_{O_Z}^{\varphi} A_{O_K}^{p\varphi} (V + u(u^2, \varphi) A_{O_F}^{u^2} \eta) \right) \quad (6.63)$$

Po dosazení hodnot $\hat{\varphi}$, φ , u^2 , \hat{u}^2 z řešení rovnice (6.51) dostaneme úhel mezi ϑ -křivkou plochy zuba a trajektorií nože. Je-li úhel $\vartheta \neq 180^\circ$, pomáhá nám tento úhel znova

kontrolovat správnost zjistěného podřezání. Jinak lze tento úhel stehovit metodou zkoumání řezu, když křivka řezu a trajektorie nože leží v rovině řezu.

Co se týká podřezání u nože s protuberancí, kriterium je stejné jako u uvedené metody. Liší se jedinom plochou nástroje, která je vyjádřené rovnicí (5.27). Hranice podřezání se zde málo liší od podřezání vytvořeného špičkou nože.

Uvedená teorie výzkumu podřezání platí nejen pro kolo Gleason ale i pro kolo Oerlikon, Klingelnberg nebo jiné druhy ozubení.⁵² V této práci však jimi nebudeeme zabývat.

7. Stanovení rozdílu mezi teoretickým a skutečným převodovým poměrem při záběru prostorových ploch s aplikací na kuželová kola

Určení rozdílu mezi teoretickým a skutečným poměrem převodu při záběru ozubených kol má velmi významný důsledek. Především lze podle něho zjistit optimální pásmo dotyku, případně je možno změnit geometrické řezné parametry a kinematické vazby stroje, nástroje a současti tak, aby plochy zuba měly optimální převodový poměr.

Teoreticky lze popsat plochy, které vytvářejí řezné hrany dvou nástrojů při výrobě spoluzabírajících kol rovinami:

$$X_1 = X_1(u^1, u^2) \quad (7.1)$$

$$X_2 = X(u^3, u^4). \quad (7.2)$$

Tomu odpovídající obalové plochy současti mají rovnice:

$$\left. \begin{array}{l} K_1 = K_1(u^1, u^2, \varphi) \\ [K_{1u^1}, K_{1u^2}, K_{1\varphi}] = 0 \end{array} \right\} \quad (7.3)$$

$$\left. \begin{array}{l} K_2 = K_2(u^3, u^4, \psi) \\ [K_{2u^3}, K_{2u^4}, K_{2\psi}] = 0 \end{array} \right\} \quad (7.4)$$

Dvě spoluzabírající plochy pak mají rovnice

$$r_1 = r_1(u^1, u^2, \varphi, \delta) \quad (7.5)$$

$$r_2 = r_2(u^3, u^4, \psi, \theta). \quad (7.6)$$

V pevné souřadnicové soustavě platí pro bod záběru

$$n_1^\circ = n_2^\circ \quad (7.7)$$

\vec{n}_1 a \vec{n}_2 jsou jednotkové vektory.

$$\vec{r}_1 = \vec{r}_2 \quad (7.8)$$

Kde u^1, u^3 jsou parametry řezných hran,

u^2, u^4 jsou parametry otočení nástrojů,

φ, ψ jsou úhly otočení kol při výrobě,

δ, θ jsou úhly otočení kol při záběru.

Podle rovnic (7.7) a (7.8) potom máme soustavu

$$n^1 = n^3 \quad (7.9)$$

$$\vec{r}_1(u^1, u^2, \varphi, \delta) = \vec{r}_2(u^3, u^4, \psi, \theta) \quad (7.10)$$

$$[K_{1u} \quad K_{1u^2} \quad K_{1\varphi}] = 0 \quad (7.11)$$

$$[K_{2u^3} \quad K_{2u^4} \quad K_{2\psi}] = 0, \quad (7.12)$$

kterou tvoří šest složkových rovnic o osmi neznámých ($u^1, u^2, u^3, u^4, \varphi, \delta, \psi, \theta$). Volíme jeden pevný parametr např. δ a chceme v každém bodě záběru určit tuto hlavní závislost:

$$\theta = f(\delta). \quad (7.13)$$

Okamžitý skutečný převodový pomér pak je

$$i_{21} = \frac{d\theta}{d\delta}. \quad (7.14)$$

Teoretický převodový pomér:

$$i_{20} = \frac{\omega_2}{\omega_1} = \frac{z_1}{z_2} \quad (7.15)$$

z_1, z_2 jsou počty zubů spoluzařírajících kol.

Poměrný rozdíl mezi skutečným a teoretickým převodem pak je

dán rovnici:

$$\varepsilon = \frac{i_{21} - i_{20}}{i_{20}} \quad (7.16)$$

Tím jsme provedli řešení pro každý bod záběru. Nyní je budeme splikovat na kuželová kola Gleeson. Pro ostatní ozubení platí podobná metoda studia s použitím konkrétních ploch nástroje nebo součásti.

V kapitole (5.1.2) jsme dostali rovnici boku zuba kola 1 (např. pastorek):

$$K_1 = A_{O_{Z_p}}^\varphi A_{O_{kp}}^{p_1\varphi} (V_p + u^1(u^2, \varphi) A_{O_{Fp}}^{u^2} \eta_p) \quad (7.17)$$

a plochy kola 2 (např. talířové kolo):

$$K_2 = A_{O_{Z_t}}^\psi A_{O_{kt}}^{p_2\psi} (V_t + u^3(u^4, \psi) A_{O_{Ft}}^{u^4} \eta_t) \quad (7.18)$$

V pevně zvolené souřadnicové soustavě mají spoluzebírající plochy rovnice ve tvaru:

$$r_1 = A_{O_1}^\delta A_{O_{Zp}}^\varphi A_{O_{kp}}^{p_1\varphi} (V_p + u^1(u^2, \varphi) A_{O_{Fp}}^{u^2} \eta_p) \quad (7.19)$$

$$r_2 = A_{O_2}^\theta A_{O_{Zt}}^\psi A_{O_{kt}}^{p_2\psi} (V_t + u^3(u^4, \psi) A_{O_{Ft}}^{u^4} \eta_t) \quad (7.20)$$

Jednotkové normály:

$$n_1^\circ = \frac{\partial r_1}{\partial \varphi} \times \frac{\partial r_1}{\partial u^2} \cdot \frac{1}{\left| \frac{\partial r_1}{\partial \varphi} \times \frac{\partial r_1}{\partial u^2} \right|} \quad (7.21)$$

$$n_2^2 = \frac{\partial \zeta_2}{\partial \psi} \times \frac{\partial \zeta_2}{\partial u^4} \quad \left| \frac{1}{\frac{\partial \zeta_2}{\partial \psi} \times \frac{\partial \zeta_2}{\partial u^4}} \right| \quad (7.22)$$

Podle (7.9) potom

$$\frac{\partial \zeta_1}{\partial \psi} \times \frac{\partial \zeta_1}{\partial u^2} \quad \frac{1}{\frac{\partial \zeta_1}{\partial \psi} \times \frac{\partial \zeta_1}{\partial u^2}} = \frac{\partial \zeta_2}{\partial \psi} \times \frac{\partial \zeta_2}{\partial u^4} \quad \frac{1}{\frac{\partial \zeta_2}{\partial \psi} \times \frac{\partial \zeta_2}{\partial u^4}} \quad (7.23)$$

Podle rovnice (7.10) platí:

$$A_{O_1}^{\delta} A_{O_{Z_p}}^{\varphi} A_{O_{K_p}}^{P_1 \varphi} (V_p + u^1(u^2, \varphi) A_{O_{F_p}}^{u^2} \eta_p) = A_{O_2}^{\theta} A_{O_{Z_t}}^{\psi} A_{O_{K_t}}^{P_2 \psi} (V_t + u^3(u^4, \psi) A_{O_{F_t}}^{u^4} \eta_t), \\ \dots (7.24)$$

neboli

$$A_{O_1}^{\delta} A_{O_{Z_p}}^{\varphi} A_{O_{K_p}}^{P_1 \varphi} (V_p + u^1(u^2, \varphi) A_{O_{F_p}}^{u^2} \eta_p) - A_{O_2}^{\theta} A_{O_{Z_t}}^{\psi} A_{O_{K_t}}^{P_2 \psi} (V_t + u^3(u^4, \psi) A_{O_{F_t}}^{u^4} \eta_t) = 0, \\ \dots (7.25)$$

kde lze $u^3(u^4, \psi)$, $u^1(u^2, \varphi)$ vyjádřit podle (5.14):

$$U_1 = \frac{\det [A_{O_{Z_p}}^{\varphi} A_{O_{K_p}}^{P_1 \varphi} u^2; A_{O_{F_p}}^{\varphi} \eta_p; A_{O_{Z_p}}^{\varphi} A_{O_{K_p}}^{P_1 \varphi} R(O) A_{O_{F_p}}^{u^2} \eta_p; R(O_{Z_p} + P_1 A_{O_{Z_p}}^{\varphi} A_{O_{K_p}}^{P_1 \varphi}) A_{O_{Z_p}}^{\varphi} A_{O_{K_p}}^{P_1 \varphi} V_p]}{\det [A_{O_{Z_p}}^{\varphi} A_{O_{K_p}}^{P_1 \varphi} u^2; A_{O_{F_p}}^{\varphi} \eta_p; A_{O_{Z_p}}^{\varphi} A_{O_{K_p}}^{P_1 \varphi} R(O) A_{O_{F_p}}^{u^2} \eta_p; R(O_{Z_p} + P_1 A_{O_{Z_p}}^{\varphi} A_{O_{K_p}}^{P_1 \varphi}) A_{O_{Z_p}}^{\varphi} A_{O_{K_p}}^{P_1 \varphi} u^2]}, \\ \dots (7.26)$$

$$U_3 = \frac{\det [A_{O_{Z_t}}^{\psi} A_{O_{K_t}}^{P_2 \psi} u^4; A_{O_{F_t}}^{\psi} \eta_t; A_{O_{Z_t}}^{\psi} A_{O_{K_t}}^{P_2 \psi} R(O) A_{O_{F_t}}^{u^4} \eta_t; R(O_{Z_t} + P_2 A_{O_{Z_t}}^{\psi} A_{O_{K_t}}^{P_2 \psi}) A_{O_{Z_t}}^{\psi} A_{O_{K_t}}^{P_2 \psi} V_t]}{\det [A_{O_{Z_t}}^{\psi} A_{O_{K_t}}^{P_2 \psi} u^4; A_{O_{F_t}}^{\psi} \eta_t; A_{O_{Z_t}}^{\psi} A_{O_{K_t}}^{P_2 \psi} R(O) A_{O_{F_t}}^{u^4} \eta_t; R(O_{Z_t} + P_2 A_{O_{Z_t}}^{\psi} A_{O_{K_t}}^{P_2 \psi}) A_{O_{Z_t}}^{\psi} A_{O_{K_t}}^{P_2 \psi} A_{O_{F_t}}^{\eta_t}]}, \\ \dots (7.27)$$

Chceme-li vyšetřit rozdíl převodu na celé ploše boku zuba, potom je potřeba měnit δ v celém rozsahu úhlu při záberu dvou kol. Teoretické výpočtové body plochy zuba pastorku a talířového kola lze získat dosazením vyřešených hodnot do rovnice (5.16). Souřadnice bodů záběru dostaneme dosazením kořenů do rovnic (7.19) nebo (7.20) (pro pastorek nebo talířové kolo). Metoda řešení soustavy rovnic (7.23), (7.25) je stejná jako v kapitole (6.2.2). Zde ji už nebudu opakovat. Možná, že určení inverzní matice W^{-1} bude komplikovanější a méně přesné. To však nevadí, neboť tato matice nehraje rozhodující roli pro numerické řešení, neboť má vliv jen na rychlosť konvergence.

Na základě této teorie je možno upravit parametry řezních nástrojů tak, aby skutečný převod se co nejvíce přiblížil teoretickému převodovému poměru. Použitá metoda platí bezezměny i pro kola Cerlikon.

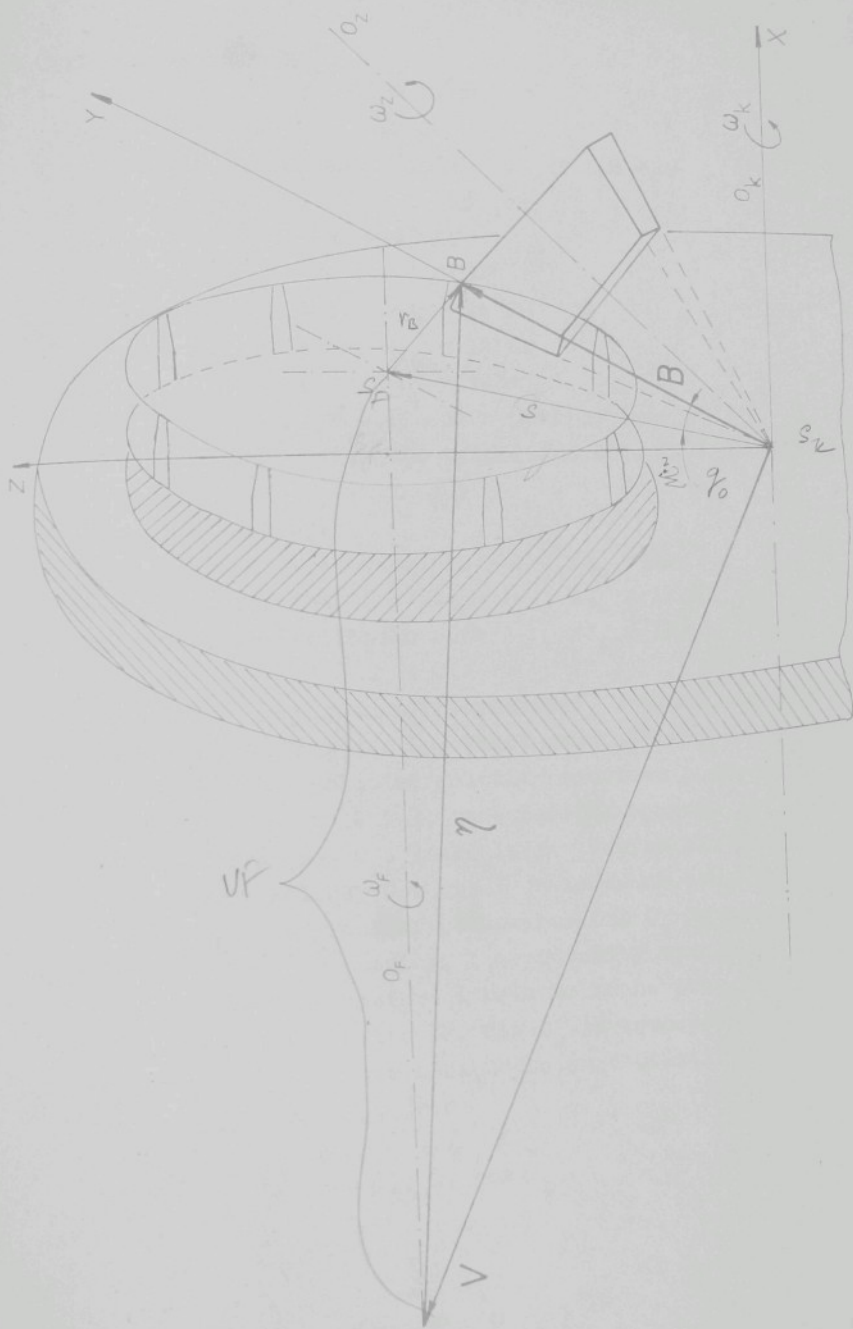
8. Určení vstupních údajů pro rovnici obalových ploch

V této kapitole chci ukázat možnosti určit potřebné vektory pro plochy boku zuba. Je pravda, že způsobů určení těchto vektorů je několik a že souřadnice bodů plochy zuba nebo křivky řezu lze stanovit pro jakékoliv polohy součásti, nástroje nebo kolébky. Nekdy se např. stanoví pomocí tzv. "výpočtového bodu", který je možno zvolit za střední bod zuba plochého kola. Zde je vhodné, když výpočet provedeme od počáteční polohy dotyku kola s nožem, případně zkoumáme křivky na ploše zuba v libovolném řezu. Je třeba dbát na to, zda se obrábění vykonává vnitřním nebo vnějším nožem (konvexní nebo konkávní bok zuba), práce se může konat od paty zuba k hlavě nebo naopak. Má to velký vliv na přesnost určení některých vektorů, např. u kola Gleason jsou to vektoru V , γ ; u kola Gerlikon vektoru L , N , A , B . Samozřejmě by bylo nejlepší tyto vektoru změřit, jenže model, na kterém by bylo možné měření provést, neexistuje a měření je velmi pracné! Proto nezbývá nic jiného než vycházet z polohy součásti-nástroje-kolébky a geometrických řezních parametrů. Při změně těchto údajů se změní parametrické křivky plochy zuba, křivosti křivky na ploše zuba, převod, podřezání apod. I to je však dobré k tomu, že můžeme zkoumat vliv geometrických úhlů α , β , γ na tyto řešené problémy. Vždy se musí vycházet ze skutečných údajů, aby určené vektoru byly v souladu s technickými výkresy (konstrukčními a technologickými). Nyní ukážu jeden příklad stanovení vektorů V , γ a dalších vstupních hodnot při výrobě kola Gleason vnitřním ostřím při obrábění z paty ke hlavě.

Na obr. 27 je případ výroby kuželového kola Gleason číslo 138.1.32.04-1 v Hrádku nad Nisou, kdy byly zjištěny tyto údaje:

- Údaje pro pastorek:

Čhel poctočení obrábeného kola k dokončení jednoho boku zuba $\varphi = 25^\circ$



Čelní modul $m_{ce} = 9$
Úhel záběru $\alpha_n = 14^\circ 30'$
Střední úhel spirály $\beta_s = 26^\circ 56'$
Délka površky hlevového kuželetu $R_{de} = 206,469$
Vnější průměr hlevový $d_h = 137,889$
Výška hlavy zuba $h_h = 10,89$
Výška paty zuba $h_p = 6,102$
Úhel roztečného kuželetu $\delta_r = 16^\circ 28'$
Úhel hlevového kuželetu $\delta_h = 19^\circ 29'$
Úhel patního kuželetu $\delta_p = 14^\circ 47'$
Úhel mezi površkami roztečného a patního kuželetu $\vartheta_p = 1^\circ 41'$
Poměr počtu zubů pastorku a talířového kola $Z_1/Z_2 = 13/44$

- Údaje pro nástroj:

Jmenovitý průměr frézovací hlavy $\varnothing d_r = 12''$
Jmenovitý průměr vnějšího nože $\varnothing d_v = 11,81''$
Jmenovitý průměr vnitřního nože $\varnothing d_i = 12,19''$

Ostatní údaje jsou jenom informativní. Uvedené hodnoty také nepoužijeme všechny, jen ty, které jsou uvedeny v následujících vztažích. Nyní se pokusíme položit soustavu souřadnic. Jak bylo řečeno v kapitole 5.1, bude počátek systému XYZ průsečíkem osy O_k a osy O_z , která leží v rovině XY. Osa X je totožná s osou kolébky O_k , osa Y je kolmá na osu X a leží v rovině XO_z , tj. prochází patou zuba. Osa O_z je kolmá na rovinu XY a tvoří s osami X, Y prevotočivý systém. V n.p. hrádku nad Nisou se nastavují nože kolmo na patu zuba, tj. osa O_F je kolmá na rovinu ZY. Osa O_k je rovnoběžná s osou O_F a rovina špiček nože prochází vrcholem součásti. Jednotkové vektory os O_z , O_k , O_F , jsou:

$$O_z = O_z (\cos \delta_p, \sin \delta_p, 0) \quad (8.1)$$

$$O_k = O_k (1, 0, 0) \quad (8.2)$$

$$O_F = O_F (0, 0, 1) \quad (8.3)$$

Poznámka: Složky jednotkových vektorů os O_z , O_k , O_F

v obecné poloze jsou určeny rovnici (5.2) kap. 5.

B je bod dotyku špičky nože se součástí (kolem) při počátku obrábění. Vektor V je popsaný rovnicí:

$$\overrightarrow{V} = \overrightarrow{S} + \overrightarrow{O_F \cdot VF} \quad (5.4)$$

$$VS = r_n \cdot \operatorname{tg} \alpha_{in} \quad (5.5)$$

$$\alpha_{in} = \alpha_n + \Delta\alpha \quad (5.6)$$

$$\operatorname{tg} \Delta\alpha = \operatorname{tg} \vartheta_p \cdot \sin \beta_s, \quad (5.7)$$

kde α_n je úhel záběru kola

α_{in} je vnitřní úhel nože

$\Delta\alpha$ je úhel korekce.

Vztahy (5.6) a (5.7) byly odvozeny v [L.27]. Někdy je úhel $\Delta\alpha$ přímo dán v technickém výrobním listu.

Poněkud obtížněji půjce odvodit vektor S, tj. určit počáteční polohu bodu S vzhledem k soustavě XYZ, kdy počáteční bod obrábění je na vnějším věnci kola (obr.28).

Pro odvození dalších vzorců je potřeba vyjít z plochého kola nakresleného na obrázku 28. Pro lepší přehled zavedeme místo R_o označení A_o a místo β zavedeme ψ . Máme:

$$H = A_o - r_n \sin \psi \quad (5.8)$$

$$V = r_n \cos \psi \quad (5.9)$$

Dále platí:

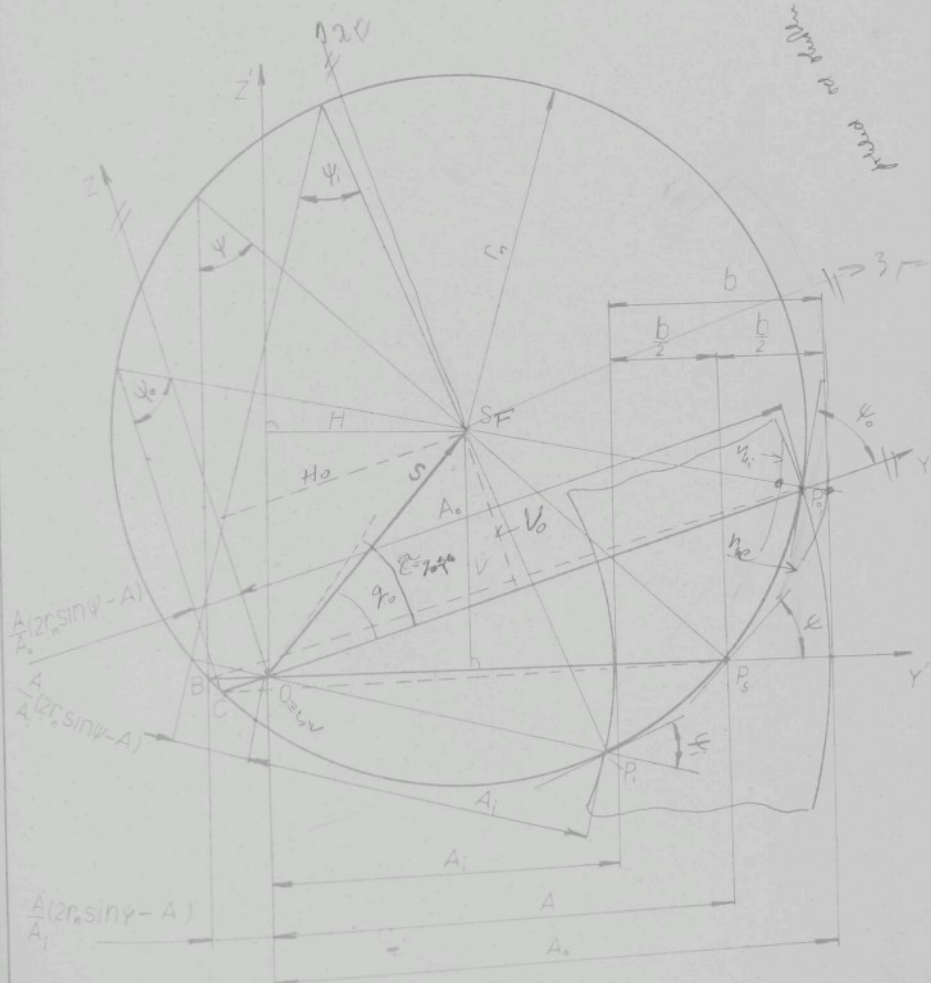
$$\frac{CB}{OC} = \frac{CP_o}{CP_s} \Rightarrow OC = \frac{CP_s \cdot CB}{CP_o} \quad (5.10)$$

$$CB = 2 \cdot r_n \sin \psi - A \quad (5.11)$$

$$OC = \frac{A}{A_o} (2 \cdot r_n \sin \psi - A) \quad (5.11)$$

$$\sin \psi_o = \frac{CF_o}{2r_n} = \frac{CO + CP_o}{2r_n} = \frac{A_o + \frac{h}{k}(2r_n \sin \psi - A)}{2r_n} \quad (8.12)$$

$$\sin \psi_o = \frac{1}{2r_n} \left(A_o + \frac{h}{k_o} (2r_n \sin \psi - A) \right) \quad (8.13)$$



Pocobným odvozením dostaneme pro vnitřní úhel spirály

$$\sin \psi_i = \frac{1}{2r_n} \left(A_i + \frac{A_i}{k_i} (cr_n \sin \psi - A) \right) . \quad (8.14)$$

Tedy souřadnice vektoru S při obrábění z vnějšího věnce kužele k vnitřnímu věnci:

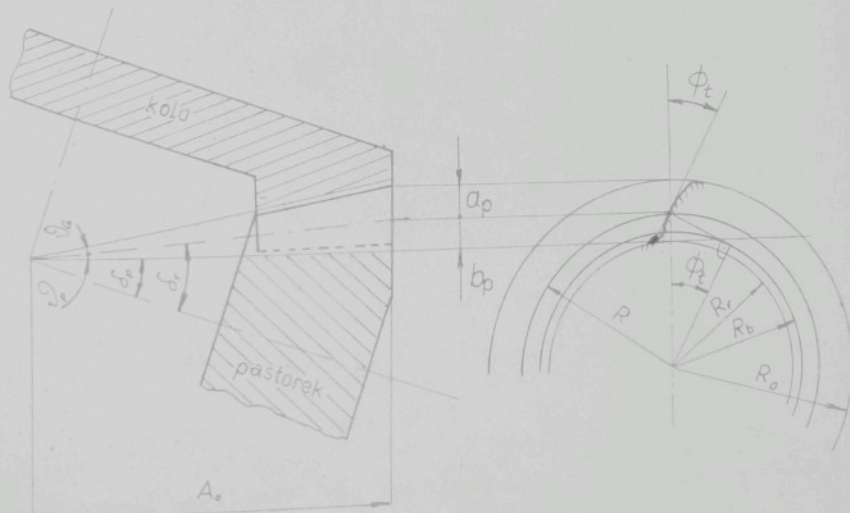
$$v_o = r_n \cos \psi_o \quad (8.16)$$

$$H_o = A_o - r_n \sin \psi_o . \quad (8.17)$$

Úhel mezi vektorom S a osou Y :

$$\operatorname{tg} \phi_o = \frac{V_o}{H_o} . \quad (8.18)$$

Je třeba si uvědomit, že vzorce (8.16), (8.17) a (8.18) platí pro okamžik, kdy celá soustava je vztezená k roztečnému kuželi. Bod S kolébky má při obrábění z hlavy nebo z paty jiný úhel ϕ_o , který závisí ještě na profilu zuba (obr. 29).



obr. 29

dopustíme jen velmi nepatrné odchylky. Správnost tohoto výpočtu byla prokázána i při řešení mezní polohy odvalu pro vyšetření výběrové křivky od nástroje a součásti v n.p. Hrádek nad Nisou. Takové nahrazení nemusíme však užít, lze-li stanovit vektory V a γ jinou metodou nebo když je lze odměřit.

Úhel hlavy zuba (při obrábění z hlavy)

$$\cos \phi_a = \frac{\cos \phi_t}{1 + \frac{2a_p \cos \delta_r}{m_ce Z_1}} \quad (8.24)$$

m_ce je modul ozubení

Z_1 je počet zubů pastorku

δ_r je úhel roztečného kuželeta.

Úhel otočení pastorku v čelní rovině (obr.30) (při obrábění z paty)

$$\Delta\beta = \beta_a - \beta_t \quad (8.25)$$

$$\beta_a = \operatorname{tg} \phi_a \cdot R_b \quad (8.26)$$

$$\beta_t = \operatorname{tg} \phi_t \cdot R_b \quad (8.27)$$

$$\operatorname{arc} \omega_a = \frac{\Delta\beta}{R_b} = \operatorname{tg} \phi_a - \operatorname{tg} \phi_t \quad (8.28)$$

$$\omega_a^o = \frac{180}{\pi} (\operatorname{tg} \phi_a - \operatorname{tg} \phi_t). \quad (8.29)$$

Úhel otočení pastorku v čelní rovině při obrábění z paty:

$$\omega_b = \frac{180}{\pi} \operatorname{ev} \phi_t + \phi_t = \frac{180}{\pi} (\operatorname{tg} \phi_t - \operatorname{arc} \phi_t) + \phi_t \quad (8.30)$$

Nyní najdeme úhel otočení kolébky odpovídající otočení součásti o úhel ω_a nebo ω_b .
Počet zubů plochého kola

$$z_c = \sqrt{z_1^2 + z_2^2} . \quad (8.31)$$

Počet zubů výrobního kola pro frézování metodou FLAED - SETTING:

$$z_v = z_c \left[1 \pm \frac{H \operatorname{tg} \alpha}{V \cos \psi} (\operatorname{tg} \vartheta_p + \operatorname{tg} \vartheta_G) \right] \quad (8.32)$$

H, V jsou z rovnic (8.8), (8.9)

ϑ_p , ϑ_G jsou patní úhly pastorku a kola (obr.31)

Znaménko plus platí pro vnitřní nože; znaménko minus pro vnější nože.

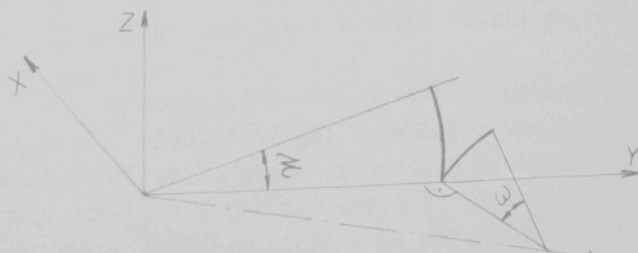
Poznámka: Při frézování metodou SPREAD-BLADE nebo SINGLE-SIDE použije se místo hodnoty z_v hodnota z_c .

Počet zubů v čelní rovině:

$$z_N = \frac{z_1}{\cos \delta_r} . \quad (8.33)$$

Úhel pootočení kolébky v závislosti na pootočení pastorku (obr.31):

$$\mathcal{M} = \frac{z_N}{z_v} \cdot \omega . \quad (8.34)$$



obr.31

Odtud najdeme krajní polohy odvalu kolébky:

$$\tau = \alpha_0 \pm M. \quad (8.35)$$

Poře skutečné situace rozhodujeme o výběru znaménka plus nebo minus.

Složky vektoru S nyní určíme

$$S = S(0; \sqrt{(A-r_n \sin \psi)^2 + r_n^2 \cos^2 \psi} \cos \zeta; \sqrt{(A-r_n \sin \psi)^2 + r_n^2 \cos^2 \psi} \sin \zeta). \quad (8.36)$$

Vektor V má nyní rovnici:

$$V = V(0; \sqrt{(A-r_n \sin \psi)^2 + r_n^2 \cos^2 \psi} \cos \zeta; \sqrt{(A-r_n \sin \psi)^2 + r_n^2 \cos^2 \psi} \sin \zeta; \\ + r_n \operatorname{tg} \alpha_{en} (1; 0; 0))$$

$$V = V(r_n \operatorname{tg} \alpha_{en}; \sqrt{(A-r_n \sin \psi)^2 + r_n^2 \cos^2 \psi} \cos \zeta; \\ ; \sqrt{(A-r_n \sin \psi)^2 + r_n^2 \cos^2 \psi} \sin \zeta) \quad (8.37)$$

$$B = (0; A_0; 0)$$

$$\eta = B - V = (-r_n \operatorname{tg} \alpha_{en}; A_0 - \sqrt{(A-r_n \sin \psi)^2 + r_n^2 \cos^2 \psi} \cos \zeta; \\ , - \sqrt{(A-r_n \sin \psi)^2 + r_n^2 \cos^2 \psi} \sin \zeta), \quad (8.38)$$

kde pro ζ musíme dosadit z rovnice (8.18) do rovnice (8.35).

Tím jsme odvodili potřebné vektory pro určení plochy závitu a jejich vlastností při obrábění z vnějšího věnce. Při obrábění z vnitřního věnce je podobné odvození. Platí zde společné pravidlo - jak pro kuželové kolo Gleason, tak pro kolo Oerlikon a Klingelnberg - že všechny potřebné vektory

jsou závislé na parametrech kola, nožeřezné díly, počet zubů, úhly spirály...), takže při změně těchto parametrů dojde i k změnám závislých hodnot. Tím můžeme sestavit různé závislosti a určit optimální podmínky. Jak bylo řečeno, potřebné vektory lze změřit nebo stanovit jinou cestou. To, co bylo uvedeno v této kapitole, je ukázkou, jak lze k tomuto cíli také dojít. Navíc způsob volby „vypočtového bodu“ (z hlavy nebo z paty), který jsem zde používal, není jediný. Proto také určení vstupních veličin provedených zde pro matematicky odvozené vzťahy nemí jediné. Avšak myslím, že tento „vypočtový bod“ je velmi vhodný, neboť lze získat kontinuální řešení všech problémů vyskytujících se na celé ploše zuba. Snad je učelné zde poznamenat, že velikost parametru u^2 otočení frézy je přibližně dána rovnicí

$$\sin \frac{u^2}{2} \approx \frac{b}{r_n},$$

kde b je šířka zuba

r_n je polomer frézovací hlavy.

Úhel u^2 může násbýt libovolných hodnot z intervalu úhlu otočení nástroje. U metody zkoumání křivek řezu odpovídá hodnota u^2 příslušné hodnotě φ a určité vzdálenosti radiálního řezu od vrcholu kola.

Konkrétní hodnoty souřadnic vektorů z předcházejícího příkladu po výpočtu budou:

$$V = (-50,0 ; 20 ; 16,0)$$

$$\eta = (50,84; 0,0; -15,8)$$

$$\varphi = -60^\circ + 32^\circ$$

$$p = -0,25.$$

Jednotkové vektory os pro příklad na obr. 27 jsou dány rovnicemi (8.1) až (8.3). Souřadnice boku zuba a souřadnice křivky řezu, vypočtené pomocí samočinného počítače budou uvedeny v tabulce a nakresleny na grafu.

9. Blokové schéma a program výpočtu pro kolo Gleason

9.1 Blokové schéma

K usnádnění programování samočinného počítače je možno sestavit blokové schéma, které udává algoritmus práce. Základní tenzory otočení při výzkumu kola Gleason a Oerlikon jsou stejné; proto lze očekávat, že blokové schéma bude mít hodně podobných částí. Není třeba vytvořit blokové schéma popisující krok po kroku práci programu, poněvadž to není účelné ani nutné. Stačí nekreslit pouze zjednodušené schéma, sloužící k snadnější orientaci v programu. Je nutno upozornit na to, že hlavní program obsahuje 14 jednoduchých podprogramů, které byly buď samostatně sestaveny v této práci nebo některé převzaty z práce [32]. Těchto 14 podprogramů lze použít pro výpočty kol Gleason, Oerlikon nebo pro jiné součásti získané rotačním způsobem obrábění.

Význam zkrácených názvů podprogramů je následující:

TENZ	výpočet tenzoru otočení
DIA	dyadickej součin dvou vektorů
SOM	součet matic
NAM	násobení matic
NAK	násobení matice s konstantou
NAV	násobení matice s vektorem
SEV	sečtení dvou vektorů
DET	výpočet determinantu
VEK	násobení vektoru s konstantou
OLM	odečtení dvou matic
ANZ	výpočet antisymetrického tenzoru
MIE	sestavení determinantu
INVER	řešení inverzní matice
SKAV	skalární součin dvou vektorů.
Označení některých důležitých veličin v hlavním programu :	
Q	tenzor otočení
AB	tenzor otočení
AN	tenzor otočení
OBAL	souřadnice boku zuba

U1 : parametr na ostří nože v jednotce délce t
FFI : úhel otočení obrobku
UU2 : úhel otočení nástroje
DX,DY : souřadnice bodů křivky radiálního řezu boku zuba
TRAJX,TRAJY : souřadnice trajektorie špičky nože

Význam ostatních označení je vysvětlen v blokovém schématu nebo ve formátové specifikaci v programu. Počet podprogramů není jen 14 ale dle rozsahu práce lze vytvořit další. Uvedeme postupně zjednodušená bloková schéma. V každém rámečku je napsaný text, který vysvětluje proces programování (v závorce jsou názvy užité v programu).

Blokové schéma pro výpočet souřadnice křivky radiálního řezu s určením parametrů vrstu stroje, nástroje, obrobku a počátku podřezání

B

Čti zadané hodnoty : počty zubů, poměr převodu, úhly otočení kola φ_0 (F10), vzdálenost řezu od vrcholu kola ρ (LU), jednotkové vektory os nástroje(AC(I)), obrobku(A(I)), kolébky(S,I)), vektory V , η (tyto vektory lze vypočítat podle odvození v kap.8. Avšak paměť počítače MINSK 22 nestačí a proto je třeba sestavit zvláštní program pro jejich výpočet)(AW(I)),(ETA(I))

②

Výpočet různých tenzorů otočení $A_{O_Z}^{\varphi}$ (Q), $A_{O_K}^{\varphi}$ (AB) $A_{O_Z}^{u^2}$ (AN) z vyvolaných podprogramů, výpočet členů determinantu, parametru u^1 (Ul) ostrí, souřadnice bodů obalové plochy (OBAL) při prvním odhadu φ_0, u_0^2

Výpočet derivace při změně hodnoty u^2 (U2)

$$\frac{K_{ob}(\varphi, u^2 + \Delta u^2) - K_{ob}(\varphi, u^2)}{\Delta u^2} \cdot O_Z \rightarrow DER$$

Řešení parametru u^2 s určitou přesnosti

$$u^2 = \frac{K_{ob}(\varphi, u^2) O_Z - \rho}{DER} \rightarrow Y$$

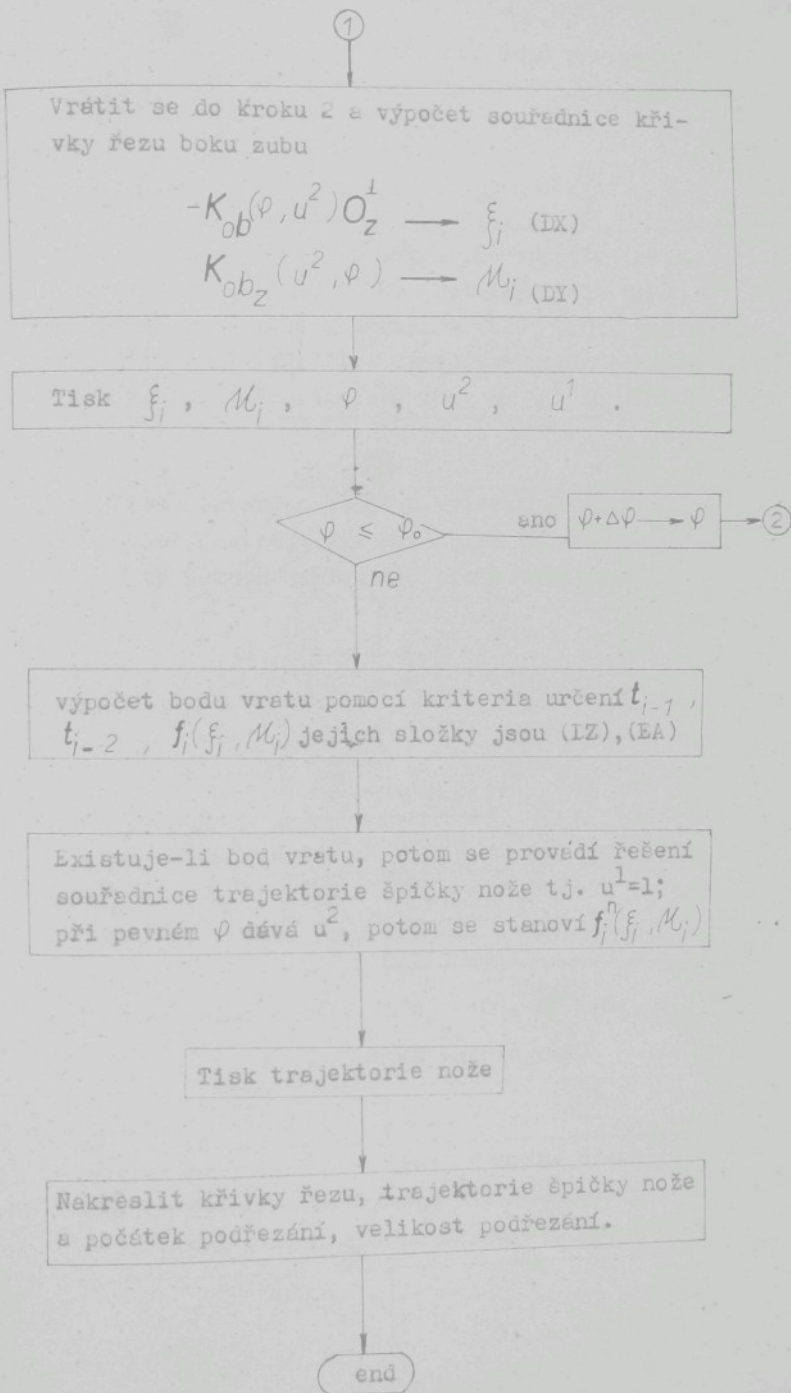
$Y \rightarrow u^2$

ano

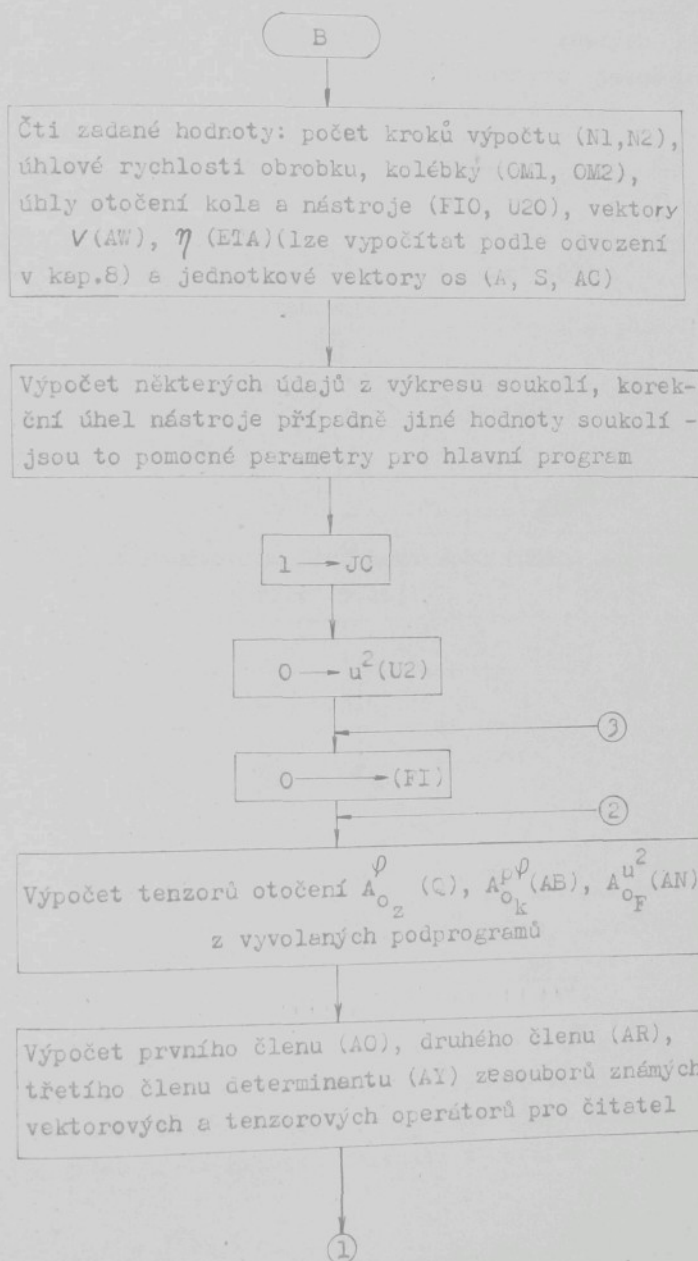
$$u^2 - Y \leq \varepsilon \text{ (EPS):přesnost}$$

ne

①



Blokové schéma pro výpočet souřadnic bodů parametrické křivky plochy zuba se stanovením hranice podřezání



1

Výpočet třetího člena determinantu ze známých vektorových a tenzorových operátorů pro jmenovatel (EL) (první a druhý člen jsou stejné jako v čitateli)

$$\frac{\text{determinant čitatele}}{\text{determinant jmenovatele}} = u^1 (u_1)$$

$u^1 : 1 >$

$I = u^1$

Výpočet souřadnice bodů boku zuba (OBAL) z rovnice (5.16)

Tisk u^1 , OBAL(I)

$$\varphi + \frac{\varphi_0}{N1} \varphi$$

2

$\varphi : \varphi_0$

>

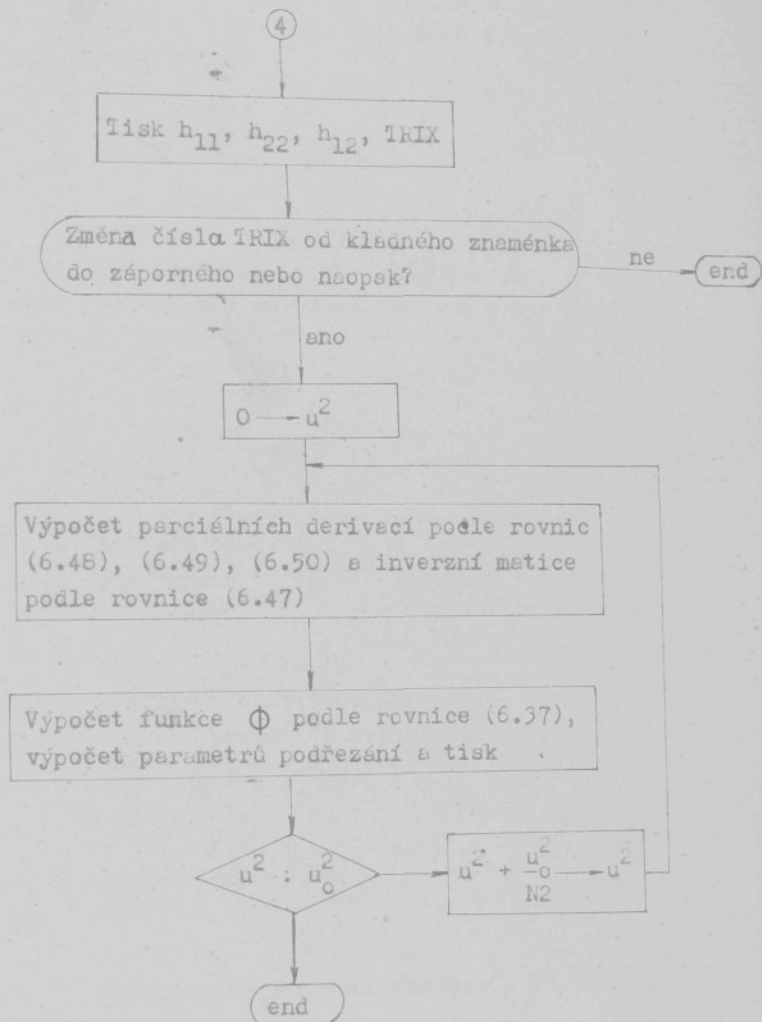
$u^2 : u^2_0 <$

$$u^2 + \frac{u^2_0}{N2} = u^2$$

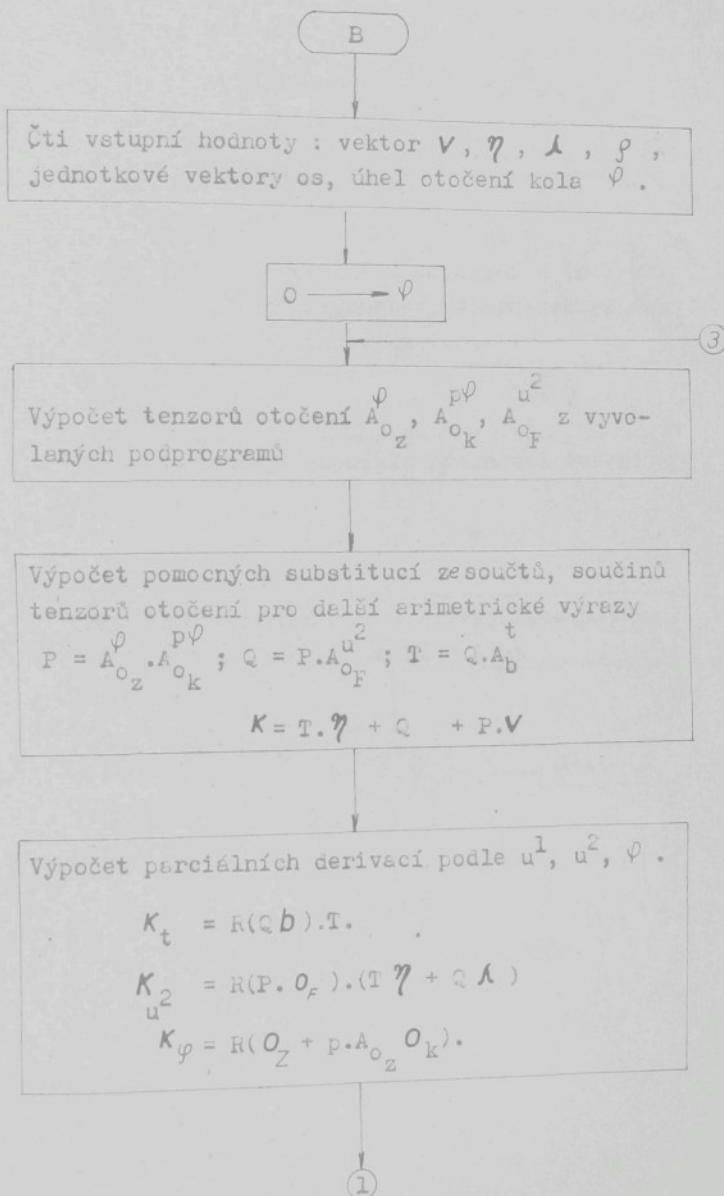
3

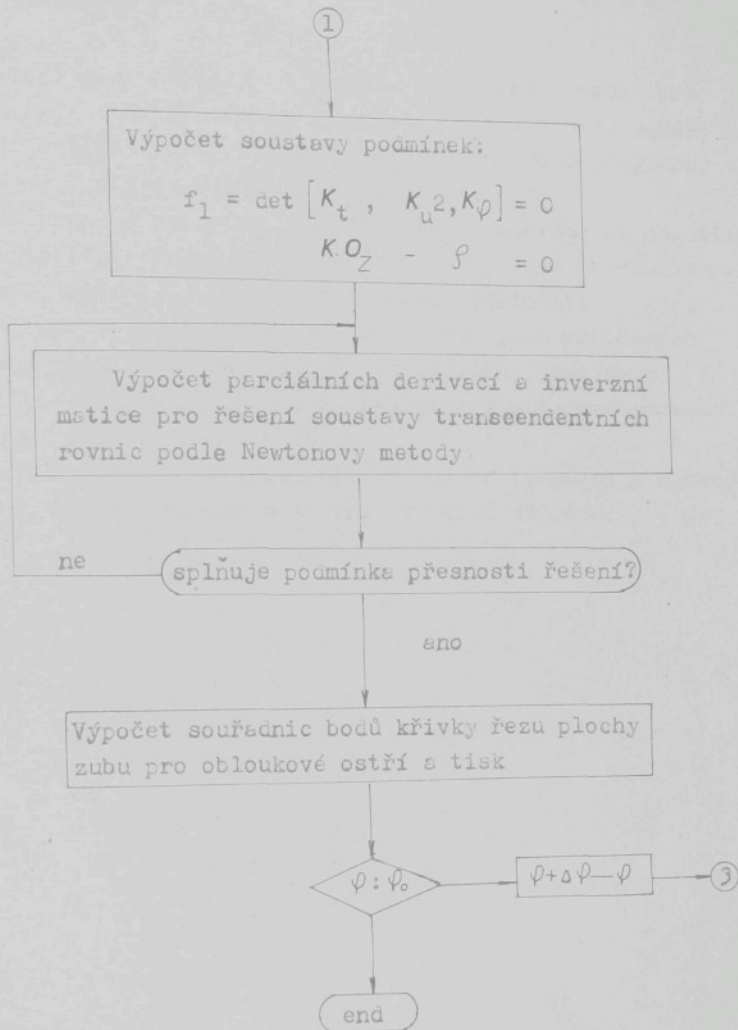
Výpočet derivace podle parametrů φ , u^2 z rovnic (6.26), (6.27), (6.28) a výpočet čísel tenzoru plochy h_{11} (H11), h_{22} (H22), h_{12} (H12), výpočet čísla Geusovy křivosti z rovnice (6.32)

4



Blokové schéma pro výpočet souřadnic bodů křivky v radiálním řezu obloukové části ostří





9.2 Poznámky k programu

Program je sestaven v jazyku FEL-FORTRAN, neboť pro rozsáhlost a komplikovanost programu nebylo vhodné použít ALGOLu. Bylo by totiž nutné použít segmentování programu, čímž by se jeho složitost ještě zvýšila.

Všechny podprogramy byly samostatně nahrány na magnetickou pásku, takže se na ně lze odvolávat i v každém novém hlavním programu, aniž by je bylo nutno znova překládat.

O tom, že v programu užíváme jiných jmen proměnných než jsme použili v teoretických kapitolách, jsme se už zmínili. Je to totiž prakticky nezbytné z programátorského hlediska.

Chtěl bych ještě upozornit na to, že formální a hlavně logické ladění programu bylo časově velmi náročné.

9.3 Příklady

Pro ilustraci uvedu několik příkladů výpočtu řešených problémů pomocí číslicového počítače (souřadnice bodů parametrických křivek boku zuba, souřadnice bodů křivky řezu, bodu vrstu, velikosti počátku podřezání).

Je možno konstatovat, že vektory V a η , které závisí na mnoha parametrech nástroje, stroje a obrobku, mají velký vliv na tyto vypočtené hodnoty. Stačí nepatrná změna vektorů

V , η a může dojít k velké změně těchto zkoumaných veličin. Proto parametry ve vzorcích (8.4) až (8.38) pro určení vektorů V , η jako je poloměr frézovací hlavy, úhel nože, střední úhel spirály kola, vnější úhel spirály, roztečné úhly kola, úhel záběru, čelní modul, úhlové rychlosti obrobku, kolébky atd., jsou rozhodující faktory. Postupně měníme-li hodnoty jednotlivých veličin, můžeme dostat různé tvarы křivky řezu boku zuba, hodnoty podřezání atd. a lze zkoumat velikost vlivu těchto proměn. To má velký význam při dalším studiu ozubení.

Vstupní hodnoty souřadnic (v centimetrech z důvodu pro přehled programu) pro první příklad jsou:

$$V = (-50,0 ; 20,0 ; 16,0)$$

$$\eta = (51,84 ; 0,0 ; -16,2)$$

$$p = -0,25$$

Úhel otočení kolébky : $\varphi = (-60^\circ \pm 32^\circ)$

Vzdálenost radiálního řezu od vrcholu kola: $f = 18,0$

Jednotkové vektory os:

$$O_Z = (0,255 ; 0,967 ; 0,0)$$

$$O_k = (1,00 ; 0,0 ; 0,0)$$

$$O_F = (1,00 ; 0,0 ; 0,0)$$

Výsledky jsou uvedené v tabulce I a křivky jsou znázorněny na obr. 32.

U druhého příkladu necháme všechny zadané hodnoty veličin stejně, změníme jen malo souřadnice vektoru η . Výsledky jsou zaznamenaný v tabulce II a křivky jsou nakresleny na obr. 33.

$$\eta = (50,84 ; 0,0 ; -15,8)$$

φ	u^2	u^1	M_i	ξ_i	DZ	EA	TRAJX	TRAJY
-60,0	-4,7241	1,0001	-5,6204	-0,3189	-0,1780	-0,6203	-5,6270	-0,3245
-56,0	-4,8703	0,9982	-5,4424	-0,1771	-0,1702	-0,1184	-5,3627	-0,1174
-52,0	-5,0030	0,9963	-5,2722	-0,0587	-0,1602	-0,0967	-5,0999	0,0538
-48,0	-5,1222	0,9945	-5,1119	0,0380	-0,1480	-0,0767	-4,8420	0,1907
-44,0	-5,2273	0,9927	-4,9628	0,1148	-0,1340	-0,0587	-4,5923	0,2946
-40,0	-5,3187	0,9909	-4,8298	0,1735	-0,1181	-0,0429	-4,3537	0,3673
-36,0	-5,3962	0,9891	-4,7111	0,2164	-0,1007	-0,0293	-4,1291	0,4107
-32,0	-5,5459	0,9873	-4,6109	0,2458	-0,0821	-0,0181	-3,9211	0,4271
-28,0	-5,5065	0,9856	-4,5288	0,2639	-0,0623	-0,0095	-3,7322	0,4188
-24,0	-5,5432	0,9838	-4,4664	0,2734	-0,0417	-0,0035	-3,5647	0,3886
-20,0	-5,5632	0,9821	-4,4247	0,2770	-0,0205	-0,0003	-3,4201	0,3391
-16,0	-5,5685	0,9803	-4,4041	0,2774	0,0008	0,00009	-3,3009	0,2732
-12,0	-5,5587	0,9786	-4,4050	0,2773	0,0223	-0,0022	-3,2079	0,1841
-8,0	-5,5338	0,9768	-4,4273	0,2795	0,0435	-0,0075	-3,1424	0,1049
-4,0	-5,4933	0,9751	-4,4709	0,2871	0,0642	-0,0155	-3,1053	0,0089
0,0	-5,4372	0,9733	-4,5352	0,3026	0,0841	-0,0264	-3,0971	-0,0906
4,0	-5,3650	0,9715	-4,6193	0,3290	0,1028	-0,0399	-3,1181	-0,1904
8,0	-5,2764	0,9697	-4,7222	0,3690	0,1202	-0,0561	-3,1682	-0,2869
12,0	-5,1712	0,9679	-4,8424	0,4252	0,1359	-0,0749	-3,2470	-0,3769
16,0	-5,0489	0,9661	-4,9784	0,5001	0,1497	-0,0960	-3,3539	-0,4570
20,0	-4,9093	0,9643	-5,1281	0,5961	0,1613	-0,1193	-3,4879	-0,5238
24,0	-4,7518	0,9624	-5,2895	0,7155	0,1705	-0,1447	-3,6478	-0,5742
28,0	-4,5761	0,9605	-5,4600	0,8602	0,1771	-0,1719	-3,8318	-0,6051
32,0	-4,3817	0,9586	-5,6372	1,0322	0,1807	-0,2007	-4,0382	-0,6134

TAB. I

DZ, EA jsou složky tečen.

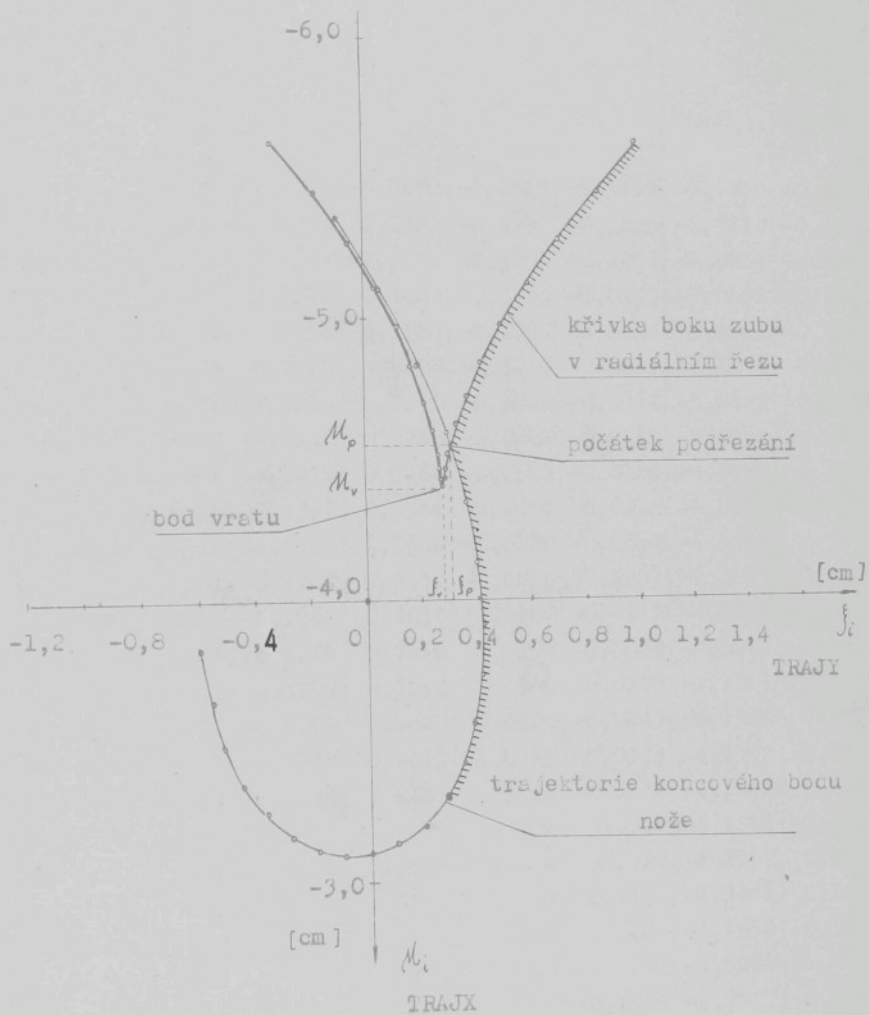
TRAJX, TRAJY jsou souřadnice koncového bodu nože.

Souřadnice bodu vrstu $M_v = -4,4041$; $\xi_v = 0,2774$

Parametry stroje, obrobku či nástroje v bodě vrstu:

$$\psi_{vr} = -4,0^\circ; \varphi_{vr} = -16,0^\circ; u_{vr}^2 = 5,5683^\circ; u_{vr}^1 = 0,98038$$

Souřadnice začátku podrezání $M_p = -4,5625$; $\xi_p = 0,305$.



obr. 32

TAB. II

φ	u^2	u^1	M_i	ξ_i	DZ	EA	TRAJX	TRAJY
-60,0	-4,6892	1,0201	-5,6837	-0,2601	-0,1827	-0,5961	-6,5490	-0,9953
-56,0	-4,8417	1,0182	-5,5010	-0,1142	-0,1752	-0,1223	-6,3224	-0,7270
-52,0	-4,9806	1,0163	-5,3257	-0,0080	-0,1655	-0,1002	-6,0936	-0,4921
-48,0	-5,1058	1,0146	-5,1602	0,1083	-0,1535	-0,0799	-5,8658	-0,2896
-44,0	-5,2172	1,0126	-5,0066	0,1862	-0,1397	-0,0615	-5,6421	-0,1183
-40,0	-5,3147	1,0108	-4,8669	0,2498	-0,1240	-0,0452	-5,4254	0,0233
-36,0	-5,3981	1,0090	-4,7428	0,2950	-0,1068	-0,0312	-5,2182	0,1370
-32,0	-5,4673	1,0072	-4,6360	0,3263	-0,0882	-0,0196	-5,0234	0,2248
-28,0	-5,5221	1,0054	-4,5477	0,3460	-0,0685	-0,0106	-4,8430	0,2880
-24,0	-5,5625	1,0036	-4,4791	0,3566	-0,0480	-0,0042	-4,6794	0,3312
-20,0	-5,5882	1,0018	-4,4310	0,3608	-0,0269	-0,0054	-4,5344	0,3545
-16,0	-5,5991	1,0001	-4,4041	0,3614	-0,0055	0,0034	-4,4097	0,3614
-12,0	-5,5949	0,9983	-4,3986	0,3610	0,0160	-0,0015	-4,3066	0,3546
-8,0	-5,5754	0,9665	-4,4146	0,3626	0,0372	-0,0063	-4,2265	0,3370
-4,0	-5,5404	0,9947	-4,4519	0,3690	0,0580	-0,0139	-4,1701	0,3115
0,0	-5,4895	0,9929	-4,5099	0,3829	0,0780	-0,0243	-4,1380	0,2812
4,0	-5,4226	0,9911	-4,5879	0,4073	0,0969	-0,0374	-4,1306	0,2491
8,0	-5,4226	0,9893	-4,6849	0,4448	0,1144	-0,0532	-4,1480	0,2182
12,0	-5,2392	0,9875	-4,7994	0,4980	0,1304	-0,0715	-4,1899	0,1917
16,0	-5,1220	0,9856	-4,9298	0,5696	0,1444	-0,0922	-4,2557	0,1727
20,0	-4,9873	0,9838	-5,0742	0,6619	0,1563	-0,1152	-4,3446	0,1640
24,0	-4,8348	0,9819	-5,2306	0,7771	0,1658	-0,1402	-4,4556	0,1688
28,0	-4,6639	0,9800	-5,3964	0,9173	0,1727	-0,1671	-4,5872	0,1897
32,0	-4,4743	0,9781	-5,5692	1,0845	0,1767	-0,1956	-4,7377	0,2297

Souřadnice bodu vretu $M_v = -4,3986$, $\xi_v = 0,3610$ (obr.33)

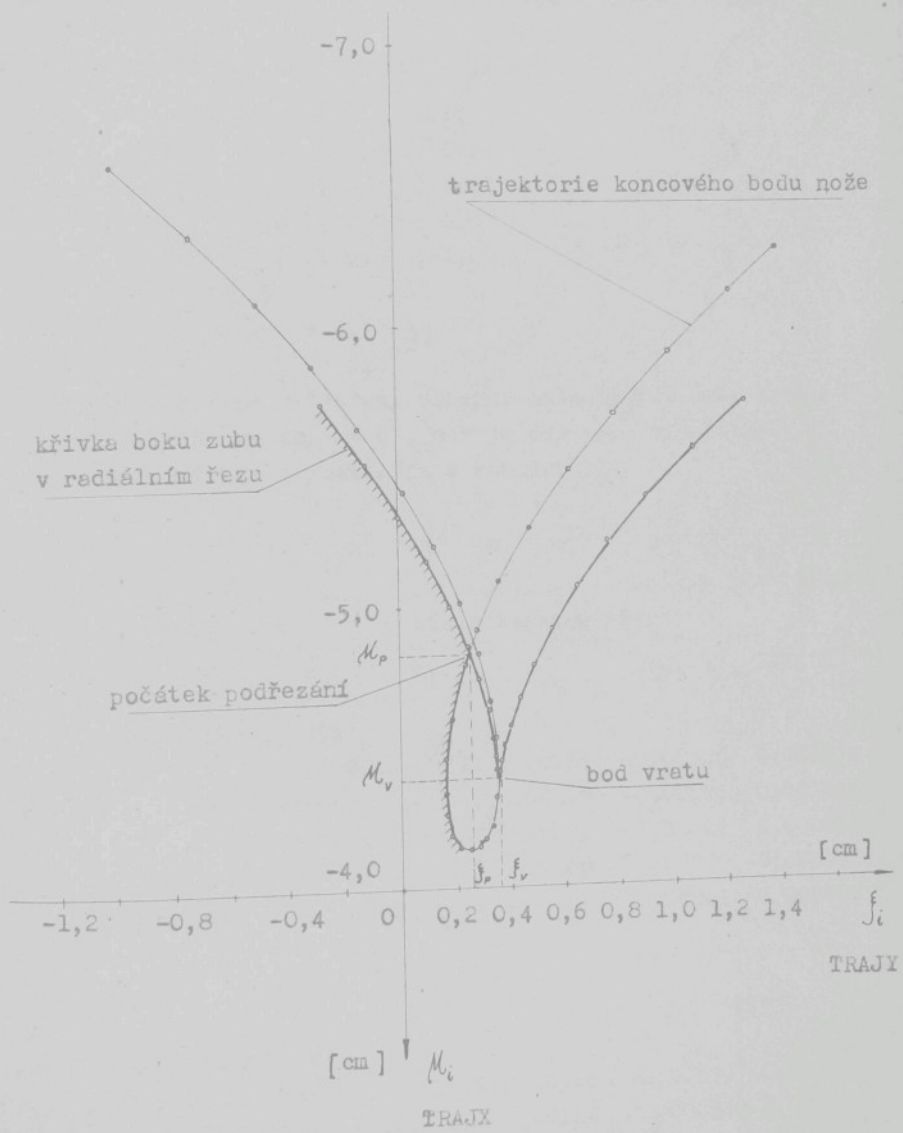
Parametry obrobku, stroje a nástroje v bodě vrstu:

$$\varphi_{vr} = -12^\circ; \psi_{vr} = -3,0^\circ; u_{vr}^2 = -5,5949^\circ; u_{vr}^1 = 0,9983$$

Souřadnice začátku podřezání :

$$M_p = -4,8975; \xi_p = 0,265.$$

Je zřetelně vidět rozdíl mezi obrázky 32 a 33.



obr. 33

Na dvou následujících příkladech bych chtěl ukázat vybrané části z výpočtu souřadnic bodů parametrické křivky na ploše zuba, kriteria vrátu jsou podle metody Gausovy křivosti.

Hodnoty pro třetí příklad jsou:

$$V = (-7,0 ; 6,0 ; 0,5)$$

$$\eta = (9,0 ; 0,0 ; -0,5)$$

$$O_Z = (0,25 ; 0,97 ; 0,0)$$

$$O_K = (1,0 ; 0,0 ; 0,0)$$

$$O_F = (0,0 ; 0,0 ; -1,0)$$

$$P = -0,5$$

$$u^2 = 0,0^\circ + 20^\circ$$

$$\varphi = -7,0^\circ + 5,0^\circ$$

(Zde byly záměrně vytvořeny vstupní hodnoty tak, aby hrena vrátu vznikla okolo $\varphi = 0^\circ$, což je dokázáno výpočtem).

Část výsledku je zaznamenána v tabulce III

Tabulka III

$$u^2 = 0,0^\circ$$

φ	souřadnice boku			čísla tenzoru plochy			TRIX (s ⁱ)
	K _x	K _y	K _z	h ₁₁	h ₂₂	h ₁₂	
-7,0	-1,5630	5,9886	0,19563				
-5,0	-1,5501	5,9992	0,19630	0,03171	0,06224	-0,00125	0,001972
-3,0	-1,5412	5,9964	0,19652	0,02067	0,06218	-0,00073	0,001285
-1,0	-1,5364	5,9990	0,19645	0,00958	0,06213	-0,00022	0,000595
1,0	-1,5355	6,0007	0,19642	-0,00153	0,06206	0,00029	-0,000095
3,0	-1,5387	6,0015	0,19670	-0,01266	0,06200	0,00081	-0,000785
5,0	-1,5458	6,0015	0,19762				

$$u^2=2^\circ 51'$$

-7,0	-1,4915	5,7119	0,19130				
-5,0	-1,4791	5,7163	0,19201	0,03079	0,06329	-0,00139	0,001947
-3,0	-1,4704	5,7118	0,19219	0,02030	0,06324	-0,00084	0,001283
-1,0	-1,4656	5,7226	0,19213	0,00978	0,06319	-0,00030	0,000618
1,0	-1,4646	5,7246	0,19210	-0,00078	0,06313	0,00024	-0,000049
3,0	-1,4675	5,7257	0,19236	-0,01136	0,06306	0,00078	-0,000717
5,0	-1,4742	5,7260	0,19319				

(Pokračování tabulky III)

$$u^2 = 5^\circ 42'$$

-7,0	-1,4178	5,4266	0,18605				
-5,0	-1,4058	5,4310	0,18675	0,29670	0,06454	-0,00152	0,001918
-3,0	-1,3974	5,4347	0,18695	0,01985	0,06450	-0,00095	0,001297
-1,0	-1,3926	5,4376	0,18690	0,00989	0,06444	-0,00038	0,000637
1,0	-1,3915	5,4397	0,18187	-0,00090	0,06439	0,00019	-0,000060
3,0	-1,3941	5,4411	0,18710	-0,01009	0,06433	0,00076	-0,000650
5,0	-1,4003	5,4418	0,18787				

Vidíme, že podle rovnice (6.32) číslo S^i změní znaménko při přechodu od $\varphi = -1$ do $\varphi = +1$. Tato poloha odpovídá všem parametrům bodu vrátu stroje, nástroje a kola.

Vstupní hodnoty pro čtvrtý příklad jsou stejné jako v prvním příkladě. Část výsledku je uvedena v tabulce IV.

Tabulka IV

$$u^2 = -1^\circ 26'$$

	Souřadnice boku			čísla tenzoru plochy			TRIX(S^i)
	K _x	K _y	K _z	h ₁₁	h ₂₂	h ₁₂	
-30	0,4793	19,6450	0,1838				
-23	0,5821	19,6280	0,1994	-7,22841	75,09720	1,59260	-545,370449
-16	0,6199	19,6158	0,2010	-0,07128	74,77650	0,09823	-6,295320
-9	0,5913	19,6089	0,2044	7,16662	74,47425	0,46087	533,516407
-2	0,4976	19,6067	0,2250	14,46822	74,19167	0,02978	1073,423347
5	0,3429	19,6080	0,2784	21,81650	73,92820	0,31128	1612,759414
12	0,1343	19,6108	0,3784				

$$u^2 = 2^\circ 51'$$

-30	0,5226	20,8455	0,1898				
-23	0,6267	20,8228	0,2044	-8,03989	75,24380	-2,5728	-611,57130
-16	0,6624	20,8056	0,2052	-0,66570	74,89998	-1,8166	-53,162088
-9	0,6284	20,7940	0,2086	6,82686	74,57654	1,1560	507,787429
-2	0,5262	20,7875	0,2309	14,41886	74,27363	0,5911	1070,59139
5	0,3604	20,7846	0,2880	22,09361	73,99151	-0,1220	1634,724456
12	0,1383	20,7833	0,3950				

Zde číslo S^i změní znaménko mezi $\vartheta = -16^\circ$ a $\vartheta = -9^\circ$. Avšak číslo $S^i = -6,295320$ (při $\vartheta = -16^\circ$) a $s^i = 533,5164$ (při $\vartheta = -9^\circ$), což je značný skok, protože byl rozdělen celý rozsah úhlu otočení kola pro výpočet na velké kroky (7°). Stačí proto uvažovat o změně $\Delta\vartheta$ od hodnoty -16° , kdy může dojít ke změně čísla S^i od záporné hodnoty $(-6,2953)$ do kladné hodnoty. To je důvod k vysvětlení toho, proč je bod vrstu v prvním příkladě u metody zkoumání křivky radiálního řezu $\vartheta = -16^\circ$, a proč se zde (zkoumání podle Dupinovy indikatrix) ϑ odchylí od -16° (pro stejně vstupní hodnoty). Navíc je nutné si uvědomit, že metoda zkoumání řezu má vzdálenost od vrcholu obráběného kola $f = 18$ (cm), kdežto zde začátek obrábění je ve vzdálenosti $A_0 = 20,46$ (cm) od vrcholu obráběného kola. Proto parametry vrstu nemohou být uplně totožné.

Nakonec lze ještě provést tento závěr: Tam, kde číslo S^i změní znaménko, změní se i znaménka složek tenzoru plochy a to buď u jednoho nebo u dvou ze tří čísel h_{11} , h_{12} , h_{22} . Proto pro normální jednoduché plochy lze provést kriterium hrany vrstu pomocí výpočtu h_{11} , aniž bychom museli vypočítat h_{22} , h_{12} a S^i . To však neplatí pro obecné komplikované zborcené plochy (např. kanálové plochy ohnuté).

Zde nejsou neskresleny křivky boku zuba, neboť jsou velmi nepřehledné, jak bylo uvedeno v kap. 6.2.2. Mimo jiné teto metoda má ještě výhodu v tom, že lze použít tenzor plochy pro jiné účely např. stanovení křivosti plochy pro určení optimálního profilu nástroje apod.

10. Závěr

V předložené kandidátské práci jsem se snažil dosáhnout těchto nejdůležitějších výsledků:

V kapitole 2 je to především nalezení vztahu (2.11) pro tenzor otočení pohybujícího se bodu obecné plochy. Tento vzorec a členy (2.5), (2.8) jsou velmi důležité pro stanovení vlastností rotačního pohybu při obrábění. Parametr φ v tomto vzorci hraje rozhodující roli při kombinaci současných pohybů a dává systém buď parametrických křivek ploch nebo křivek řezu, potřebný v dalších kapitolách této práce. Plochy nástroje nebo součásti jsou určeny funkcí tenzoru otočení s dalšími proměnnými. V této kapitole je také venována pozornost vlastnostem tenzoru otočení jako je např. : derivace tenzoru, reciproké, antisymetrické nebo transponované tenzory.

V kapitole 3 je uvedena teorie vytváření obalových ploch součásti případné nástroje. Poumínka k vytváření obalové plochy je dána rovnicí (3.12), v níž je dán parametr $u^1 = u^1(\varphi, u^2)$. Rovnice obálky pro rotační pohyb kolem různoběžných os je (3.20), která má tři složky K_x, K_y, K_z . Zde jsou rovněž podobně popsané některé členy tenzoru otocení. V další části této kapitoly je odvozena rovnice obalové plochy (3.26) při rotačním pohybu kolem mimoběžných os. Jediný, ale podstatný rozdíl proti případu předchozímu je, že u tohoto pohybu je potřeba přičist jeden vektor mezi osami. Jinak rovnice (3.26) přejde v rovnici (3.20) při degeneraci vektoru L . Kapitola 3 je základem pro hledání plochy boku zubů při výrobě ozubených soukoli. Je to velmi výhodné, neboť můžeme najít souřadnice boku zuba pro každý pevný parametr otočení obrobku φ nebo nástroje u^2 . Tyto body představují síť na ploše, která odpovídá různým parametrym řezné geometrie nože. Potom je možno změnit vstupní hodnoty tak, aby bylo vyhověno předepsaným požadavkům. V dnešní době už existuje takový přístroj, kterým lze změřit tři souřadnice obecného bodu. Toho lze použít pro srovnání s našimi výpočtovými body na ploše a lze hledet příčinu odchylky.

Tepelným zpracováním dochází k deformaci ozubení. Zlepšení technologie lze dosáhnout tím, že srovnáním souřadnic

zjištěných měřením na záskleném kole s vypočtenými souřednicemi zvolíme parametry nastavení stroje a nástroje tak, aby po kalení bylo kolo správné.

Při výzkumu otázky podřezání, sledování přesnosti poměru převodu a stanovení křivosti plochy se nelze obejít bez vyřešení toho problému.

V kapitole 4 byly zpracované vlastnosti obrobené plochy - obalové plochy. Zde jsou zavedeny takové známé pojmy jako normála obalové plochy (4.5), tečná rovina obalové plochy (4.7), ale rovněž jsou uvedeny vztahy pro popis vnitřní geometrie plochy jako je tenzor plochy (druhý základní tenzor plochy) (4.19), stanovení různých křivostí, zkoumání Dupinovy indikatrix, které jsou dané rovnicemi (4.46), (4.47), (4.48), (4.49). Jak se ukáže později, slouží tato kapitola s kapitolou 3 jako celek při studiu vzniku hrany vratu, počátku podřezání a další problematiky.

Celá kapitola 5 obsahuje aplikaci na kuželová kola Gleason, Oerlikon případně i Klingelnberg. Základem pro tuto aplikaci jsou dvě předcházející kapitoly. Řešení bylo vždy provedeno pro různé části profilu nástroje např. u kola Gleason je plocha nástroje vytvořeného přímkovým ostřím a je dána rovnicí (5.3), kde u^1 je parametr na ostří probíhající interval $<0,1>$ a definovaný rovnicí (5.14), kdežto parametr pro cbloukovou část ostří je dán řešením rovnice (5.56). Plochy zubu pak jsou určeny rovnicemi (5.17) a (5.59). Podobně bylo vyšetřeno kolo Oerlikon. U toho druhu ozubení je mnohem komplikovanější způsob stanovení plochy zubu (rovnice (5.94), (5.113), (5.115)), neboť kinematika pohybu stroje, nástroje a součásti při výrobě ozubení je složitá a osy stroje, nástroje, obrobku jsou mimoběžné. Rovnice jsou nesmírně složité, ale po úpravě a s určitými předpoklady, byly převedeny do poměrně jednoduchého tvaru. Tato kapitola je také věnována řešení křivky příčného řezu (radiálního řezu) plochy zubu - rovnice (5.72). Pomoci této křivky lze pak nejlépe určit kriteria podřezání.

Další očtavec je věnován teorii podřezání u kuželových

kol. Je pojednáno i o rovinných případech ozubení, kde je tento problém poměrně jednoduchý a je již prakticky vyřešen v dostupné literatuře. Nohonem komplikovanější problém vzniká u prostorových ozubení, kde se musí pracovat s prostorovými plochami a jejich vnitřní geometrií, aby bylo možno dojít k nutným a postačujícím podmínkám pro vznik hrany eventuálně křivky vrata. Nutnou podmínu podřezání udává rovnice (6.1). Existují některá matematická kriteria pro postačující podmínu vzniku hrany vrata u ploch popsaných jednoduchými implicitními nebo explicitními rovnicemi.

Následující rovnice plochy zuba jsou však parametrické a složité; proto zde prakticky není možno hovořit jen o charakteristických bodech druhého řádu nebo o zastavení pohybu, nebo provést řešení normálním způsobem. Celá záležitost závisí na vlastnostech vnitřní geometrie ploch při různých pohybech.

Nejjednodušší a nejnázornější výsledky jak pro body vrata tak pro počátek podříznutí byly získány pomocí metody zkoumání křivek libovolného řezu, který je v určité vzdálenosti od vrcholu kola. Po vyřešení rovnice (6.16) lze dostat souřadnice křivky f_i , M_i z rovnic (6.17), (6.18) a tečny t_{i-1} , t_{i-2} z rovnic (6.20), (6.21). Trajektorie koncového bodu ostří nože získáme z rovnice (6.23) při parametru $u^1=1$. Z grafického znázornění průsečíku křivky řezu a trajektorie nože lze zjistit míru podřezání a parametry stroje, nástroje a obrobku při vzniku bodu vrata i záčatku podřezání.

Dalším kriteriem pro tento problém je diskriminant S^1 druhého základního tenzoru plochy b_{ij} z rovnice (6.32). Určení počáteční hrany podřezání provedeme řešením rovnice (6.37) Newtonovou metodou.

Kapitola 7 je věnována sledování přesnosti převodového poměru při záběru dvou kuželových kol. Okamžitý skutečný převodový pomér i_{21} dává rovnice (7.14) po řešení soustavy rovnic (7.9), (7.10), (7.11), (7.12). Příčina odchylky skutečného a teoretického převodového poměru je např. sklonění frézovací hlavy při výrobě soukoli (t.j. nesplnení podmínky obtisku dvou kol), nebo změna parametrů nástroje apod.

Kapitola 8 obsahuje metodu stanovení potřebných údajů k řešení problémů z předcházejících kapitol. Jsou zde např. způsoby zpracování vektorů V , L , N , A , B , η , jednotkových vektorů os, položení os souřadnic, počáteční úhel osy frézovací hlavy na kolébce s osou I atd. Jak bylo řečeno, metod stanovení potřebných údajů je několik a tyto údaje lze i měřit.

Závěrečná kapitola 9 uvádí bloková schéma programu na samočinný počítač v systému FEL-FORTRAN a praktické vypočtené příklady. Je zde popsán algoritmus, některé poznámky o programování, tabulky vypočtených parametrů, grafy, případně podrobné vysvětlení.

Jednotlivé kapitoly této práce na sebe spojité nazavazují. Práce dává obecný tenzor otočení pro každý rotační pohyb. Jím lze po kombinaci s jednoduchými pohyby vyšetřit tvar plochy obrobku po obrábění, nebo na základě známého tvaru obrobku vyšetřit optimální profil nástrojů jako jsou tvarové frézy a tvarové nože. Tak lze zlepšovat konstrukci a technologii výroby a zkvalitnit přesnosti funkčních součástí.

Aplikace této teorie na kuželová kola je velmi výhodná. Nejen že lze sledovat přesnost bodů povrchu zubů po výrobě teoreticky, ale lze i stanovit počáteční hranici a míru podřezání, což je prakticky velmi důležité, protože je možno podříznutí úplně eliminovat nebo připustit pouze jeho definovanou hodnotu podle technických požadavků. Stanovení přesnosti převodového poměru nám zaručuje optimální seřízení stroje, nástroje pro optimální zábér. Navíc pak řešení pomocí samočinného počítače velice usnadňuje výpočet (a vzhledem k složitým vztahům by bylo „ruční“ řešení bez počítače vůbec prakticky nemožné).

Problematika je velmi rozsáhlá. Domnívám se, že je možné pomocí této teorie např. vyšetřovat vliv otupení nožem na plochy zubů; vliv otupení nože na přesnosti převodu; optimální profil tvarové frézy; vliv postavení stroje, nástroje, obrobku na kvalitu profilu součásti i další otázky.

Na závěr bych chtěl srdečně poděkovat mému školiteli prof.Ing. Jaroslavu Draskému, CSc. za jeho péči a vedení v mé práci a rovněž děkuji všem, kteří mi pomáhali při řešení této práce.

Literatura

- [1] Long,B.I.: Základy teorie vytvoření obalových ploch vznikajících při pohybu nástroje a obrobku.
Kandidátské minimum, VŠTI, Liberec 1975.
- [2] Budinsky,B.: Základy diferenciální geometrie s technickými aplikacemi.
Praha, SNTL 1970.
- [3] Kilevský,N.A.: Elementy tenzornogo isčislenija i ego priloženija k mechanike.
Moskva, 1954.
- [4] Pschová,ZS.-Fréy,T.: Vektorová a tenzorová analýza.
Praha, SNTL 1964.
- [5] Rosenberg,J.: Příspěvek k teorii obecné kinematické dvojice s aplikací na hypoidní převody.
Plzeň, VŠSE, 1969.
- [6] Litvin,F.L.: Teoria zubčastych zaceplenij.
Moskva, 1968.
- [7] Kabatov,N.F.: Koničeskie kolesa s krugovymi zubjami.
Moskva, 1966.
- [8] Šejvl,M.: Charakteristika na kuželové nástrojové ploše.
Plzeň, VŠSE, 1966.
- [9] : Mechanika mašin - vypusk 45.
Moskva, 1974.
- [10] Bobrov, V. F.: Osnovy teorii rezanija metalov.
Moskva, 1975.
- [11] Bolek, A.: Části strojů II.
Praha, NČAV 1963.

- [12] Šejvl, M.: Teorie a výpočty ozubených kol.
Práha, SML 1957.
- [13] Vulgakov, E. V.: Zubčatye peredaci s uloženiami svojstvami.
Moskva, 1974.
- [14] Buckingham, E.: Analytical mechanics of gears.
Cambridge, 1949.
- [15] Korotkin, B. V.: Točnost zasepljenija pjatno kontakta
koničeskych koles s bočkopreznymi zubjami.
Stanki i instrument, №2 1968.
- [16] Ševeleva, G. I.: Algoritm čislenного rascheta obrabaty-
vajemoj poverchnosti.
Stanki i instrument, №8 1969.
- [17] Suchý, M.: Příspěvek k problémům geometrie hypoidních
soukolí.
Praha, VUMV 1975.
- [18] Fischer, H.: Zahnfusausrundungskurven an Stirnrädern.
Maschinenmarkt, Nr.46.1970.
- [19] Finikov, C. P.: Differencijalneje geometrija.
Moskva, 1955.
- [20] Hlavatý, V.: Diferenciální geometrie křivek a ploch
a tensorový počet.
Praha, 1937.
- [21] Kolčin, N. I.: Zubčatye i červjačnye peredaci.
Leningrad, 1974.
- [22] Rodin, P. R.: Osnovy teorii proektirovaniya režušich
instrumentov.
Moskva, 1960.

- [23] Šejvl, M.: Aplikované kinematika na prostorové převody.
Plzeň, 1967.
- [24] Schmidmeyer, J.: Metický počet a jeho použití v technice.
Praha, SML 1974.
- [25] Liukšin, B.C.: Teorijs vintovych poverchnostej v proektirovaniyu režušich instrumentov.
Moskva, 1968.
- [26] Krume, W.: Klingelnberg Spiralkegelräder.
Berlin/Heidelberg/New York 1967.
- [27] Švec, S.: Konstrukce nástrojů pro výrobu ozubení
kuželových kol.
Praha, SML 1968.
- [28] Kedrinskii, V. N.: Stanki dlja narezanijs koničeskikh
zubčastých koles.
Moskva, 1958.
- [29] Cvis, Iu. V.: Profilirovaniye režušego obketnogo instrumenta.
Moskva, 1961.
- [30] Rodin, P.R.: Voprosy teorii režušich instrumentov.
Disertačija DRSc., Odessa, 1961.
- [31] Angot, A.: Užitá matematika pro elektrotechnické inženýry.
Praha, SML 1971.
- [32] Olehla, M.: Použití Fortranu v praxi.
Liberec, VŠT, 1972.
- [33] Vogel, J.: Programování v jazyku Fortran.
Praha, SML 1972.
- [34] Vlček, J.: Řešení ekonomických úloh na samočinných počítačích
Praha, SML 1965.

- [35] Děmidovič, B. F.: Základy numerické metematiky.
Praha, SNTL 1966.
- [36] Garej, J.: Základy vektorového počtu.
Bratislava, SVIL 1957.
- [37] Muninov, N. A.: Metody kibernetiki v issledovanii
obrobotki metallov rezaniem.
Taškent, 1975.
- [38] Výroba spirálových kuželových a hypoidních
soukolí Cervicon.
Symposium Hradec n.N., 11/1975.
- [39] Vysoce výkonné odvalovací frézy pro výkonné
frézovací stroje.
Symposium Martin, 5/1976.
- [40] Pažák, A.: Určení záběrovej čiarý obalových zavitovkových
súkolií.
Plzeň, 1969.
- [41] Grekoussis, R.: Relativ Geschwindigkeiten und Pressungen
bei Hypoidgetrieben.
Antriebstechnik, Nr.11, 10/1971.
- [42] Bess, I.A.: Profilirovanie červječných frez dlia obrobotki
zubčatych koles s pourezom u nožki zuba.
Stenki i instrument, №5, 1970.
- [43] Hrlička, P.: Zásady konstrukce tvaru kuželových a hypoidních
ozubených talířových kol s pastorkou.
Automobil, 9/1962.
- [44] Grubin, A. N.: Zuboreznyj instrument, 1. část.
Moskva, 1946.

- [45] Mišarin, I.U. A.: Meždunarodna ja konferencija po zubčatym perečatym.
Moskva, 1962.
- [46] Hostinský, B.: Diferenciální geometrie křivek a ploch.
Praha, 1950.
- [47] Suchý, M.: Převody.
Praha, ČVUT, 1972.
- [48] Hypoidní převody- teorie a praxe.
Plzen, 1974.
- [49] Kudrijscev, V.N.: Zubčatye peredachi.
Moskva, 1955.
- [50] Klepal, V.: Kuželová kola se spirálnimi eliptickými zuby.
Praha, 1962.
- [51] Eureš, J.: Kuželová kola s obroukovým ozubením Gleason.
Praha, SNTL 1962.
- [52] Ružička, V.: Kontrola ozubených kol.
Praha, SNTL 1957.
- [53] Kaševskij, P.K.: Rimanova geometrija i tensornyj analiz.
Moskva, 1967.
- [54] Příkryl, Z.: Technologie obrábění.
Praha, SNTL 1967.
- [55] Egorov, F. D.: Raboty po differencialnoj geometrii.
Moskva, 1970.
- [56] Eisenhart, L.P.: An introduction to differential geometry
with use of the tensor calculus.
Princeton, 1947.

OBSAH

1.	Úvod	1
2.	Základní vztahy a vlastnosti tenzoru otočení rotačních pohybů	3
2.1	Charakteristika problému řešení	3
2.2	Tenzor otočení a jeho vlastnosti	3
3.	Teorie vytvoření obalové plochy součásti (nástroje)	6
3.1	Obecná formulace	6
3.2	Povrchy součásti (nástroje) vytvořené profilem nástroje (součásti)	8
3.2.1	Obalové plochy vytvořené rotačními pohyby kolem dvou různoběžných os	9
3.2.2	Obalové plochy vytvořené rotačními pohyby kolem dvou mimo běžných os	12
4.	Vlastnosti obrobene plochy součásti (nástroje)	15
4.1	Charakteristika a parametrické křivky	15
4.2	Normála obalové plochy	16
4.3	Tečná rovina obalové plochy	17
4.4	Odvození druhého základního tenzoru plochy	17
4.4.1	Tenzor plochy určené parametricky	18
4.4.2	Tenzor plochy určený skalární funkcí vektorového argumentu	19
4.4.3	Stanovení křivosti plochy součásti (nástroje)	21
5.	Vytvoření povrchu boku zuba kuželových kol	26
5.1	Kuželová kola s kruhově zakřivenými zuby Gleason ..	26
5.1.1	Princip práce a kinematická vazba součásti - kolébky - nástroje	26
5.1.2	Rozbor profilu nástroje a ploche boku zuba	27
5.1.3	Křivky boku zuba příčného řezu kolem Gleason	43
5.2	Kuželová kola se zakřivenými zuby Oerlikon	46
5.2.1	Princip práce a kinematické závislosti při výrobě ..	46
5.2.2	Obalové plochy boku zuba při odválu s profilem nástroje	49
6.	Teorie podřezání při výrobě prostorových kuželových kol	70
6.1	Podřezání rovinného ozubení	71
6.2	Podřezání u prostorového ozubení	75

6.2.1	Nutná podmínka podřezání	75
6.2.2	Postačující podmínka podřezání	76
6.2.3	Analytické určení počáteční hranice podřezání ..	88
6.2.4	Stanovení úhlu mezi φ -parametrickou křivkou plochy zuba a trajektorií nože	92
7.	Stanovení rozdílu mezi teoretickým a skutečným převodovým poměrem při záběru prostorových ploch s aplikací na kuželová kola	96
8.	Určení vstupních údajů pro rovnici obelových ploch	101
9.	Blokové schéma a program výpočtu pro kolo Gleason	112
9.1	Blokové schéma	112
9.2	Poznámky k programu	121
9.3	Příklady	122
10.	Závěr	130
	Literatura	134
	Obsah	139